

# Appunti di Fisica Tecnica

## 2014/2015

# Contents

<b>I Sistemi Chiusi</b>	<b>12</b>
<b>1 Introduzione alla termodinamica</b>	<b>12</b>
1.1 Gas Ideali . . . . .	15
1.1.1 Equazione di stato del gas ideale . . . . .	16
<b>2 Equazioni di bilancio</b>	<b>18</b>
2.1 Primo e Secondo principio della termodinamica . . . . .	18
2.1.1 Primo principio della termodinamica . . . . .	19
2.1.2 Secondo principio della termodinamica . . . . .	22
2.2 Il lavoro termodinamico . . . . .	23
2.2.1 Cilindro-pistone . . . . .	24
2.2.2 Espansione isoterma reversibile . . . . .	25
2.2.3 Lavoro e funzione di stato . . . . .	25
<b>3 Calore e Temperatura</b>	<b>26</b>
3.0.4 La teoria del Calorico . . . . .	26
3.0.5 James Prescott Joule e la conservazione dell'energia . . . . .	27
3.0.6 Robert von Mayer . . . . .	27
3.1 Il Calore . . . . .	27
3.1.1 Capacità termica . . . . .	27
3.1.2 Calore specifico a pressione costante . . . . .	28
<b>4 Espansione libera di un gas ideale</b>	<b>29</b>
4.1 Relazione di Mayer . . . . .	30
4.1.1 Gas ideali con $c_P$ e $c_v$ costanti . . . . .	31
4.1.2 Il calore specifico del liquido incomprimibile ideale . . . . .	31
4.2 Trasformazioni politropiche . . . . .	32
4.2.1 Indice $n$ della politropica . . . . .	32
4.3 Diagramma $T - S$ . . . . .	35
<b>5 Entropia</b>	<b>36</b>
5.1 Gas perfetti . . . . .	36
5.2 Liquido incomprimibile perfetto . . . . .	39
5.3 Il bilancio entropico . . . . .	39
5.3.1 Il bilancio entropico: secondo Lord Kelvin . . . . .	41
5.3.2 Il bilancio entropico: secondo Clausius . . . . .	41
5.3.3 Dimostrazione ulteriore dell'affermazione di Lord Kelvin . . . . .	43
5.3.4 Interpretazione fisica del concetto di Entropia . . . . .	44

<b>6 Macchine termodinamiche</b>	<b>44</b>
6.1 Serbatoio di Lavoro . . . . .	45
6.2 Serbatoio di Calore . . . . .	45
6.3 Macchine Motrici . . . . .	45
6.3.1 Esempio: macchina motrice con serbatoio caldo a massa finita . . . . .	47
6.4 Macchine Operatrici . . . . .	49
<b>II Sistemi Aperti</b>	<b>52</b>
<b>7 Sistema aperto</b>	<b>52</b>
<b>8 Equazioni di bilancio</b>	<b>52</b>
8.1 Bilancio di Massa . . . . .	52
8.1.1 Equazione di continuità . . . . .	53
8.2 Bilancio di Energia 1/2 . . . . .	53
8.2.1 Energia associata al trasporto di massa . . . . .	54
8.2.2 Calore scambiato . . . . .	54
8.2.3 Lavoro scambiato . . . . .	54
8.3 Bilancio di Energia 2/2 . . . . .	54
8.4 Bilancio di Entropia . . . . .	55
<b>9 Regime stazionario</b>	<b>55</b>
9.0.1 Equazioni di bilancio: Massa . . . . .	55
9.0.2 Equazioni di bilancio: Energia . . . . .	55
9.0.3 Equazioni di bilancio: Entropia . . . . .	56
9.1 Macchina aperta . . . . .	56
9.1.1 Bilancio di Energia . . . . .	56
9.1.2 Bilancio di Entropia . . . . .	57
9.2 Dispositivi schematizzabili come sistemi aperti . . . . .	57
9.2.1 Scambiatore di calore . . . . .	57
9.2.2 Diffusore ( $w \downarrow$ ) e ugello ( $w \uparrow$ ) . . . . .	57
9.2.3 Valvola di laminazione . . . . .	57
9.2.4 Turbina . . . . .	58
9.2.5 Compressore . . . . .	58
9.2.6 Compressore Alternativo Ideale . . . . .	59
9.2.7 Pompa ideale . . . . .	60
9.3 Lavoro specifico per unità di massa fluente . . . . .	61
<b>III Sistemi bifase</b>	<b>62</b>

<b>10 Sistema eterogeneo</b>	<b>62</b>
10.1 Grandezze estensive . . . . .	62
10.1.1 Frazione massica . . . . .	62
10.2 Regola di Gibbs per i sistemi bifase . . . . .	63
10.3 Sistema eterogeneo monocomponente . . . . .	63
10.3.1 Stati monofasi . . . . .	63
10.3.2 Stati bifasi . . . . .	63
10.3.3 Stati tripli . . . . .	64
10.3.4 Tipi di sistemi eterogeni monocomponente . . . . .	64
10.3.5 Diagrammi $P, v, T$ . . . . .	64
10.3.6 Diagrammi $P, T$ . . . . .	66
10.4 Entalpia (calore) di transizione di fase . . . . .	67
10.5 Proprietà termodinamiche dei sistemi bifase . . . . .	68
10.5.1 Volume specifico . . . . .	68
10.5.2 Energia interna . . . . .	68
10.5.3 Entropia . . . . .	68
10.5.4 Entalpia . . . . .	68
10.5.5 Diagramma $P, v$ . . . . .	69
10.5.6 Diagramma $T, v$ . . . . .	69
10.5.7 Diagramma $h, s$ . . . . .	70
10.5.8 Diagramma $T, s$ . . . . .	70
10.5.9 Diagramma $P, h$ . . . . .	71
10.5.10 Tabella di saturazione dell'Acqua . . . . .	71
10.5.11 Tabella del vapore surriscaldato dell'acqua . . . . .	72
10.6 Interpolazione dei dati tabulati . . . . .	72
10.6.1 Interpolazione lineare . . . . .	72
10.7 Entralpia ed Entropia specifica . . . . .	72
10.7.1 Espressioni approssimate per il calcolo di Entalpia ed Entropia specifica per l'acqua . . . . .	72
10.8 Proprietà termodinamiche dell'acqua . . . . .	73
10.9 Miscele di gas ideali . . . . .	73
10.9.1 Massa molare apparente di una miscela . . . . .	74
10.9.2 Comportamento $P, v, T$ di una miscela di gas . . . . .	75
10.9.3 Legge di Gibbs-Dalton . . . . .	78
<b>IV Cicli termodinamici a gas</b>	<b>78</b>
<b>11 Proprietà dei cicli simmetrici</b>	<b>78</b>
<b>12 Ciclo di Carnot</b>	<b>79</b>
<b>13 Ciclo Joule-Brayton</b>	<b>81</b>
13.1 Ciclo Joule-Brayton con Rigenerazione . . . . .	84
13.2 Ciclo Joule-Brayton inverso . . . . .	85

<b>14 Ciclo Otto</b>	<b>85</b>
<b>15 Ciclo Diesel</b>	<b>88</b>
<b>16 Ciclo Stirling</b>	<b>89</b>
<b>17 Ciclo Ericson</b>	<b>89</b>
<b>V Cicli termodinamici a vapore</b>	<b>89</b>
<b>18 Caratteristiche del fluido di lavoro</b>	<b>89</b>
18.1 Ciclo Motore a Vapore . . . . .	90
18.1.1 Ciclo di Carnot . . . . .	90
18.1.2 Ciclo Rankine semplice . . . . .	91
18.1.3 Ciclo Rankine con surriscaldamento . . . . .	92
18.1.4 Ciclo frigorifero a vapore . . . . .	95
<b>VI Trasmissione del calore</b>	<b>97</b>
<b>19 Trasmissione del calore: generalità</b>	<b>100</b>
19.1 La conduzione: in breve . . . . .	101
19.2 La convezione: in breve . . . . .	102
19.3 L'irraggiamento: in breve . . . . .	102
19.3.1 Legge di Stefan Boltzmann . . . . .	103
19.3.2 Potenza termica netta . . . . .	103
<b>20 Conduzione</b>	<b>104</b>
20.1 Equazione di Fourier . . . . .	104
20.1.1 Casi particolari dell'equazione di Fourier . . . . .	106
20.2 Sistemi di coordinate . . . . .	106
20.2.1 Coordinate cartesiane . . . . .	106
20.2.2 Coordinate cilindriche . . . . .	108
20.2.3 Coordinate sferiche . . . . .	110
20.3 Conduzione attraverso una parete . . . . .	111
20.3.1 Parete piana monostrato . . . . .	113
20.3.2 Modellizzazione parete cilindrica Indefinita . . . . .	114
20.3.3 Modellizzazione per sfere . . . . .	114
<b>21 Convezione</b>	<b>115</b>
21.1 Trasmittanza . . . . .	115
21.2 Raggio critico di isolamento . . . . .	117
21.3 Esempio di convezione . . . . .	117
21.4 Convezione: note . . . . .	118
21.5 Il coefficiente convettivo $h$ . . . . .	118
21.6 Legge di Newton . . . . .	119

<b>21.7 Convezione forzata . . . . .</b>	<b>119</b>
21.7.1 Gruppi adimensionali per convezione forzata: Numero di Nusselt . . . . .	119
21.7.2 Gruppi adimensionali per convezione forzata: Numero di Reynolds . . . . .	120
21.7.3 Gruppi adimensionali per convezione forzata: Numero di Prandtl . . . . .	120
21.8 Flusso su lastra piana . . . . .	121
21.9 Flusso all'interno di tubi . . . . .	121
21.10 Deduzione dei gruppi dimensionali . . . . .	124
21.11 Forme monomie . . . . .	124
21.12 Proprietà termofisiche . . . . .	125
21.12.1 Convezione in un corpo immerso . . . . .	125
21.12.2 Convezione forzata in un condotto . . . . .	125
21.13 Convezione naturale . . . . .	125
21.13.1 Gruppi adimensionali per convezione naturale: Numero di Nusselt . . . . .	126
21.13.2 Gruppi adimensionali per convezione naturale: Numero di Grashoff . . . . .	126
21.13.3 Gruppi adimensionali per convezione naturale: Numero di Prandtl . . . . .	126
21.14 Altri gruppi adimensionali . . . . .	126
21.14.1 Convezione forzata: Peclet . . . . .	126
21.14.2 Convezione naturale: Rayleigh . . . . .	126
21.15 Considerazioni sul coefficiente $h$ per la convezione naturale . . . . .	127
21.15.1 Analisi dimensionale . . . . .	127
<b>22 Irraggiamento . . . . .</b>	<b>128</b>
22.1 Notazioni varie . . . . .	128
22.2 Radiazione termica e trasmissione del calore . . . . .	129
22.3 Radiazione visibile . . . . .	130
22.4 Radiazione infrarossa . . . . .	130
22.5 Radiazione ultravioletta . . . . .	131
22.5.1 Corpo nero . . . . .	131
22.6 Legge della distribuzione di Planck . . . . .	133
22.7 Legge dello spostamento o di Wien . . . . .	134
22.8 Emissività . . . . .	134
22.8.1 Grafici emissività . . . . .	135
22.8.2 Superfici emissive particolari . . . . .	136
22.8.3 Emissività di superfici reali . . . . .	136
22.9 Coefficienti . . . . .	137
22.9.1 Analisi di una superficie esposta . . . . .	138
22.9.2 Coefficiente di assorbimento . . . . .	138
22.9.3 Coefficiente di trasmissione ad effetto serra . . . . .	139
22.9.4 Radiazione solare atmosferica . . . . .	140
22.10 Il fattore di vista . . . . .	142

22.10.1 Regole del fattore di vista . . . . .	142
22.11 Scambio termico tra superfici . . . . .	143
22.12 Irraggiamento . . . . .	143
22.12.1 Caso A: superfici piane parallele indefinite nere . . . . .	143
22.12.2 Caso B: superfici piane parallele indefinite nera-grigia . .	144
22.12.3 Caso C: superfici piane parallele indefinite grigia-grigia .	144
22.12.4 Caso D: superfici nere . . . . .	145
22.12.5 Bilancio termico di superficie grigia opaca . . . . .	145
22.12.6 Potenza termica netta uscente dalla superficie <i>i</i> . . . . .	146
22.12.7 Bilancio termico di superficie grigia . . . . .	146
22.12.8 Superfici grigie formanti una cavità . . . . .	146
22.12.9 Analogia elettricità . . . . .	147

## List of Figures

1	<i>Schematizzazione dell'esperienza di Joule</i>	22
2	<i>Il lavoro termodinamico</i>	24
3	<i>Espansione isoterma reversibile</i>	25
4	<i>Trasformazioni termodinamiche</i>	32
5	<i>Diagramma T – S</i>	35
6	<i>Trasformazione ciclica</i>	35
7	<i>Trasferimento di calore</i>	39
8	<i>Violazione enunciato di Kelvin</i>	41
9	<i>Violazione enunciato di Clausius</i>	42
10	<i>Macchina ciclica</i>	43
11	<i>Macchina termodinamica</i>	44
12	<i>Serbatoio di Lavoro</i>	45
13	<i>Serbatoio di Calore</i>	45
14	<i>Macchina motrice</i>	45
15	<i>Macchina Operatrice</i>	49
16	<i>Sistema aperto</i>	52
17	<i>Volume di controllo</i>	53
18	<i>Macchina aperta</i>	56
19	<i>Andamento rendimento turbina</i>	58
20	<i>Compressore</i>	59
21	<i>Compressore alternativo ideale</i>	59
22	<i>Diagramma del compressore ideale</i>	60
23	<i>Compressione adiabatica e isoterma</i>	60
24	<i>Diagramma pompa ideale</i>	60
25	<i>Diagramma P, v, T</i>	64
26	<i>Punto critico</i>	65
27	<i>Curva di saturazione</i>	65
28	<i>Aumento di volume</i>	66
29	<i>Aumento di volume</i>	66
30	<i>Passaggi di stato</i>	67
31	<i>Diagramma P, v</i>	69
32	<i>Diagramma T, v</i>	69
33	<i>Diagramma h, s</i>	70
34	<i>Diagramma T, s</i>	70
35	<i>Diagramma P, h</i>	71
36	<i>Espressioni approssimate</i>	72
37	<i>Esempi di miscele di gas ideali</i>	74
38	<i>Frazione molare di idrogeno e ossigeno</i>	75
39	<i>Gas mixture</i>	76
40	<i>Gas mixture example</i>	76
41	<i>Ciclo simmetrico</i>	78
42	<i>Ciclo di Carnot</i>	80
43	<i>Joule-Brayton</i>	81
44	<i>Ciclo JB</i>	81

45	<i>JB con Rigenerazione</i>	84
46	<i>Rendimento JB</i>	85
47	<i>Joule-Brayton inverso</i>	85
48	<i>Ciclo Otto</i>	86
49	<i>Ciclo Diesel</i>	88
50	<i>Ciclo di Carnot</i>	90
51	<i>Ciclo Rankine semplice</i>	91
52	<i>Rankine</i>	92
53	<i>Rankine surriscaldamento</i>	92
54	<i>Surriscaldamento</i>	93
55	<i>Condensazione</i>	93
56	<i>Surriscaldamento</i>	94
57	<i>Vaporizzazione</i>	94
58	<i>Surriscaldamenti ripetuti</i>	95
59	<i>Ciclo frigorifero a vapore</i>	95
60	<i>Schematizzazione</i>	96
61	<i>Effetto Joule-Thomson</i>	96
62	<i>Esempio 1</i>	98
63	<i>Esempio 2</i>	99
64	<i>Esempio 3</i>	99
65	<i>Conduzione</i>	101
66	<i>Convezione</i>	102
67	<i>Irraggiamento</i>	104
68	<i>Conduzione attraverso una parete</i>	111
69	<i>Conduzione (1)</i>	112
70	<i>Conduzione (2)</i>	112
71	<i>Conduzione (3)</i>	113
72	<i>Convezione</i>	115
73	<i>Trasmissanza (1)</i>	116
74	<i>Trasmissanza (2)</i>	116
75	<i>Raggio d'isolamento</i>	117
76	<i>Convezione esempio</i>	118
77	<i>Convezione bis</i>	118
78	<i>Flusso su lastra piana</i>	121
79	<i>Flusso all'interno di tubi</i>	122
80	<i>Flusso all'interno di tubi</i>	123
81	<i>Fenomeno volumetrico</i>	128
82	<i>Fenomeno superficiale</i>	129
83	<i>Corpo nero</i>	132
84	<i>Potere emissivo</i>	133
85	<i>Emissività</i>	135
86	<i>Emissività<sub>2</sub></i>	135
87	<i>Emissività superfici reali</i>	136
88	<i>Emissività superfici reali<sub>2</sub></i>	137
89	<i>Coefficienti</i>	137
90	<i>Superficie esposta</i>	138

91	<i>Coefficiente di assorbimento</i>	139
92	<i>Effetto serra</i>	139
93	<i>Radiazione solare atmosferica</i>	140
94	<i>Radiazione solare atmosferica<sub>2</sub></i>	141
95	<i>Confronto tra <math>\alpha_s</math> e <math>\epsilon</math></i>	141
96	<i>Scambio termico per irraggiamento</i>	142
97	<i>Caso A</i>	143
98	<i>Caso B</i>	144
99	<i>Caso C</i>	144
100	<i>Caso D</i>	145
101	<i>Bilancio superficie grigia</i>	146
102	<i>Superfici grigie formanti una cavità</i>	146
103	<i>Elettricità</i>	147
104	<i>Esempio</i>	148

## List of Tables

1	<i>Tipologie di sistemi termodinamici</i>	14
2	<i>Gas ideali con <math>c_v</math> e <math>c_P</math> costanti</i>	31
3	<i>Trasformazioni: valori di <math>c_x</math>, <math>c_P</math> e <math>c_v</math></i>	33
4	<i>Trasformazioni politropiche</i>	39
5	<i>Entalpia: transizioni di fase</i>	67
6	<i>Saturazione dell'acqua</i>	71
7	<i>Valori di <math>Pr</math></i>	120

# Part I

## Sistemi Chiusi

### 1 Introduzione alla termodinamica

**Termodinamica** La termodinamica è la scienza che studia l'energia, la materia e le leggi che governano le loro interazioni. È la disciplina che studia le grandezze macroscopiche che caratterizzano i modi di essere dei sistemi termodinamici e le modifiche (variazioni) che quelle subiscono quando intervengono scambi di massa e/o di energia del sistema con l'ambiente.

**Sistema termodinamico** Si definisce sistema termodinamico una quantità di materia o porzione di spazio separata dal resto dell'universo mediante un determinato *contorno* costituito da una superficie reale o immaginaria, rigida o deformabile che interagisce col "mondo esterno". Tutto ciò che è esterno al sistema termodinamico si definisce infatti "mondo esterno": quando il mondo esterno è di massa infinita viene detto "ambiente", quando è di massa finita prende il nome generico di "sistema accoppiato".

**Sistema chiuso** Un sistema chiuso è un sistema che scambia con l'esterno *energia* come lavoro (se il contorno è deformabile) e/o calore.

**Sistema aperto** Un sistema aperto è un sistema che scambia con l'esterno sia *energia* che *materia*.

**Sistema termodinamico semplice** Per lo studio in questo corso si dovranno fare delle semplificazioni, quindi verranno considerati soltanto:

- sistemi chimicamente omogenei ed isotropi;
- sistemi esenti da qualsiasi effetto di superficie;
- chimicamente inertii;
- sistemi in cui le interazioni gravitazionali saranno ridotte al minimo;
- sistemi in cui non verranno prese in considerazione interazioni elettromagnetiche.

**Stato di equilibrio** Stato interno particolare cioè riproducibile e descrivibile attraverso il valore assunto da poche proprietà del sistema stesso, che godono della caratteristica di avere un unico ed uguale valore in ogni punto del sistema.

Stato a cui perviene spontaneamente il sistema quando è isolato (non scambia cioè né lavoro, né calore, né massa con l'ambiente esterno). Nel momento in cui il sistema viene perturbato giungerà poi in un nuovo stato di equilibrio. Studiamo quindi successivi stati di equilibrio.

Lo stato di equilibrio è il particolare stato cui perviene spontaneamente il sistema isolato. È riproducibile e descrivibile mediante un numero limitato di proprietà.

**Grandezza intensiva** Si definisce grandezza intensiva la grandezza fisica il cui valore non dipende dall'estensione del sistema (come temperatura, pressione, etc.). Ne consegue che lo stato interno del corpo non dipende dalla sua estensione.

**Grandezza estensiva** Si definisce grandezza estensiva la grandezza fisica che dipende dall'estensione del sistema (come massa, volume totale, etc.). La grandezza estensiva è additiva e di conseguenza il suo valore riferito ad un sistema risulta somma dei valori relativi ai sottoinsiemi che lo compongono.

**Legge di DUHEM** Nel caso di un sistema monocomponente, il numero di parametri termodinamici intensivi o estensivi specifici indipendenti atti a descrivere compiutamente lo stato interno di equilibrio è due.

**Regola di GIBBS** Stabilisce una relazione tra il numero di componenti C, il numero di fasi F, il numero di variabili intensive indipendenti V.

$$V = C + 2 - F$$

La legge di Duhem introduce l'esistenza dell'equazione di stato che lega fra loro tre variabili termodinamiche:

$$f(P, v, T) = 0$$

### Contorno

- *adiabatico*: non permette lo scambio di calore;
- *diatermano*: permette lo scambio di calore;
- *rigido*: non permette lo scambio di lavoro;
- *mobile*: permette lo scambio di lavoro;
- *impermeabile*: non permette lo scambio di massa;
- *poroso*: permette lo scambio di massa.

Table 1: *Tipologie di sistemi termodinamici: tipi di scambio con l'ambiente esterno*

	Calore	Lavoro	Massa
Adiabatico	no		
Diatermano	sì		
Rigido		no	
Deformabile		sì	
Chiuso			no
Aperto			sì
Isolato	no	no	no

**Sistema composto** Un sistema composto è un sistema costituito da più sistemi semplici separati tra loro da pareti.

È interessante studiare l'evoluzione del sistema quando subisce trasformazioni, fino a raggiungere un nuovo stato di equilibrio.

Se possiamo descrivere le trasformazioni come una serie ordinata di stati intermedi successivi l'una all'altra, allora possiamo parlare di sistema termodinamico. Questo nella realtà non è quasi mai possibile del tutto.

**Trasformazione** In un sistema chiuso lo stato di equilibrio vincolato viene a cessare quando, per rimozione dei vincoli al contorno, il sistema scambia con l'ambiente calore e/o lavoro.

Il sistema perverrà a una nuova situazione di equilibrio avendo attraversato una serie di stati intermedi successivi detti nel loro insieme *trasformazione termodinamica*.

### Tipi di trasformazioni

- *quasi statica o internamente reversibile*: costituita da una successione di stati di equilibrio. Può non essere reversibile;
- *reversibile*: se percorsa in senso inverso riporta sistema e ambiente nello stato iniziale;
- *irreversibile*: trasformazione in parte o per intero non reversibile. Non è rappresentabile su un diagramma di stato;
- *chiusa o ciclica*: gli estremi della trasformazione coincidono;

- *elementare*: se una delle grandezze di stato si mantiene costante durante la trasformazione.
  - isobare: la pressione ( $p$ ) rimane costante;
  - isocore: il volume ( $V$ ) rimane costante;
  - isotermi: la temperatura ( $T$ ) rimane costante.

## 1.1 Gas Ideali

**Gas ideale** Un gas ideale (spesso chiamato anche gas “perfetto”) è un gas descritto dall’equazione di stato dei gas perfetti, e che quindi rispetta la legge di Boyle-Mariotte<sup>1</sup>, la prima legge di Gay-Lussac<sup>2</sup> o legge di Charles, e la seconda legge di Gay-Lussac<sup>3</sup>, in tutte le condizioni di temperatura, densità e pressione. In questo modello le molecole del gas sono assunte puntiformi e non interagenti. I gas reali si comportano in buona approssimazione come gas perfetti quando la pressione è sufficientemente bassa e la temperatura sufficientemente alta.

I sistemi che verranno trattati, verranno considerato dal punto di vista *macroscopico*: lo stato del sistema viene definito attraverso la misura di grandezze rilevabili, utilizzando normali strumenti di misura (pressione, temperatura, volume), che hanno in comune le seguenti caratteristiche:

- non implicano alcuna ipotesi sulla struttura della materia;

---

<sup>1</sup>La legge di Boyle e Mariotte afferma che in condizioni di temperatura costante la pressione di un gas perfetto è inversamente proporzionale al suo volume, ovvero che il prodotto della pressione del gas per il volume da esso occupato è costante:

$$p \cdot V = \text{costante} \text{ oppure } p_1 \cdot V_1 = p_2 \cdot V_2$$

<sup>2</sup>La prima legge di Gay-Lussac afferma che in una trasformazione isobara, ovvero in condizioni di pressione costante, il volume di un gas ideale è direttamente proporzionale alla temperatura. Indicando con  $V_0$  e con  $V(T)$  le densità alle temperature assolute rispettivamente  $T_0$  e  $T$ , la legge è espressa matematicamente dalla relazione:

$$V(T) = V_0 (1 + \alpha (T - T_0))$$

dove il parametro  $\alpha$  è detto coefficiente di dilatazione termica ha le dimensioni dell’ inverso della temperatura perché il prodotto  $\alpha T$  deve essere adimensionale. Un gas quindi va incontro a una rarefazione quando si scalda e a un addensamento quando si raffredda.

<sup>3</sup>La seconda legge di Gay-Lussac è una legge costitutiva che descrive come, in una trasformazione isocora in condizioni di volume costante, la pressione di un gas sia direttamente proporzionale alla sua temperatura. Indicando con  $P_0$  la pressione di un gas alla temperatura di  $0^\circ C$  e con  $P(T)$  la pressione ad una temperatura  $T > 0$ , questa legge è espressa matematicamente dalla relazione:

$$P(t) = P_0 (1 + \alpha \cdot t)$$

con  $t$  espresso in  $^\circ C$  e  $\alpha$  è detto coefficiente di espansione dei gas e vale per tutti i gas circa  $3.663 \times 10 - 3^\circ C^{-1}$ , pari a circa  $1/273^\circ C^{-1}$ . (Le dimensioni di  $\alpha$  sono  $^\circ C^{-1}$  perché il prodotto  $\alpha t$  deve essere adimensionale).

- sono in numero relativamente piccolo;
- sono suggerite più o meno dai nostri sensi;
- possono essere misurate direttamente.

Il punto di vista macroscopico descrive il sistema, fornendo le coordinate per ciascuna delle molecole che lo costituiscono.

Con questo approccio:

- si fanno delle ipotesi sulla struttura della materia, ad esempio che esistano le molecole;
- occorre precisare il valore di molte grandezze;
- l'esistenza di queste grandezze non è suggerita dalle nostre percezioni sensoriali;
- queste grandezze non possono essere misurate.

### 1.1.1 Equazione di stato del gas ideale

La teoria cinetica dei gas ci assicura che le coordinate di stato  $p$ ,  $V$  e  $T$  sono legate da una equazione del tipo:

$$f(P, v, T) = 0$$

(Alla stessa conclusione si arriva per mezzo della legge di Duhem).

Per un gas ideale, in particolare, l'equazione di stato è del tipo:

$$pV = NRT$$

ove  $P$  è la pressione [ $Pa$ ] termodinamica del gas,  $V$  il volume occupato dalle  $N$  moli che compongono il gas stesso,  $T$  la temperatura assoluta del gas,  $R$   $\left[\frac{J}{kmol \cdot K}\right]$  la costante universale dei gas perfetti.

Dividendo l'equazione per il numero di moli  $N$ , otteniamo:

$$\frac{pV}{N} = RT ,$$

ovvero

$$p\bar{v} = RT$$

dove poniamo  $\frac{V}{N} = \bar{v}$ , volume molare  $\left[\frac{m^3}{kmol}\right]$ .

**Perché  $R$  è costante per tutti i gas ideali?**

Il valore della costante R deriva dalla teoria cinetica dei gas, la quale la calcola come rapporto tra il prodotto della pressione e del volume occupato da una mole di gas e la sua temperatura nell'ipotesi che le molecole del gas non abbiano interazioni di alcun genere tra loro. Il risultato che si ottiene può essere semplicemente desunto dalla legge di Gay Lussac, per la quale 1 kmole di un gas ideale in condizioni normali ( $P = 1\text{ atm}$  e  $T = 0^\circ\text{C}$ ) occupa un volume  $V = 22.415\text{ m}^3$ .

Introducendo questo valore nell'equazione di stato dei gas ideali sono possibili altre espressioni che si ottengono da quella proposta introducendo il legame tra il numero di moli del gas ( $N$ ) e la massa del gas ( $M$ ). Ricordando infatti che la massa di una sostanza è  $M = N \cdot M_m$ , se dividiamo l'equazione iniziale di partenza dei gas perfetti per la massa otteniamo:

$$\frac{pV}{m} = \frac{NRT}{m},$$

ovvero

$$pv = \frac{RT}{M_m}$$

dove poniamo  $v = \frac{V}{m}$ , volume specifico, e  $M_m = \frac{m}{N}$ , massa molare del gas.  
Ponendo poi  $\frac{R}{M_m} = R^*$  otteniamo:

$$pv = R^* \cdot T$$

In questa relazione  $R^*$  è la costante caratteristica del gas considerato e si definisce come il rapporto tra la costante dei gas universali  $R$  e la massa molare del particolare gas. Quest'ultima equazione fa riferimento al volume specifico e non più al volume molare.

$R^*$  per l'ossigeno ( $O_2$ ):

$$M = 32 \frac{\text{kg}}{\text{kmol}}, \text{ quindi } R^* = \frac{R}{M} = \frac{8314 \frac{\text{J}}{\text{kmol} \cdot \text{K}}}{32 \frac{\text{kg}}{\text{kmol}}} = 260 \frac{\text{J}}{\text{kg} \cdot \text{K}}$$

$R^*$  per l'azoto ( $N_2$ ):

$$M = 28 \frac{\text{kg}}{\text{kmol}}, \text{ quindi } R^* = \frac{R}{M} = \frac{8314 \frac{\text{J}}{\text{kmol} \cdot \text{K}}}{28 \frac{\text{kg}}{\text{kmol}}} = 297 \frac{\text{J}}{\text{kg} \cdot \text{K}}$$

Nel seguito del corso l'aria verrà immaginata come un gas ideale biatomico con  $M = 28.8 \frac{\text{kg}}{\text{kmol}}$  (composta per l'80% di  $N_2$  e per il 20% di  $O_2$ ).

L'equazione di stato, anche se spesso ignota, viene utile in alcuni casi.

Nel caso di **liquidi** e **solidi** per esempio non esistono equazioni atte ad approssimarne il comportamento termodinamico. La sola consapevolezza dell'esistenza dell'equazione di stato però permette utili deduzioni.

Data la forma implicita dell'equazione  $v = v(T, p)$ , possiamo differenziarla rispetto a pressione e temperatura ottenendo:

$$dv = \left(\frac{\partial v}{\partial T}\right)_p dT + \left(\frac{\partial v}{\partial p}\right)_T dp$$

Introducendo poi il *coefficiente di dilatazione isobaro* (specifica quanto si dilata a pressione costante una certa sostanza al variare della temperatura):

$$\beta = \frac{1}{v} \left( \frac{\partial v}{\partial T} \right)_p$$

e il *coefficiente di comprimibilità isotermo* (specifica quanto il materiale modifica il suo volume all'aumentare della pressione a temperatura costante):

$$k_T = -\frac{1}{v} \left( \frac{\partial v}{\partial p} \right)_T$$

I due coefficienti introdotti, dipendenti debolmente da pressione e temperatura, sono misurabili sperimentalmente.

La precedente relazione differenziale risulta quindi:

$$dv = \beta v dT - k_T v dp$$

Considerando costanti i coefficienti per intervalli anche piuttosto ampi di temperatura e pressione, si rende possibile l'integrazione della relazione differenziale e il calcolo dello stato finale a partire da condizioni iniziali note.

## 2 Equazioni di bilancio

### 2.1 Primo e Secondo principio della termodinamica

È evidente che le grandezze intensive e le grandezze estensive non sono propriamente uguali tra loro, ovvero, non sono interscambiabili perché nella definizione di quello che è lo stato di equilibrio termodinamico si comportano diversamente e non sono sempre sovrapponibili.

Per poter analizzare un sistema, per poterne definire la sua evoluzione, cioè la sua trasformazione è necessario dotarsi anche di qualche strumento in più che ci permetta di mettere in relazione fra loro gli stati di equilibrio che via via il sistema assume nel corso della trasformazione. In parole povere, se un sistema evolve dallo stato A ad uno stato B, per definire lo stato di equilibrio B conoscendo lo stato di equilibrio di partenza, si ha il bisogno di trovare delle relazioni che mettano in relazione fra loro le grandezze caratteristiche dello stato di equilibrio A (quello di partenza) con le medesime o con altre grandezze caratteristiche che definiscono univocamente lo stato di equilibrio B del sistema.

L'equazione di stato mette in relazione fra loro le grandezze del sistema concentrandosi su un unico stato del sistema: conoscendo due proprietà, attraverso l'equazione di stato (che però molto spesso non è nota) si potrebbero trovare le altre caratteristiche di quel preciso stato di equilibrio.

Nel momento in cui il sistema va incontro ad una trasformazione l'equazione di stato non è più sufficiente a determinarne tutte le caratteristiche e proprietà. Utili per questo fine sono le cosiddette *equazioni di bilancio*.

Le equazioni di bilancio sono tre:

1. le *equazioni di bilancio di massa*, per i sistemi chiusi sono implicitamente verificate quindi per i sistemi chiusi l'equazione di bilancio di massa è di "poca" importanza mentre sarà importante per i sistemi aperti (che verranno trattati in seguito);

se un sistema  
è chiuso per  
definizione non  
scambia massa  
con l'esterno

2. le *equazioni di bilancio di energia*, sono un'estensione di quelle della meccanica classica, descrivono il cosiddetto principio di conservazione dell'energia che va sotto il nome di Primo principio della termodinamica.;
3. le *equazioni di bilancio di entropia*, vanno sotto il nome di Secondo principio della termodinamica.

### 2.1.1 Primo principio della termodinamica

Per un sistema semplice all'equilibrio è definita una proprietà intrinseca (funzione di stato) detta energia interna “U” la cui variazione è il risultato di interazioni del sistema con l'ambiente esterno (interazioni ovviamente di tipo energetico).

Questa proprietà dipende solamente dallo stato in cui il sistema si trova e non da come il sistema si è evoluto fino a quel punto:

$$\Delta U = Q^\leftarrow - L^\rightarrow$$

L'energia interna  $U$  non cambia soltanto quando il sistema scambia lavoro con l'ambiente esterno ma anche quando scambia calore.

#### Perché la notazione $Q^\leftarrow$ e $L^\rightarrow$ ?

Da un punto di vista storico, la formalizzazione della termodinamica avviene storicamente dopo l'approccio tecnologico alla stessa, ovvero, la scienza termodinamica arriva dopo lo sviluppo della tecnologia termodinamica. Le macchine termiche difatto dovevano ricevere calore, quindi prendere calore dall'esterno (positivo entrante) e, dopo aver assorbito calore, rendere disponibile all'esterno del calore. Il lavoro veniva intrinsecamente preso positivo uscente; in un ipotetico sistema si può immaginare facilmente che, all'introduzione di calore, il contenuto dell'energia interna tenderà ad aumentare, quindi la sua variazione sarà positiva, allo stesso modo, se si introduce del lavoro meccanico (entrante) l'energia interna tenderà ad aumentare. Un fisico avrebbe quindi scritto:

$$\Delta U = Q^\leftarrow + L^\leftarrow$$

Cioè, se si introduce nel sistema dell'energia (che sia calore o che sia lavoro, non ha importanza, perché una delle più importanti proprietà che il primo principio permette di affermare è che calore e lavoro sono entrambe forme di energia equivalenti fra loro), la variazione di energia interna del sistema è la somma delle energie introdotte al suo interno.

Dal punto di vista ingegneristico però interessa la produzione di lavoro, quindi il lavoro viene preso positivo uscente ed ecco il perché di tale notazione. Ovviamente le due notazioni sono perfettamente equivalenti tra di loro, esprimono concettualmente la stessa proprietà.

**Lavoro** Il lavoro è energia fornita ad un sistema termodinamico semplice che sia riconducibile alla variazione di quota di un grave.

**Calore** Il calore è energia fornita ad un sistema termodinamico semplice che non è riconducibile alla variazione di quota di un grave. Ovvero, sono in qualche modo tutte le interazioni energetiche che non fanno riferimento alla meccanica classica.

Dal primo principio discendono alcune importanti proprietà:

- l'energia interna totale di un sistema, cioè l'energia interna riferita all'intera massa  $m$  del sistema, è una quantità estensiva:

$$U = m \cdot u$$

- scritto in forma differenziale il primo postulato assume la forma:

$$du = \delta q^\leftarrow - \delta l^\rightarrow$$

Il differenziale di energia interna all'unità di massa è un differenziale esatto perché è una funzione di stato, viceversa, calore e lavoro sono differenziali di linea perché dipendono dal percorso seguito per passare da uno stato termodinamico ad un altro.

- essendo  $U$  una quantità estensiva (additiva), se il sistema  $Z$  è composto da due (o più) sottosistemi  $A, B, \dots$ , l'energia interna totale è:

$$U_Z = U_A + U_B + \dots$$

- in un sistema isolato (semplice o composto) il bilancio energetico diviene:

$$\Delta U_{Isolato} = 0$$

- per un sistema che subisce una trasformazione ciclica, diverso dal caso di sistema isolato poiché qui lavoro e calore possono essere diversi da 0, ma sono tra di loro uguali in valore assoluto, si ha:

$$\Delta U_{Ciclo} = 0$$

- per un sistema  $Z$  non isolato composto da due (o più) sottosistemi  $A, B, \dots$ , l'energia interna totale è:

$$\Delta U_Z = \Delta U_A + \Delta U_B + \dots = Q_Z^\leftarrow - L_Z^\rightarrow$$

#### Formulazione classica del primo 1° della termodinamica:

l'energia che è immagazzinata in un sistema e non va a cambiare né l'energia cinetica del centro di massa, né quella potenziale (e neanche l'energia elastica, chimica o elettrica) è chiamata *energia interna*.

calore e lavoro NON sono proprietà del sistema, sono forme di energia in transito, sono scambi/interazioni di energia con l'esterno; dipendono quindi dal tipo di percorso seguito per portare il sistema da uno stato ad un altro

una trasformazione ciclica parte da uno stato di equilibrio e seguendo un qualsiasi percorso ritorna allo stato di equilibrio di partenza

Dall'ultima equazione, che afferma che la variazione di energia interna di un sistema composto è esprimibile come la differenza tra il calore entrante attraverso il contorno del sistema e il lavoro uscente attraverso di esso, deriva un'importante notazione: dato un sistema Z composto da diversi sottosistemi che fra di loro scambiano lavoro e calore, nel bilancio complessivo del sistema Z questi scambi interni non vengono considerati poiché, tanto quanto un sottosistema A cede calore ad un sottosistema B, tanto quest'ultimo riceve calore dal sistema A, quindi effettuando tutti i bilanci sui singoli sottosistemi queste interazioni si annullano a vicenda poiché entrano in due equazioni di bilancio diverse con segno opposto.

Quindi  $Q_Z^{\leftarrow}$  e  $L_Z^{\rightarrow}$  sono gli scambi di calore e lavoro che il sistema composto Z scambia con l'ambiente esterno.

La formulazione dell'energia interna è dovuta alla cosiddetta *esperienza di Joule* (vedi Figura 1).

Tale esperienza può essere così riassunta: in un contenitore rigido e perfettamente isolato termicamente è posta una massa di acqua inizialmente a riposo: nell'acqua è immerso un mulinello collegato ad un contrappeso. Lasciando scendere il contrappeso, questo compirà sul sistema, costituito dall'acqua, un lavoro che in parte si trasforma in energia cinetica posseduta dall'acqua in movimento ed in parte è dissipato per attriti viscosi.

Dopo qualche istante l'acqua ritorna in condizioni di riposo e si può concludere che il sistema costituito dall'acqua non ha modificato né la sua energia cinetica, né la sua energia potenziale. Se ne deve dedurre che il principio di conservazione dell'energia, da un punto di vista meccanico, è falso, oppure che l'energia sia stata immagazzinata nel sistema sotto qualche altra forma. Se, infatti, si dispone di un termometro nell'acqua si osserva che la sua temperatura è aumentata ovvero che il suo stato termodinamico è mutato.

Per i sistemi conservativi si ha:

$$\delta L = dE_K + dE_P$$

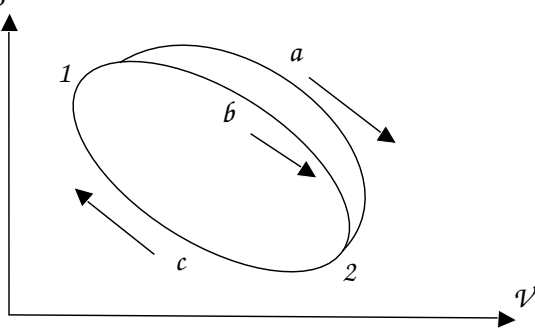
Il lavoro introdotto nel sistema non varia l'energia cinetica e l'energia potenziale del sistema, in quanto l'acqua, dopo l'agitazione iniziale torna in quiete.

$$dE_K + dE_P - \delta L \neq 0$$

Il sistema ha però aumentato la temperatura. E' un fenomeno senz'altro correlato alla variazione di un'energia immagazzinata che viene chiamata energia interna.

Altra storica esperienza di Joule è quella diretta a determinare l'equivalente meccanico della caloria. Essa ha permesso di evidenziare il carattere di funzione di stato dell'energia interna. Questa esperienza può essere così schematizzata:

Figure 1: Schematizzazione dell'esperienza di Joule



Si considerino le due trasformazioni cicliche  $ac$  e  $bc$  rappresentate in Figura 1 e si assuma come vero il fatto sperimentale, ripetutamente osservato da Joule, che il rapporto tra calore e lavoro scambiato in una definita trasformazione ciclica è costante e dipendente unicamente dalle unità di misura adottate per la misura del calore e del lavoro.

Nel caso esemplificato, adottando le stesse unità di misura per  $Q$  e  $L$ , il rapporto diventa unitario. Si scriverà quindi, considerando i due cicli  $ac$  e  $bc$ :

$$Q_{ac} = L_{ac}$$

$$Q_{bc} = L_{bc}$$

In particolare si potrà scrivere:

$$Q_a + Q_c = L_a + L_c$$

$$Q_b + Q_c = L_b + L_c$$

e quindi in definitiva, sottraendo membro a membro, si ottiene:

$$Q_a - Q_b = L_a - L_b$$

$$Q_a - L_a = Q_b - L_b$$

$$\Delta U_{12_a} = \Delta U_{12_b}$$

### 2.1.2 Secondo principio della termodinamica

In un sistema termodinamico all'equilibrio esiste una funzione intrinseca dello stato del sistema (funzione di stato) detta entropia "S" la cui variazione per una trasformazione reversibile è data da:

$$\Delta S = \int \frac{\delta Q_{rev}^{\leftarrow}}{T}$$

Dal secondo principio discendono alcune importanti proprietà:

- l'entropia totale di un sistema, cioè l'entropia riferita all'intera massa  $m$  del sistema, è una quantità estensiva:

$$S = m \cdot s$$

- la variazione di entropia totale di un sistema isolato sede di trasformazioni termodinamiche è sempre maggiore di zero e tende a zero con il tendere dei processi alla reversibilità:

$$\Delta S_{Isolato} \geq 0$$

- Essendo  $S$  una quantità estensiva (additiva), se il sistema  $Z$  è composto da due (o più) sottosistemi  $A, B, \dots$ , l'entropia totale è:

$$S_Z = S_A + S_B + \dots$$

$$\Delta S_Z = \Delta S_A + \Delta S_B + \dots$$

- In un sistema chiuso sede di trasformazioni termodinamiche il bilancio entropico può essere scritto come:

$$\Delta S = S_Q^\leftarrow + S_{Irr}$$

in cui il termine  $S_Q^\leftarrow$  rappresenta l'entropia entrante attraverso i confini del sistema come conseguenza dello scambio di calore  $Q$  (primo assioma), mentre  $S_{Irr}$  (sempre maggiore di zero, in base al terzo assioma) è il termine di generazione entropica per irreversibilità. Il primo termine dovuto agli scambi di calore è teoricamente calcolabile, anche se è molto difficile determinare la variazione di calore al variare della temperatura perché non è affatto semplice fare un integrale di un differenziale di linea, mentre il secondo termine rimane quasi sempre un'incognita.

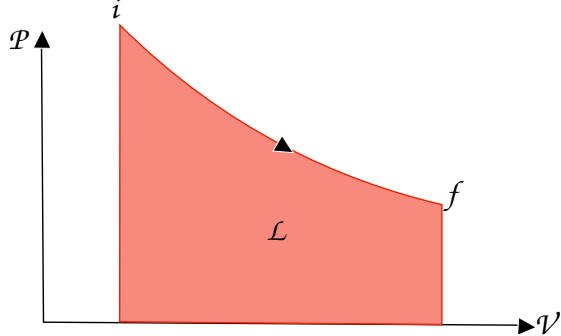
### Calcolo delle grandezze termodinamiche

Si può dimostrare che, in alcuni casi semplici, è possibile il calcolo dei diversi termini che compaiono nel primo e nel secondo principio della termodinamica ( $\Delta U, Q, L, \Delta S$ ) in funzione delle grandezze direttamente misurabili quali pressione ( $P$ ), temperatura ( $T$ ) e volume ( $V$ ).

## 2.2 Il lavoro termodinamico

La capacità di compiere lavoro non è altro che la combinazione di una forza per uno spostamento. Come si riconduce però il lavoro alla pressione e al volume?

Figure 2: Il lavoro termodinamico



Da un punto di vista meccanico il differenziale del lavoro è:

$$\delta L = F \cdot s_{\text{spostamento}}$$

In termodinamica il sistema classico che si può trovare è il sistema cilindro-pistone che permette di esprimere il lavoro come:

$$\delta l^\rightarrow = P dV$$

e quindi:

$$l^\rightarrow = \int_i^f P dV$$

### 2.2.1 Cilindro-pistone

In un dispositivo cilindro-pistone, uno squilibrio di forze infinitesimo tra forze esterne e forza interna ( $P * A$ ) provoca uno spostamento infinitesimo del pistone a cui corrisponde un lavoro.

$$\delta \vec{l} = P A ds = P dv$$

Si è considerato il sistema composto dal solo fluido comprimibile e la trasformazione quasi statica. Quando il sistema evolve da uno stato iniziale  $i$  a uno stato finale  $f$  attraverso una successione di stati di equilibrio sarà possibile esprimere una legge detta *equazione di trasformazione* tra le variabili di stato  $P$  e  $v$  e la sua integrazione rappresenterà il lavoro scambiato durante la trasformazione.

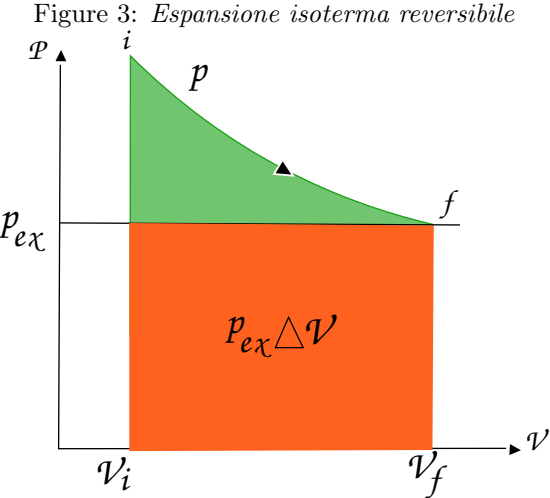
Riferendoci alla Figura 2, possiamo scrivere:

$$\delta \vec{l} = P dv$$

$$\vec{l} = \int_i^f P dv$$

Il calcolo dell'integrale al secondo membro richiede la conoscenza della funzione  $P = P(v)$  detta *equazione della trasformazione*.

### 2.2.2 Espansione isoterma reversibile



Consideriamo ora un'espansione isoterma reversibile, come quella in Figura 3, da  $V_i$  a  $V_f$ :

$$l = R^* \int_{v_i}^{v_f} \frac{T}{v} dv = R^* T \ln \left( \frac{v_f}{v_i} \right)$$

Se espandiamo il gas in modo irreversibile, il lavoro compiuto è pari a:

$$l = p_{ex} \Delta V$$

Il lavoro reversibile (in verde in figura 3) è maggiore del lavoro irreversibile (in arancio in figura 3).

Immaginando un cilindro-pistone contenente al suo interno un gas ad una certa pressione con dei pesi di varia massa appoggiati sul pistone, eliminando le masse il sistema evolverà fino a portarsi in una situazione finale diversa, si espanderà e al termine dell'espansione avrà una pressione inferiore a quella di partenza. In questo caso si estraerà una quantità di lavoro irreversibile inferiore rispetto a quella che si potrebbe estrarre idealmente.

### 2.2.3 Lavoro e funzione di stato

**Funzione di stato** Una funzione di stato è una proprietà del sistema che dipende solamente dallo stato in considerazione, e non dalla natura del processo (cammino) attraverso il quale il sistema è arrivato allo stato attuale. Un banale esempio di funzione di stato è l'altezza.

Invece:

- Il Lavoro NON è una funzione di stato;
- Il Lavoro compiuto DIPENDE dal cammino;
- L'altezza finale NON DIPENDE dal cammino;
- Il tempo trascorso DIPENDE dal cammino.

$\delta l$  non è un differenziale esatto e il lavoro  $L$  non è una funzione di stato in quanto l'area sottesa dipende dall'equazione di trasformazione e il lavoro può essere  $> 0$  nel caso di macchine a ciclo diretto (motrici), oppure  $< 0$  nel caso di macchine a ciclo inverso (operatrici).

### 3 Calore e Temperatura

Per lungo tempo Calore e Temperatura furono confusi...

Ora noi sappiamo che il calore è una forma di energia, dovuta all'incessante movimento degli atomi e delle molecole di cui sono composti i vari oggetti. Essendo una particolare forma di energia, non ci deve sorprendere che non si conservi, così come non si conservano altre forme di energia.

#### 3.0.4 La teoria del Calorico

L'opinione prevalente (Lavoisier, Fourier, Laplace e Poisson), era che il calore fosse una sorta di fluido misterioso, il calorico, che fluiva in ogni sostanza e spontaneamente passava da un corpo caldo ad un corpo freddo.

La teoria del calorico assegnava a questo fluido strane proprietà. Prima di tutto non aveva peso: scaldare un etto di ferro non portava ad un aumento del suo peso; però occupava spazio.

I corpi, infatti, aumentavano di volume se riscaldati. Nonostante i numerosi tentativi, il calorico sfuggiva ad ogni sforzo per essere isolato e investigato direttamente. Pian piano aumentava l'evidenza sperimentale e teorica che la teoria del calorico fosse errata.

I corpi caldi contengono piu' calorico dei corpi freddi. Mettendo a contatto un corpo caldo con un corpo freddo, il calorico fluisce dal corpo caldo a quello freddo.

Benjamin Thompson, Conte Rumford, supervisionava la fabbricazione di cannoni.

Il corpo di un cannone veniva fabbricato a partire da un cilindro di metallo, in cui veniva prodotto meccanicamente un foro del diametro desiderato. L'attrito meccanico generava moltissimo calore.

La teoria del calorico sosteneva che la polvere di metallo poteva "contenere" meno calorico del blocco di metallo originale. Durante la lavorazione del cannone, il calorico non poteva più essere immagazzinato nella Polvere metallica, e veniva disperso sotto forma di calore.

Thompson immerse un blocco metallico in acqua, e dimostrò che era necessaria la stessa quantità di calore per innalzare di un grado la polvere metallica

generata, oppure un blocco di metallo dello stesso peso. La polvere metallica non era meno capace di immagazzinare calore rispetto al pezzo di metallo non polverizzato. Il calore prodotto proveniva semplicemente dal lavoro meccanico compiuto per forare il cannone.

Il calore quindi non era una sostanza. Le idee sbagliate però sono dure a morire, e la teoria del calorico sopravvisse ancora un poco.

Ancora oggi, nel linguaggio comune, sono presenti dei “resti linguistici” di quella teoria. Parliamo infatti di calore che “entra” ed “esce” dai corpi, o dalle finestre aperte. L’uso della *caloria* (*cal*) come unità di energia è una vestigia di quel passato.

### 3.0.5 James Prescott Joule e la conservazione dell’energia

Il riconoscimento e l’enunciazione del principio universale della conservazione dell’energia è dovuto principalmente a James Prescott Joules (1818-1889), birraio e appassionato di scienza.

In suo onore oggi usiamo il joule come unità di misura del lavoro e dell’energia del Sistema Internazionale (SI). Tuttavia in alcuni campi sono ancora utilizzate le calorie, ad esempio nelle etichette dei cibi, (in realtà Kilocalorie).

Joule provò l’equivalenza tra calore e lavoro meccanico: il lavoro eseguito per far ruotare le pale, causa un aumento della temperatura dell’acqua Joules mostrò anche che la quantità di calore prodotto era proporzionale alla quantità di lavoro.

“I fenomeni della natura, siano essi meccanici, chimici o vitali (biologici), consistono quasi interamente nella continua conversione di attrazione nello spazio (energia potenziale), forza vitale (energia cinetica) e calore, uno nell’altro.

Questo è il modo in cui l’ordine viene mantenuto nell’universo: nulla è sbilanciato, nulla viene perso, ma l’intero meccanismo, per quanto complicato, lavora incessantemente e armoniosamente. E sebbene, come nella terribile profezia di Ezechiele, “ruote potranno incastrarsi in altre ruote”, e ogni cosa possa apparire complicata e implicata nell’apparente confusione e nella varietà quasi senza fine di cause, effetti, conversioni e arrangiamenti, tuttavia la più perfetta regolarità viene preservata. Il tutto governato dal volere superiore di Dio”.

### 3.0.6 Robert von Mayer

Julius Robert von Mayer fu il primo a enunciare esplicitamente il principio di conservazione dell’energia.

Le varie forme di energia (Chimica, Elettrica, Magnetica, Meccanica, Calore) si possono trasformare una nell’altra, ma l’energia totale rimane costante.

## 3.1 Il Calore

### 3.1.1 Capacità termica

**Capacità termica** Rapporto tra il calore fornito al sistema e la variazione di temperatura del sistema stesso.

$$C_x = \left( \frac{\delta Q^\leftarrow}{dT} \right)_x$$

**Calore specifico** Rapporto tra la capacità termica del sistema e la sua massa.

$$c_x = \frac{1}{m} \left( \frac{\delta Q^\leftarrow}{dT} \right)_x$$

**Calore specifico a volume costante** Rapporto tra la derivata parziale dell'energia interna e la temperatura a volume costante.

$$c_v = \left( \frac{\partial u}{\partial T} \right)_v$$

$$c_v = c_v(T, P)$$

#### DIMOSTRAZIONE

Poiché  $u$  è proprietà del sistema, per la legge di Duhem la si può riferire a due variabili a scelta, per esempio temperatura e volume:

$$u = u(T, v)$$

Per il primo principio si può scrivere che:

$$du = \delta q^\leftarrow - \delta l^\rightarrow = \delta q^\leftarrow - Pdv$$

$$\delta q^\leftarrow = du + Pdv$$

$$\delta q^\leftarrow = \left( \frac{\partial u}{\partial T} \right)_v dT + \left( \frac{\partial u}{\partial v} \right)_T + Pdv$$

$dv = 0$  poiché il volume è costante, ipotizzando una trasformazione isocora, quindi:

$$\delta q^\leftarrow = \left( \frac{\partial u}{\partial T} \right)_v dT$$

Dunque:

$$\left( \frac{\delta q^\leftarrow}{dT} \right)_v = \left( \frac{\partial u}{\partial v} \right)_T = c_v$$

#### 3.1.2 Calore specifico a pressione costante

**Calore specifico a pressione costante** Per definire il calore specifico a pressione costante bisogna introdurre prima una nuova funzione di stato, ovvero *l'entalpia*, poiché la sua variazione può essere ricondotta proprio al calore specifico a pressione costante.

**Entalpia** L'entalpia è una funzione di stato che esprime la quantità di energia che un sistema termodinamico può scambiare con l'ambiente. L'entalpia è definita dalla somma dell'energia interna e del prodotto tra volume e pressione di un sistema.

$$h = u + Pv$$

**Calore specifico a pressione costante**

$$c_p = \left(\frac{\partial h}{\partial T}\right)_P$$

$$c_p = c_p(T, P)$$

Per le trasformazioni che avvengono a pressione costante la variazione di entalpia è uguale al calore scambiato dal sistema con l'ambiente esterno.

#### DIMOSTRAZIONE

$$h = u + Pv$$

$$dh = du + Pdv + vdp, \text{ dove } du + Pdv = \delta q^\leftarrow$$

Poiché l'entalpia è una funzione di stato, per la legge di Duhem la si può riferire a due variabili a scelta, per esempio temperatura e pressione:

$$h = h(T, P)$$

Possiamo scrivere:

$$\delta q^\leftarrow = dh - vdp$$

$$\delta q^\leftarrow = \left(\frac{\partial h}{\partial T}\right)_P dT + \left(\frac{\partial h}{\partial P}\right)_T dP - vdp$$

$dP = 0$  poiché la pressione è costante considerando una trasformazione isobara

Quindi:

$$\delta q^\leftarrow = \left(\frac{\partial h}{\partial T}\right)_P dT$$

E infine:

$$\left(\frac{\delta q^\leftarrow}{dT}\right)_P = \left(\frac{\partial h}{\partial T}\right)_P = c_P$$

## 4 Espansione libera di un gas ideale

Si considerino due recipienti isolati termostaticamente, cioè indipendenti dagli scambi di calore con l'esterno, separati da una valvola, uno contenente un gas ideale e l'altro vuoto. All'apertura della valvola di intercettazione, mettendo così in comunicazione i due recipienti, si osserva che, dopo un periodo di instabilità, la temperatura ritorna al suo valore iniziale, mentre la pressione si stabilizza su un valore tale per cui  $P_f < P_i$ .

Essendo il sistema isolato, il primo principio della termodinamica consente di affermare che l'energia interna del sistema rimane costante.

Poiché il sistema è costituito da un gas ideale che subisce una trasformazione durante la quale varia sia la pressione, sia il volume mentre può essere perciò funzione della sola temperatura (rimasta costante) e non della pressione (che è variata). In definitiva, per un gas ideale, si ha:

$$u = u(T)$$

Dunque possiamo ricondurre anche il calore specifico a pressione e a volume costante alla sola temperatura per il gas ideale:

$$c_v = c_v(T)$$

$$c_P = c_P(T)$$

infatti:

$$c_v = \left(\frac{\partial u}{\partial T}\right)_v = \left(\frac{du}{dT}\right)$$

Quindi il calore specifico a volume costante cessa di essere riferito solo alle trasformazioni isocore ma permette di risalire all'energia interna del sistema.

Ma anche per l'entalpia si ha:

$$h = h(T)$$

poiché:

$$h = u + Pv, \text{ ma } u = u(T) \text{ e } Pv = R^*T$$

quindi si ha anche che:

$$c_p = \left(\frac{\partial h}{\partial T}\right)_P = \left(\frac{dh}{dT}\right)$$

Inolte se  $c_v = \text{cost.}$  abbiamo che  $\Delta u = c_v \Delta T$ ; se  $c_p = \text{cost.}$  abbiamo che  $\Delta h = c_p \Delta T$ .

#### 4.1 Relazione di Mayer

La relazione di Mayer afferma che il calore specifico a pressione costante è pari alla somma del calore specifico a volume costante e la costante caratteristica del gas considerato:

$$c_p = c_v + R^*$$

##### DIMOSTRAZIONE

$$c_P = \left(\frac{\partial h}{\partial T}\right)_P = \left(\frac{dh}{dT}\right) = \left(\frac{du+d(Pv)}{dT}\right) = \left(\frac{du+d(R^*T)}{dT}\right) = \left(\frac{du}{dT}\right) + R^* = \\ c_v + R^*$$

#### 4.1.1 Gas ideali con $c_P$ e $c_v$ costanti

Table 2: *Gas ideali con  $c_v$  e  $c_P$  costanti*

	$c_v$	$c_P$
Gas Monoatomico	$\frac{3}{2}R^*$	$\frac{5}{2}R^*$
Gas Biatomico o Poliatomico lineare	$\frac{5}{2}R^*$	$\frac{7}{2}R^*$
Gas Poliatomico non lineare	$\frac{6}{2}R^*$	$\frac{8}{2}R^*$

#### 4.1.2 Il calore specifico del liquido incomprimibile ideale

$$c_v = c_P = c(T)$$

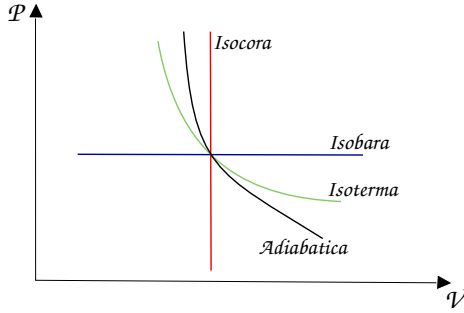
## 4.2 Trasformazioni politropiche

### 4.2.1 Indice $n$ della politropica

**Politropica** Una trasformazione politropica è una trasformazione di un gas ideale per la quale si può supporre che:

$$c_x = \frac{\delta q}{\delta T} = \text{costante}$$

Figure 4: Rappresentazione nel piano  $P - V$  dei vari tipi di trasformazioni termodinamiche



In Figura 4 sono rappresentati i tipi di trasformazioni termodinamiche nel piano  $P-V$ . Da notare che isoterma e adiabatica sono entrambe rami di iperbole ma l'isoterma ha una chiusura maggiore di quella dell'adiabatica.

Si consideri una generica trasformazione quasi-statica per un sistema costituito da un gas perfetto:

$$\delta q^\leftarrow = c_x dT \quad (1)$$

ricordiamo che:

$$\delta q^\leftarrow = du + Pdv$$

ma anche:

$$\delta q^\leftarrow = dh - v dP$$

dunque, ricordando che  $du = c_v dT$  e che  $dh = c_P dT$ , abbiamo:

$$\delta q^\leftarrow = c_v dT + P dv \quad (2)$$

$$\delta q^\leftarrow = c_P dT - v dP \quad (3)$$

Uguagliando la (1) alla (3) e la (1) alla (2) otteniamo:

$$\begin{aligned} (c_x - c_P) dT &= -v dP \\ (c_x - c_v) dT &= P dv \end{aligned}$$

Il rapporto:

$$n = \frac{c_x - c_P}{c_x - c_v} = -\frac{v dP}{P dv}$$

viene definito  $n$ , indice della politropica.

Separando le variabili e integrando:

$$\begin{aligned} n \frac{dv}{v} &= -\frac{dP}{P} \\ n \ln v &= -\ln P \\ Pv^n &= cost \end{aligned}$$

Un modo analogo di esprimere l'equazione precedente è:

$$Pvv^{n-1} = cost$$

e ancora:

$$\begin{aligned} Tv^{n-1} &= cost' \\ T \left( \frac{R^* T}{P} \right)^{n-1} &= cost' \end{aligned}$$

infine anche:

$$\begin{aligned} \frac{T^n}{P^{n-1}} &= cost'' \\ PT^{\frac{n}{1-n}} &= cost'' \end{aligned}$$

Table 3: *Trasformazioni: valori di  $c_x$ ,  $c_P$  e  $c_v$*

Tipo di Trasformazione	$c_x$	$n = \frac{c_x - c_P}{c_x - c_v}$
Isoterma $T = costante$	$\pm\infty$	1
Isocora $v = costante$	$c_v$	$\pm\infty$
Isobara $P = costante$	$c_P$	0
Adiabatica $q = costante$	0	$\gamma = \frac{c_P}{c_v}$

Osserviamo che  $\frac{c_P}{c_v} = \gamma > 1$  per la legge di Mayer.

Per  $n \neq 1$  l'integrale del lavoro diventa:

$$\begin{aligned} l^\rightarrow &= \int_1^2 P dv \\ l^\rightarrow &= \frac{P_1 v_1}{n-1} \left[ 1 - \left( \frac{v_1}{v_2} \right)^{n-1} \right] \\ l^\rightarrow &= \frac{P_1 v_1}{n-1} \left[ 1 - \left( \frac{P_2}{P_1} \right)^{\frac{n-1}{n}} \right] \end{aligned}$$

#### DIMOSTRAZIONE

Per una politropica generica si ha che  $Pv^n = cost$  e quindi si può scrivere anche:

$$\begin{aligned} Pv^n &= P_1 v_1^n \\ l &= \int_{v_1}^{v_2} P dv \\ P &= P_1 v_1^n v^{-n} \\ l &= \int_{v_1}^{v_2} P_1 v_1^n \frac{dv}{v^n} = P_1 v_1^n \cdot \left[ \frac{v^{-n+1}}{-n+1} \right]_1^2 = \frac{P_1 v_1^n}{1-n} [v_2^{1-n} - v_1^{1-n}] = \\ &\quad \frac{P_1 v_1}{n-1} \left[ 1 - \left( \frac{v_1}{v_2} \right)^{n-1} \right] = \frac{P_1 v_1}{n-1} \left[ 1 - \left( \frac{P_2}{P_1} \right)^{\frac{n-1}{n}} \right] \end{aligned}$$

Per  $n = 1$  (trasformazione isoterma) l'integrale del lavoro diventa:

$$l = P_1 v_1 \ln \frac{v_2}{v_1} = P_1 v_1 \ln \frac{P_1}{P_2}$$

#### DIMOSTRAZIONE

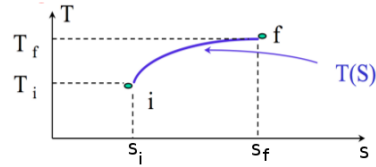
Per una trasformazione isoterma si ha che  $Pv = cost$  e quindi si può scrivere anche:

$$\begin{aligned} Pv &= P_1 v_1 \\ l &= \int_{v_1}^{v_2} P dv \\ P &= P_1 \frac{v_1}{v} \\ l &= \int_{v_1}^{v_2} P_1 v_1 \frac{dv}{v} = P_1 v_1 [\ln v]_1^2 = P_1 v_1 [\ln v_2 - \ln v_1] = P_1 v_1 \ln \frac{v_2}{v_1} = \\ &\quad P_1 v_1 \ln \frac{P_1}{P_2} \end{aligned}$$

### 4.3 Diagramma $T - S$

Gli stati termodinamici e le trasformazioni termodinamiche possono essere rappresentati in un diagramma  $T - S$ :

Figure 5: Diagramma  $T - S$



In un diagramma  $T - S$ , l'area sottesa dalla curva rappresentativa di una trasformazione reversibile è uguale al calore scambiato dal sistema nella trasformazione:

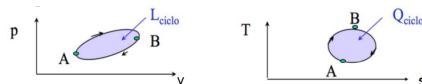
$$\int_i^f T(S) dS = \int_i^f \delta Q = Q$$

In un diagramma  $T - S$ :

- Le curve isoterme sono linee orizzontali
- Le curve isoentropiche sono linee verticali
- Le isobare del gas ideale sono linee inclinate a pendenza crescente
- Le isocore hanno pendenza ancor maggiore rispetto alle isobare.

Per una trasformazione ciclica reversibile, le aree incluse nelle curve chiuse rappresentative del ciclo nei diagrammi  $p - V$  e  $T - S$  sono uguali, essendo, per il 1° Princípio:  $L = Q$ .

Figure 6: Trasformazione ciclica



$$Tds = c_x dT$$

Separando le variabili e integrando si ottiene l'equazione della politropica nel piano  $T - s$ :

$$\frac{dT}{T} = \frac{ds}{c_x}$$

$$\int_{T_0}^T \frac{dT}{T} = \int_{S_0}^S \frac{ds}{c_x}$$

$$\ln \frac{T}{T_0} = \frac{s-s_0}{c_x}$$

$$T = T_0 \cdot e^{\frac{s-s_0}{c_x}}, \text{ al variare di } c_x$$

Nel piano  $T - s$  tutte le politropiche sono rappresentate da esponenziali. In particolare le isoterme avendo  $c_x = \infty$  sono rette orizzontali e così, per il gas ideale, anche le isentalpiche dato che  $h = h(T)$ . Le isentropiche invece sono rette verticali visto che  $c_x = 0$ . Le isocore essendo  $c_v = c_P$  sono più ripide delle isobare.

## 5 Entropia

In un processo reversibile si ha:

$$du = Tds - Pdv$$

ovvero:

$$ds = \frac{du}{T} + \frac{P}{T}dv$$

### 5.1 Gas perfetti

$$du = c_v dT$$

$$PV = R^*T$$

$$ds = c_v \frac{dT}{T} + R^* \frac{dv}{v}$$

oppure:

$$ds = c_P \frac{dT}{T} - R^* \frac{dP}{P}$$

$$ds = c_P \frac{dv}{v} + c_v \frac{dP}{P}$$

Infatti, in un processo reversibile si ha:

$$dh = Tds + v dP$$

ovvero:

$$ds = \frac{dh}{T} - \frac{v}{T} dP$$

$$dh = c_P dT$$

per i gas perfetti:

$$PV = R^*T$$

$$\begin{aligned}
ds &= c_P \frac{dT}{T} - R^* \frac{dP}{P} \\
ds &= c_v \frac{dT}{T} + R^* \frac{dv}{v} \\
PV &= R^* T \\
Pdv + vdP &= R^* dT \\
ds &= c_v \left( \frac{P}{R^* T} dv + \frac{v}{R^* T} dP \right) + R^* \frac{dv}{v} \\
ds &= c_v \frac{dv}{v} + c_v \frac{dP}{P} + R^* \frac{dv}{v} \\
ds &= c_p \frac{dv}{v} + c_v \frac{dP}{P}
\end{aligned}$$

Integrando:

$$\begin{aligned}
s &= s_0 + c_v \ln \frac{T}{T_0} + R^* \ln \frac{v}{v_0} \\
s &= s_0 + c_P \ln \frac{T}{T_0} - R^* \ln \frac{P}{P_0} \\
s &= s_0 + c_P \ln \frac{v}{v_0} + c_v \ln \frac{P}{P_0}
\end{aligned}$$

La variazione di entropia (funzione di stato) è indipendente dal cammino che porta il sistema dallo stato iniziale allo stato finale.

Entrando più nel dettaglioabbiamo che:

**per una trasformazione reversibile:**

- Una prima possibilità è:

$$du = \delta q - Pdv$$

poiché  $\delta q = Tds$  si può scrivere:

$$du = Tds - Pdv$$

ricavando  $ds$ :

$$ds = \frac{du}{T} + \frac{P}{T} dv = \frac{c_v dT}{T} + \frac{R^*}{v} dv \quad (4)$$

dove si è posto  $\frac{c_v dT}{T} = du$  e  $\frac{R^*}{v} dv$  è ottenuta da  $Pv = R^* T$ .  
Integrando la (4) si ottiene:

$$s - s_0 = c_v \ln \frac{T}{T_0} + R^* \ln \frac{v}{v_0}$$

- Una seconda possibilità, utilizzando la definizione di entalpia è:

$$dh = \delta q - vdP$$

poiché  $\delta q = Tds$  si può scrivere:

$$dh = Tds - vdP$$

ricavando  $ds$ :

$$ds = \frac{dh}{T} - \frac{v}{T}dP = \frac{c_p dT}{T} - \frac{R^* dP}{P} \quad (5)$$

dove si è posto  $dh = c_p dT$  e  $\frac{v}{T} = \frac{R^*}{P}$ .

Integrando la (5) si ottiene:

$$s - s_0 = c_v \ln \frac{T}{T_0} - R^* \ln \frac{P}{P_0}$$

- Una terza possibilità è:

$$ds = c_v \frac{dT}{T} + R^* \frac{dv}{v} \quad (6)$$

ricordando che:

$$PV = R^*T$$

si può scrivere:

$$Pdv + vdP = R^*dT \quad (7)$$

sostituendo la (7) nella (6) si ottiene:

$$\begin{aligned} ds &= c_v \left( \frac{P}{R^*T} dv + \frac{v}{R^*T} dP \right) + R^* \frac{dv}{v} \\ ds &= c_v \frac{dv}{v} + c_v \frac{dP}{P} + R^* \frac{dv}{v} \end{aligned}$$

ricordando che  $c_P = c_v + R^*$ :

$$ds = c_P \frac{dv}{v} + c_v \frac{dP}{P}$$

integrando:

$$s - s_0 = c_P \ln \frac{v}{v_0} + c_v \ln \frac{P}{P_0}$$

## 5.2 Liquido incompressibile perfetto

$$du = cdT$$

$$v = cost$$

$$ds = c \cdot \frac{dT}{T_0}$$

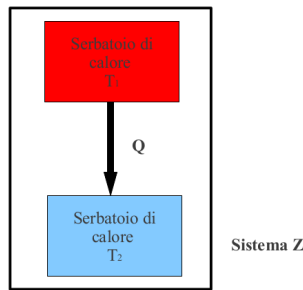
$$s = s_0 + c \cdot \ln \frac{T}{T_0}$$

Table 4: Tabella riassuntiva trasformazioni politropiche

	$l = \int pdv$	$q = \int dq$	$\Delta u$	$\Delta h$	$\Delta s$
$P = cost$	$p\Delta v$	$c_P\Delta T$	$c_v\Delta T$	$c_p\Delta T$	$c_P \ln \frac{T_2}{T_1}$
$V = cost$	—	$c_v\Delta T$	$c_v\Delta T$	$c_P\Delta T$	$c_v \ln \frac{T_2}{T_1}$
$T = cost$	$R^*T \ln \frac{v_2}{v_1} - R^*T \ln \frac{P_2}{P_1}$	$R^*T \ln \frac{v_2}{v_1} - R^*T \ln \frac{P_2}{P_1}$	—	—	$R^*T \ln \frac{v_2}{v_1}; R^*T \ln \frac{P_2}{P_1}$
$dQ = 0$	$-c_v\Delta T$	—	$c_v\Delta T$	$c_P\Delta T$	—
$c_x = cost$	$(c_x - c_v)\Delta T$	$c_x\Delta T$	$c_v\Delta T$	$c_P\Delta T$	$c_P \ln \frac{T_2}{T_1} - R^* \ln \frac{P_2}{P_1}$ $c_v \ln \frac{T_2}{T_1} + R^* \ln \frac{v_2}{v_1}$

## 5.3 Il bilancio entropico

Figure 7: Trasferimento di calore: bilancio entropico



**Serbatoio** sistema termidinamico che scambia calore reversibilmente senza modificare la sua temperatura ( $T = cost$ ).

### Bilancio di energia e di entropia per il sistema $Z$

$$\Delta S_Z = S_q + S_{irr}$$

poiché si tratta di un sistema isolato, si ha  $\Delta S_Z = 0$ , quindi:

$$\Delta S_Z = S_{irr}$$

Ma la variazione di entropia del sistema  $Z$  si può esprimere anche come somma della variazione di entropia dei sottosistemi:

$$\Delta S_Z = \Delta S_1 + \Delta S_2$$

Inoltre, la variazione di energia interna del sistema  $Z$  è nulla:

$$\Delta U_Z = 0$$

quindi si ha che  $\Delta U_1 + \Delta U_2 = 0$  e  $Q_1^\rightarrow + Q_2^\rightarrow = 0$ .

Si può scrivere per i singoli serbatoi:

$$\Delta S_1 = S_{Q_1} + S_{irr_1}$$

$$\Delta S_2 = S_{Q_2} + S_{irr_2}$$

ma poiché lo scambio di calore avviene reversibilmente:

$$\Delta S_1 = S_{Q_1} = \int \frac{\delta Q_1}{T_1} = \frac{1}{T_1} \int \delta Q_1 = \frac{Q_1^\leftarrow}{T_1}$$

$$\Delta S_2 = S_{Q_2} = \int \frac{\delta Q_2}{T_2} = \frac{1}{T_2} \int \delta Q_2 = \frac{Q_2^\leftarrow}{T_2}$$

e si è potuta portare fuori dal simbolo di integrale la temperatura poiché  $T_1 = \text{cost}$  e  $T_2 = \text{cost}$ .

Si ricava quindi che:

$$S_{irr} = \frac{Q_1^\leftarrow}{T_1} + \frac{Q_2^\leftarrow}{T_2}$$

$$S_{irr} = -\frac{Q_1}{T_1} + \frac{Q_2}{T_2}$$

Quindi per il sistema  $Z$ :

$$\Delta S_Z = \frac{Q_1^\leftarrow}{T_1} + \frac{Q_2^\leftarrow}{T_2} + S_{irr}$$

Poiché si ha che  $Q_1^\leftarrow = -Q$  e  $Q_2^\leftarrow = +Q$ , si può scrivere:

$$-\frac{Q_1}{T_1} + \frac{Q_2}{T_2} = S_{irr}$$

ma  $S_{irr} \geq 0$ , quindi:

$$-\frac{Q}{T_1} + \frac{Q}{T_2} \geq 0$$

si può affermare che  $T_1 > T_2$ , altrimenti non si rispetterebbe  $S_{irr} \geq 0$ .

Dato che due corpi alla medesima temperatura non scambiano tra loro calore se  $\Delta T$  è infinitesimo allora  $S_{irr} = 0$ . Quindi è la relazione stessa tra i due corpi a generare in qualche modo irreversibilità.

### 5.3.1 Il bilancio entropico: secondo Lord Kelvin

È impossibile realizzare una macchina termica che funzionando ciclicamente possa trasformare in lavoro il calore assorbito da una sorgente a temperatura uniforme.

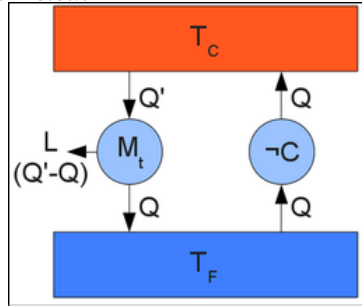
Oppure: è impossibile realizzare una trasformazione il cui unico risultato sia quello di trasformare completamente il calore assorbito in lavoro.

### 5.3.2 Il bilancio entropico: secondo Clausius

È impossibile il passaggio spontaneo (senza lavoro) di calore da un corpo freddo ad uno più caldo per differenza finita di temperatura.

**Dimostrazione dell'equivalenza dei due enunciati** L'equivalenza dell'enunciato di Kelvin e di quello di Clausius si può mostrare tramite il seguente ragionamento per assurdo.

Figure 8: Schematizzazione di una macchina termica basata su una macchina che viola l'enunciato di Kelvin



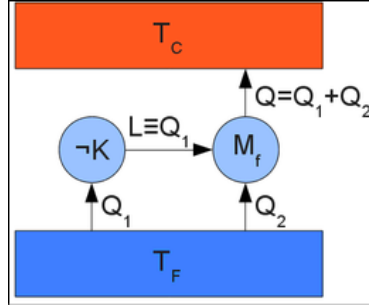
**Kelvin implica Clausius** Facendo riferimento alla Figura 8, si supponga per assurdo che l'enunciato di Clausius sia falso, ossia che esista una macchina frigorifera ciclica in grado di trasferire calore da una sorgente fredda ad una calda, senza apporto di lavoro esterno.

Sia  $Q$  la quantità trasferita per ogni ciclo della macchina dalla sorgente fredda a quella calda.

Si può allora far lavorare una macchina termica tra le due sorgenti, in modo tale che essa sottragga ad ogni ciclo una quantità di calore  $Q'$  dalla sorgente calda, trasferendo a quella fredda una quantità  $Q$  (uguale a quella precedentemente sottratta) e convertendo la differenza  $Q' - Q$  in lavoro.

La sorgente fredda allora non subisce alcun trasferimento netto di calore e pertanto il sistema di macchine termiche sta estraendo calore, globalmente, dalla sola sorgente calda, producendo esclusivamente lavoro, in violazione della formulazione di Kelvin-Planck del secondo principio.

Figure 9: Schematizzazione di una macchina termica basata su una macchina che viola l'enunciato di Clausius



**Clausius implica Kelvin** Ora, facendo riferimento alla Figura 9, si supponga ora di poter convertire integralmente il calore in lavoro, estratto per mezzo di una macchina ciclica da una sola sorgente  $S$  a temperatura costante.

Sia  $L$  tale lavoro estratto in un ciclo.

Allora si può prendere una seconda sorgente  $S'$  a temperatura più alta e far funzionare una macchina frigorifera tra le due sorgenti, che assorba ad ogni ciclo il lavoro  $L$  prodotto dall'altra macchina.

Si ha così un trasferimento netto di calore dalla sorgente fredda  $S$  alla sorgente calda  $S'$ , in violazione dell'enunciato di Clausius.

### Formulazione matematica

$$dS = \frac{dQ_{rev}}{T} > \frac{dQ_{irr}}{T}$$

ovvero:

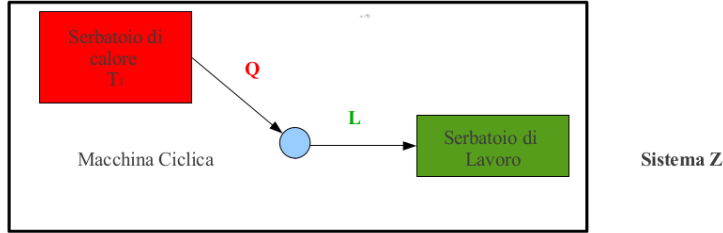
$$dS = \frac{dQ_{rev}}{T} \geq \frac{dQ}{T}$$

Se il sistema è isolato termicamente e quindi non scambia calore, cioè  $dQ = 0$ , si ha:

$$dS \geq 0$$

### 5.3.3 Dimostrazione ulteriore dell'affermazione di Lord Kelvin

Figure 10: *Macchina ciclica*



$$\Delta S_Z = S_{irr} + S_Q$$

poiché il sistema è isolato  $S_Q = 0$ , quindi:

$$\Delta S_Z = S_{irr}$$

Poiché, come mostra la Figura 10, il sistema è composto da una macchina ciclica e due serbatoi, si può esprimere la variazione di entropia del sistema  $Z$  come:

$$\Delta S_Z = \Delta S_{SC} + \Delta S_M + \Delta S_{SL}$$

Poiché la macchina è ciclica e l'entropia è funzione di stato  $\Delta S_M = 0$ ; inoltre il serbatoio di lavoro ha  $Q = 0$ , ovvero è una trasformazione reversibile adiabatica, e quindi anche  $\Delta S_{SL} = 0$ . Quindi si ottiene che:

$$\Delta S_Z = \Delta S_{SC}$$

Dato che la temperatura è costante ( $T = \text{cost}$ ) la variazione di entropia del serbatoio di calore è pari a :

$$\Delta S_{SC} = \frac{Q^\leftarrow}{T} = S_{irr} \geq 0$$

Quindi si ha che  $\frac{Q}{T} \geq 0$  e quindi:

$$Q \geq 0$$

La temperatura è assoluta e quindi intrinsecamente positiva. Il calore  $Q$  è entrante altrimenti l'energia sarebbe  $< 0$ . Ciò significa che la situazione descritta in figura viola il secondo principio della termodinamica e che quindi tale macchina sia incapace di produrre lavoro.

### 5.3.4 Interpretazione fisica del concetto di Entropia

E' evidente ai nostri sensi che l'energia di un sistema termodinamico isolato può essere espressa come somma di due termini: l'energia disponibile ad essere convertita in lavoro ( $E_{disp}$ ) e energia che non è possibile convertire in lavoro ( $E_{nondisp}$ ):

$$E = E_{disp} + E_{nondisp}$$

Definiamo l'entropia come proprietà di un sistema termodinamico la cui variazione  $dS$  a seguito di una trasformazione sia proporzionale alla differenza fra la variazione di energia totale  $dE$  e la variazione dell'energia disponibile per produrre lavoro  $dE_{disp}$ :

$$dS = C(dE - dE_{disp})$$

Per un sistema isolato che evola verso una diversa situazione di equilibrio a seguito della rimozione di vincoli il principio di conservazione dell'energia consente di affermare che  $dE = 0$  mentre il principio di degradazione dell'energia consente di affermare che  $dE_{disp} < 0$  e quindi che  $dS_{is} \geq 0$ .

Secondo questa interpretazione l'entropia risulta essere una misura dell'energia non disponibile.

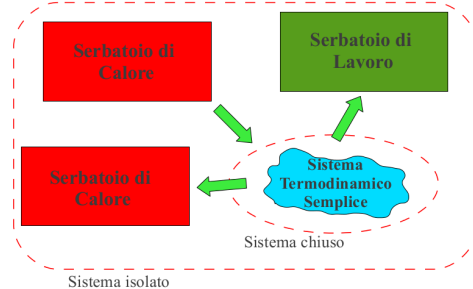
## 6 Macchine termodinamiche

**Macchina termodinamica** Sistema termodinamico composto ed isolato che, nella sua forma più semplice, è realizzato da:

- due serbatoi di calore;
- un serbatoio di lavoro;
- una macchina ciclica

che è in grado di produrre od assorbire con continuità lavoro interagendo con il serbatoio di lavoro ed i serbatoi di calore (vedi Figura 11).

Figure 11: *Macchina termodinamica*



## 6.1 Serbatoio di Lavoro

Figure 12: *Serbatoio di Lavoro*



**Serbatoio di lavoro** sistema termodinamico che scambia solo lavoro con l'esterno senza alterare il suo stato termodinamico; gli scambi avvengono con trasformazioni quasi-statiche (internamente reversibili).

## 6.2 Serbatoio di Calore

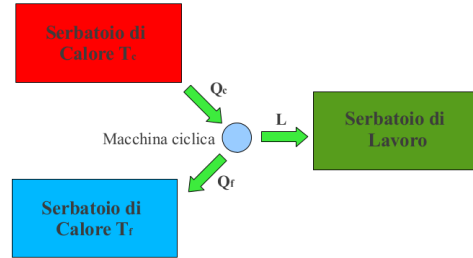
Figure 13: *Serbatoio di Calore*



**Serbatoio di Calore** Sistema termodinamico che scambia solo calore con l'esterno senza alterare il suo stato termodinamico; gli scambi avvengono con trasformazioni quasi-statiche (internamente reversibili).

## 6.3 Macchine Motrici

Figure 14: *Macchina motrice*



Dalle equazioni di bilancio:

$$\begin{cases} \Delta U_Z = 0 \\ \Delta S_Z = S_{irr} \end{cases}$$

$$\begin{cases} \Delta U_C + \Delta U_M + \Delta U_{SL} + \Delta U_F = 0 \\ \Delta S_C + \Delta S_M + \Delta S_{SL} + \Delta S_F = S_{irr} \end{cases}$$

Ma essendo:

- per il serbatoio di calore caldo

$$\begin{cases} \Delta U_C = Q_C^\leftarrow \\ \Delta S_C = \frac{Q_C^\leftarrow}{T_C} \end{cases}$$

- per la macchina ciclica

$$\begin{cases} \Delta U_M = 0 \\ \Delta S_M = 0 \end{cases}$$

- per il sebatoio di lavoro

$$\begin{cases} \Delta U_{SL} = -L_{SL}^\rightarrow \\ \Delta S_{SL} = 0 \end{cases}$$

- per il serbatoio di calore freddo

$$\begin{cases} \Delta U_F = Q_F^\leftarrow \\ \Delta S_F = \frac{Q_F^\leftarrow}{T_F} \end{cases}$$

ne deriva che:

$$\begin{cases} Q_C^\leftarrow + Q_F^\leftarrow - L_{SL}^\rightarrow = 0 \\ \frac{Q_C^\leftarrow}{T_C} + \frac{Q_F^\leftarrow}{T_F} = S_{irr} \end{cases}, \text{ quindi } \begin{cases} -Q_C + Q_F + L_{SL} = 0 \\ -\frac{Q_C}{T_C} + \frac{Q_F}{T_F} = S_{irr} \end{cases}$$

e infine:

$$\begin{cases} Q_F = Q_C - L \\ L = Q_C \left(1 - \frac{T_F}{T_C}\right) - T_F S_{irr} \end{cases}$$

Essendo  $T_C > T_F$  e  $L > 0$ , il lavoro è massimo quando il processo è reversibile.

**Rendimento** Rapporto tra il risultato energetico che la macchina fornisce e la spesa energetica per raggiungere l'obiettivo.

In generale si ha:

$$\eta = \frac{L}{Q_C}$$

sostituendo:

$$\eta = \frac{L}{Q_C} = 1 - \frac{T_F}{T_C} - \frac{T_F}{Q_C} S_{irr}$$

poiché il lavoro è massimo se il sistema è reversibile, si ottiene che:

$$\eta = 1 - \frac{T_F}{T_C}$$

ciò che si è ottenuto è l'espressione del rendimento termodinamico di una macchina motrice che opera reversibilmente con serbatoi di calore a temperatura costante considerati di massa infinita.

### 6.3.1 Esempio: macchina motrice con serbatoio caldo a massa finita

Si consideri una macchina motrice con serbatoio caldo di massa finita contenente un liquido ideale. Dalle equazioni di bilancio si ottiene:

$$\begin{cases} \Delta U_Z = 0 \\ \Delta S_Z = S_{irr} \\ \Delta U_C + \Delta U_M + \Delta U_{SL} + \Delta U_F = 0 \\ \Delta S_C + \Delta S_M + \Delta S_{SL} + \Delta S_F = S_{irr} \end{cases}$$

Poiché il serbatoio di calore caldo a massa finita ha  $T_1 > T_2$  per esso si ha:

$$\begin{cases} \Delta U_C = mc(T_2 - T_1) \\ \Delta S_C = mc \ln\left(\frac{T_2}{T_1}\right) \end{cases}$$

per la macchina ciclica:

$$\begin{cases} \Delta U_M = 0 \\ \Delta S_M = 0 \end{cases}$$

per il serbatoio di lavoro:

$$\begin{cases} \Delta U_{SL} = -L_{SL}^{\rightarrow} \\ \Delta S_{SL} = 0 \end{cases}$$

per il serbatoio di calore freddo:

$$\begin{cases} \Delta U_F = Q_F^\leftarrow \\ \Delta S_F = \frac{Q_F^\leftarrow}{T_F} \end{cases}$$

ne deriva che:

$$\begin{cases} mc(T_2 - T_1) + Q_F^\leftarrow - L_{SL}^\rightarrow = 0 \\ mc \ln \left( \frac{T_2}{T_1} \right) + \frac{Q_F^\leftarrow}{T_F} = S_{irr} \end{cases}$$

$$\begin{cases} mc(T_2 - T_1) + Q_F + L = 0 \\ mc \ln \frac{T_2}{T_1} + \frac{Q_F}{T_F} = S_{irr} \end{cases}$$

Poiché il sistema considerato è reversibile,  $S_{irr} = 0$ , quindi:

- $Q_C^\leftarrow = mc(T_2 - T_1)$  negativo uscente
- $Q_C = mc(T_1 - T_2)$  valore assoluto
- $Q_F^\leftarrow = -mcT_F \ln \frac{T_2}{T_1} = mcT_F \ln \frac{T_1}{T_2}$  positivo
- $Q_F = mcT_F \ln \frac{T_1}{T_2}$  in valore assoluto
- $L^\rightarrow = Q_C^\leftarrow + Q_F^\leftarrow = mc(T_2 - T_1) + mcT_F \ln \frac{T_1}{T_2}$  negativo entrante
- $L = Q_C - Q_F = mc(T_1 - T_2) - mcT_F \ln \frac{T_1}{T_2}$  in valore assoluto

Quindi si ottiene il seguente sistema:

$$\begin{cases} Q_C = mc(T_1 - T_2) \\ Q_F = mcT_F \ln \frac{T_1}{T_2} \\ L = mc(T_1 - T_2) - mcT_F \ln \frac{T_1}{T_2} \end{cases}$$

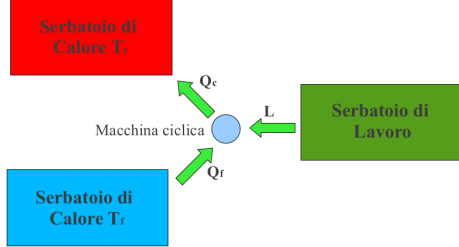
Quindi, poiché il rendimento è pari a  $\eta = \frac{L}{Q_C}$  (rapporto tra il risultato energetico che la macchina fornisce e la spesa energetica per raggiungere l'obiettivo), si ottiene un rendimento reversibile pari a:

$$\eta_{rev} = \frac{L}{Q_C} = \frac{(T_1 - T_2) - T_F \ln \frac{T_1}{T_2}}{T_1 - T_2}$$

Tale espressione è il rendimento termodinamico di una macchina motrice che opera reversibilmente con il serbatoio superiore a massa finita.

## 6.4 Macchine Operatrici

Figure 15: *Macchina Operatrice*



Dalle equazioni di bilancio:

$$\begin{cases} \Delta U_Z = 0 \\ \Delta S_Z = S_{irr} \end{cases}$$

$$\begin{cases} \Delta U_C + \Delta U_M + \Delta U_{SL} + \Delta U_F = 0 \\ \Delta S_C + \Delta S_M + \Delta S_{SL} + \Delta S_F = 0 \end{cases}$$

Ma essendo:

- per il serbatoio di calore caldo

$$\begin{cases} \Delta U_C = Q_C^\leftarrow \\ \Delta S_C = \frac{Q_C^\leftarrow}{T_C} \end{cases}$$

- per la macchina ciclica

$$\begin{cases} \Delta U_M = 0 \\ \Delta S_M = 0 \end{cases}$$

- per il sebatoio di lavoro

$$\begin{cases} \Delta U_{SL} = -L_{SL}^\rightarrow \\ \Delta S_{SL} = 0 \end{cases}$$

- per il serbatoio di calore freddo

$$\begin{cases} \Delta U_F = Q_F^\leftarrow \\ \Delta S_F = \frac{Q_F^\leftarrow}{T_F} \end{cases}$$

ne deriva che:

$\begin{cases} Q_C^\leftarrow + Q_F^\leftarrow - L_{SL}^\rightarrow = 0 \\ \frac{Q_C^\leftarrow}{T_C} + \frac{Q_F^\leftarrow}{T_F} = S_{irr} \end{cases}$ , e quindi considerando i flussi di calore e lavoro si ottiene:

$$\begin{cases} Q_C - Q_F - L_{SL} = 0 \\ \frac{Q_C}{T_C} - \frac{Q_F}{T_F} = S_{irr} \end{cases}$$

ricavando che  $Q_F = Q_C - L$  e sostituendo:

$$L = Q_C \left( 1 - \frac{T_F}{T_C} \right) + T_F S_{irr}$$

poiché il lavoro massimo si ottiene se il processo è reversibile (quindi  $S_{irr} = 0$ ), e  $T_C > T_F$  e  $L > 0$ .

**Efficienza o C.O.P.** Rapporto tra il risultato energetico che la macchina fornisce e la spesa energetica per raggiungere l'obiettivo.

Per una macchina frigorifera si ha:

$$\begin{aligned} \epsilon_f &= \frac{Q_F}{L} \\ \epsilon_f &= \frac{Q_F}{L} = \frac{T_F}{T_C - T_F + \frac{T_C T_F S_{irr}}{Q_F}} \end{aligned}$$

se la macchina frigorifera opera reversibilmente con serbatoi di calore a temperatura costante si ottiene:

$$\epsilon_{f_{rev}} = \frac{T_F}{T_C - T_F}$$

Per una pompa di calore si ha:

$$\begin{aligned} \epsilon_p &= \frac{Q_C}{L} \\ \epsilon_{pdc} &= \frac{Q_C}{L} = \frac{T_C}{T_C - T_F + \frac{T_C T_F S_{irr}}{Q_C}} \end{aligned}$$

se la pompa di calore opera reversibilmente con serbatoi di calore a temperatura costante si ottiene:

$$\epsilon_{pdc_{rev}} = \frac{T_C}{T_C - T_F}$$

Le due espressioni rappresentano l'efficienza termodinamica di una macchina operatrice che opera reversibilmente con serbatoi di calore a temperatura costante e considerati di massa infinita.

Il legame tra l'efficienza per una macchina frigorifera e quella per una pompa di calore è:

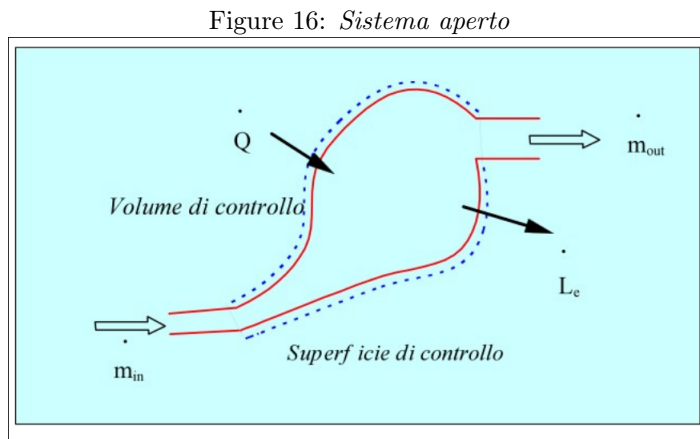
$$\epsilon_{pdc} = \frac{Q_C}{L} = \frac{Q_F + L}{L} = \epsilon_f + 1$$

## Part II

# Sistemi Aperti

### 7 Sistema aperto

**Sistema aperto** È delimitato da una superficie di controllo chiamata volume di controllo (sezione delimitata di spazio): attraverso di essa viene scambiato calore e lavoro; attraverso ben delimitate sezioni invece si ipotizzerà che può fluire anche massa (solo attraverso le sezioni di ingresso e di uscita, lungo tutto il resto invece calore e/o lavoro).



In realtà si parla di potenza termica e di potenza lavoro riferite all'unità di tempo (sono dimensionalmente potenze); si ha infatti massa in movimento e quindi si fa riferimento alla portata massica riferita all'unità di tempo.

Per i sistemi aperti si fa riferimento alle equazioni di bilancio di massa, a differenze dei sistemi chiusi, per i quali non si considera perché mantengono la massa costante.

### 8 Equazioni di bilancio

#### 8.1 Bilancio di Massa

La massa che si accumula all'interno del volume di controllo è pari a:

$$\frac{dm}{dt} = \sum_i \dot{m}_i^{\leftarrow}$$

non è altro che la differenza tra “ciò che entra” nel volume di controllo e “ciò che esce”.

### 8.1.1 Equazione di continuità

$$\dot{m} = \rho w \Omega$$

dove:

- $\rho$  = massa volumica =  $\frac{1}{v}$
- $w$  = velocità della sezione
- $\Omega$  = area della sezione

## 8.2 Bilancio di Energia 1/2

$$\frac{dE}{dt} = \sum_i \dot{E}_i^{\leftarrow}$$

$E^{\leftarrow}$ :

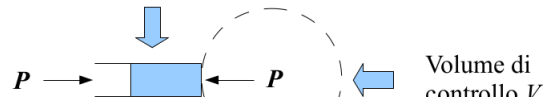
- energia associata al trasporto di massa
- calore scambiato
- lavoro scambiato
- energia dovuta ad una sorgente

Bisogna considerare quindi anche un altro tipo di energia: il lavoro necessario da compiere per inserire la massa nel volume di controllo. Per far entrare la massa all’interno del volume di controllo va speso lavoro, ma va speso anche quando la massa va estratta dal volume di controllo.

Si consideri un sistema  $V + V_m$  occupato dalla massa  $m_i$ . Se si immette  $m_i$  in  $V$ , il volume varia mantenendo costante la massa.

Figure 17: *Volume di controllo*

Volume  $V_m$  occupato dal fluido prima di essere immesso nel volume di controllo



Se si ipotizza che la massa è molto più piccola del volume allora il suo inserimento non causa variazioni sensibili della pressione.

Il sistema è un sistema chiuso che scambia un lavoro  $L_p$  con l'esterno:

$$L_p^\leftarrow = - \int_{V+V_m}^V P dV = PV - PV + PV_m = PV_m = m_i Pv_i$$

questo termine di lavoro compare per ogni sezione di ingresso e di uscita della massa.

### 8.2.1 Energia associata al trasporto di massa

$$E_m = \sum_i m_i^\leftarrow \left( u + gz + \frac{w^2}{2} \right)$$

### 8.2.2 Calore scambiato

$Q^\leftarrow$ : calore estratto dal sistema per renderlo disponibile all'esterno; viene assorbito dall'esterno per far evolvere il sistema nella direzione che vogliamo. Viene prelevato dall'esterno se la macchina è operatrice.

### 8.2.3 Lavoro scambiato

Il lavoro scambiato non viene visto in relazione con l'esterno; ha a che fare con il sistema aperto. Entra in gioco nell'evoluzione che il fluido compirà all'interno del sistema.

- Lavoro d'**elica**  $L_e^\rightarrow$
- Lavoro di **pulsione**  $L_P^\leftarrow = \sum_i m_i P_i v_i$

Quest'ultimo, il lavoro di pulsione, è l'energia associata ad un termine di sorgente (effetto Joule, reazioni chimiche, reazioni nucleari, etc.).

## 8.3 Bilancio di Energia 2/2

Nella sezione 8.2 si è detto che:

$$\frac{dE}{dt} = \sum_i \dot{E}_i^\leftarrow$$

ovvero:

$$\frac{dE}{dt} = m_i \left( u + gz + \frac{w^2}{2} \right)_i + \dot{Q}^\leftarrow - m_u \left( u + gz + \frac{w^2}{2} \right)_u - \dot{L}_e^\rightarrow + \dot{m}_i (Pv)_i - \dot{m}_u (Pv)_u$$

$$\begin{aligned}\frac{dE}{dt} &= \dot{m}_i \left( h + gz + \frac{w^2}{2} \right)_i + \dot{Q}^\leftarrow - \dot{m}_u \left( h + gz + \frac{w^2}{2} \right)_u - \dot{L}_e^\rightarrow \\ \frac{dE}{dt} &= \sum_i \dot{m}_i^\leftarrow \left( h + gz + \frac{w^2}{2} \right)_i + \dot{Q}^\leftarrow - \dot{L}_e^\rightarrow\end{aligned}$$

L'entalpia tiene conto sia dell'energia interna sia del lavoro specifico introdotto per inserire il fluido all'interno del volume di controllo.

## 8.4 Bilancio di Entropia

L'entropia del volume di controllo dipende da quella associata al trasporto di massa, dalla potenza entropica legata agli scambi di calore, e quello dovuto all'irreversibilità.

$$\frac{dS}{dt} = \sum_i \dot{m}_i^\leftarrow s_i + \dot{S}_{Q^\leftarrow} + \dot{S}_{irr}$$

## 9 Regime stazionario

Per poter utilizzare in modo più semplificato le equazioni di bilancio per sistemi aperti, bisogna fare qualche semplificazione legata al regime stazionario.

### 9.0.1 Equazioni di bilancio: Massa

$$\frac{dm}{dt} = \sum_i \dot{m}_i^\leftarrow = 0$$

quindi:

$$\dot{m}_i^\leftarrow = -\dot{m}_u^\leftarrow = \dot{m}^\leftarrow$$

### 9.0.2 Equazioni di bilancio: Energia

$$\frac{dE}{dt} = \sum_i \dot{E}_i^\leftarrow = 0$$

quindi:

$$\dot{m}^\leftarrow \left[ (h_i - h_u) + g(z_i - z_u) + \frac{(w_i^2 - w_u^2)}{2} \right] + \dot{Q}^\leftarrow - \dot{L}_e^\rightarrow = 0$$

in questo caso si è potuto raccogliere perché le masse sono uguali.

### 9.0.3 Equazioni di bilancio: Entropia

$$\frac{dS}{dt} = \sum_i \dot{S}_i^\leftarrow = 0$$

quindi:

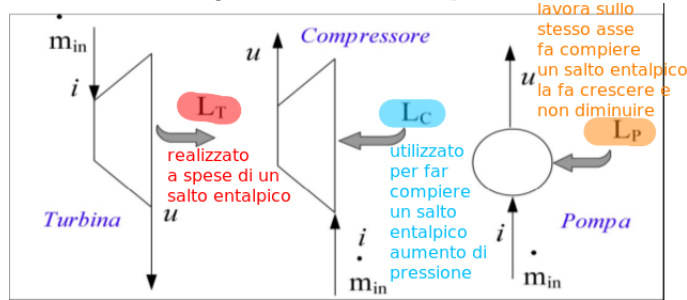
$$\dot{m}^\leftarrow (s_i - s_u) + \dot{S}_{Q^\leftarrow} + \dot{S}_{irr} = 0$$

Questa equazione viene utilizzata per il calcolo di scambi energetici per sistemi aperti.

## 9.1 Macchina aperta

**Macchina aperta** dispositivo stazionario adiabatico atto a scambiare lavoro per il quale si ipotizzano trascurabili le variazioni di energia potenziale e cinetica tra le sezioni di ingresso e di uscita.

Figure 18: *Macchina aperta*



**Turbina** agisce su qualunque fluido gas, vapore, bifase.

**Compressore** agisce solo su gas.

**Pompa** agisce solo su fluidi; alza la pressione senza ridurre il volume.

### 9.1.1 Bilancio di Energia

$$\dot{m}^\leftarrow (h_i - h_u) - \dot{L}_e^\rightarrow = 0$$

### 9.1.2 Bilancio di Entropia

$$\dot{m}^{\leftarrow} (s_i - s_u) + \dot{S}_{irr} = 0$$

## 9.2 Dispositivi schematizzabili come sistemi aperti

I dispositivi schematizzabili come sistemi aperti presentano un flusso costante di fluido e una distribuzione di temperatura a regime costante e sono ipotizzabili trascurabili le variazioni di energia potenziale e/o cinetica.

### 9.2.1 Scambiatore di calore

Grazie al calore che viene scambiato, uno scambiatore di calore fa compiere un salto di entalpia al sistema; provvede invece una diminuzione di entalpia quando il calore viene fatto uscire dal sistema stesso.

**Scambiatore di calore** sistema aperto stazionario che opera senza scambio di lavoro per il quale si ipotizzano trascurabili le variazioni di energia potenziale e cinetica tra le sezioni di ingresso e di uscita.

$$\dot{m}^{\leftarrow} (h_i - h_u) + \dot{Q}^{\leftarrow} = 0$$

$$\dot{m}^{\leftarrow} (s_i - s_u) + \dot{S}_{Q^{\leftarrow}} + \dot{S}_{irr} = 0$$

### 9.2.2 Diffusore ( $w \downarrow$ ) e ugello ( $w \uparrow$ )

I diffusori e gli ugelli sono sistemi aperti stazionari che operano senza scambio di lavoro e di calore per i quali si ipotizzano trascurabili la variazione di energia potenziale tra le sezioni di ingresso e di uscita ma non quelle di energia cinetica.

$$\dot{m} \cdot \left[ (h_i - h_u) + \frac{(w_i^2 - w_u^2)}{2} \right] = 0$$

$$\dot{m}^{\leftarrow} (s_i - s_u) + \dot{S}_{irr} = 0$$

### 9.2.3 Valvola di laminazione

Le valvole di laminazione sono sistemi aperti stazionari (detti anche dispositivi isentalpici) per i quali si ipotizzano trascurabili le variazioni di energia potenziale e cinetica tra le sezioni di ingresso e di uscita.

$$(h_i - h_u) = 0$$

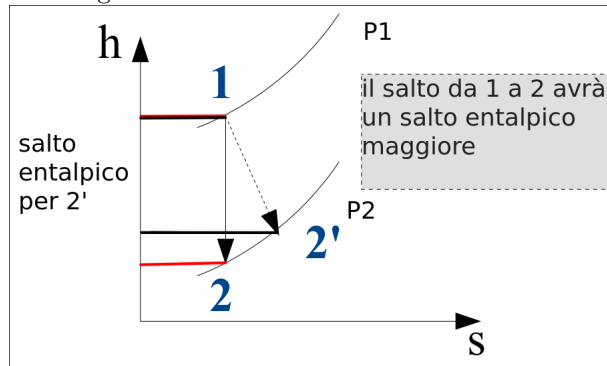
$$\dot{m}^{\leftarrow} (s_i - s_u) + \dot{S}_{irr} = 0$$

#### 9.2.4 Turbina

**Rendimento isentropico di una macchina aperta** Si chiama rendimento isentropico di una macchina motrice aperta (turbina) il rapporto fra la potenza realmente ottenuta e la potenza massima ottenibile in condizioni ideali (trasformazione isentropica del fluido e quindi adiabatica reversibile) a parità di condizioni di ingresso e a parità di pressione di fine espansione.

$$\text{Rendimento espansione turbina } \eta_{isT} = \frac{\dot{L}_{reale}}{\dot{L}_{ideale}} = \frac{(h_1 - h_{2'})}{(h_1 - h_2)}$$

Figure 19: Andamento rendimento turbina

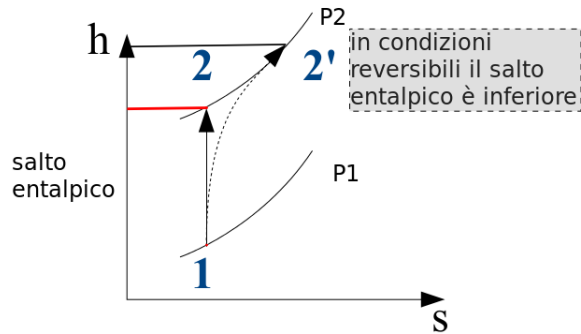


#### 9.2.5 Compressore

**Rendimento isentropico di una macchina aperta** Si chiama rendimento isentropico di una macchina operatrice aperta (compressore e pompa) il rapporto tra la potenza minima spesa in condizioni ideali (trasformazione del fluido isentropica e quindi adiabatica reversibile) e la potenza realmente spesa a parità di condizioni di ingresso e a parità di pressione di fine compressione.

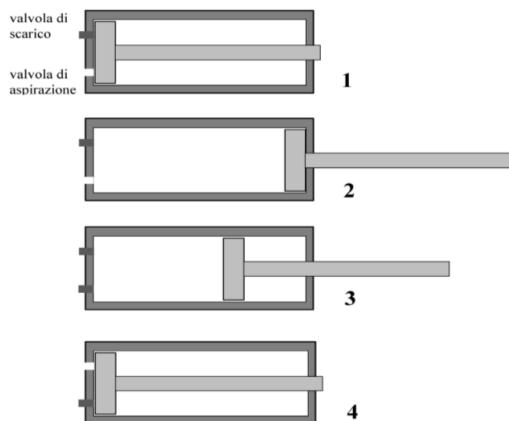
$$\text{Rendimento isentropico compressore } \eta_{isC} = \frac{\dot{L}_{ideale}}{\dot{L}_{reale}} = \frac{(h_1 - h_2)}{(h_1 - h_{2'})} = \frac{h_2 - h_1}{h_{2'} - h_1}$$

Figure 20: Compressore



#### 9.2.6 Compressore Alternativo Ideale

Figure 21: Compressore alternativo ideale



- Nella fase 1 il volume è idealmente nullo
- Quando si inizia a far entrare volume (fase 2) si ha lavoro positivo
- Nella fase 3 la valvola si comprime, il volume decresce e si ha quindi lavoro negativo
- Nella 4<sup>a</sup> fase la valvola si comprime completamente e si torna quindi a volume nullo

Figure 22: Diagramma del compressore ideale

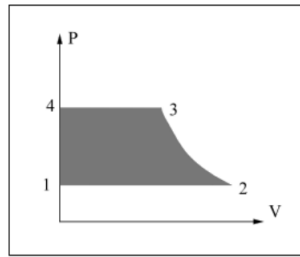
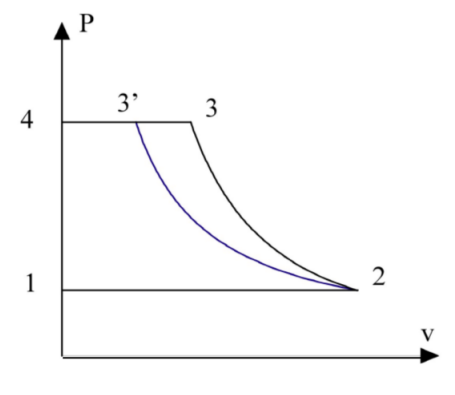


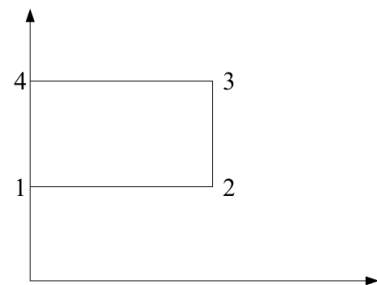
Figure 23: Compressione adiabatica (2 – 3) o isoterma (2 – 3')



Come si vede in Figura 23, sarebbe meglio avere una trasformazione isoterma che permette di avere area sottesa maggiore.

#### 9.2.7 Pompa ideale

Figure 24: Diagramma pompa ideale



Il lavoro di una pompa ideale è negativo:

$$l^{\leftarrow} = v(P_4 - P_1)$$

### 9.3 Lavoro specifico per unità di massa fluente

Con opportuni passaggi, sotto l'ipotesi di regime stazionario, trascurando le variazioni di energia cinetica e potenziale, per un tratto infinitesimo di lunghezza  $dx$  le equazioni di bilancio energetico ed entropico espresse per unità di massa sono:

$$-dh + \delta q^{\leftarrow} - \delta l_e^{\rightarrow} = 0$$

$$-ds + ds_Q + ds_{irr} = 0$$

Si ipotizzi che le irreversibilità siano associate al solo moto del fluido e non agli scambi di calore con il serbatoio esterno.

$$-dh + \delta q_{rev}^{\leftarrow} - dl_e^{\rightarrow} = 0$$

$$-ds + \frac{\delta q_{rev}^{\leftarrow}}{T} + ds_{irr} = 0$$

e quindi:

$$Tds = \delta q_{rev} + Tds_{irr}$$

Ricordando che:  $dh = Tds + vdP$

Si ottiene:

$$dh = \delta q_{rev}^{\leftarrow} + Tds_{irr} + vdP$$

$$dh = \delta q_{rev}^{\leftarrow} - \delta l_e^{\rightarrow}$$

E quindi:

$$-\delta l_e^{\rightarrow} = vdP + Tds_{irr}$$

Integrando fra la sezione di ingresso e quella di uscita, ipotizzando di non avere irreversibilità:

$$l_e = - \int_i^u v dP - \int_i^u T ds_{irr}$$

dove:

- $\int_i^u v \, dP = l_{rev}$
- $\int_i^u T \, ds_{irr} =$  Energia dissipata per irreversibilità interna

## Part III

# Sistemi bifase

### 10 Sistema eterogeneo

**Sistema omogeneo** Un sistema è omogeneo se ogni sua parte ha le medesime proprietà fisiche, indipendentemente dalla posizione.

**Sistema eterogeneo** Un sistema è eterogeneo se al suo interno si presenta in due stati diversi, ovvero al suo interno evolvono due sostanze diverse.

I sistemi si dividono poi anche in sistemi monocomponente o multicomponente.

**Sistema monocomponente** Il sistema monocomponente è un sistema al cui interno è presente una sola sostanza.

**Sistema multicomponente** Il sistema multicomponente è un sistema al cui interno sono presenti più sostanze.

#### 10.1 Grandezze estensive

Dato un sistema eterogeneo costituito da due stati (o fasi)  $\alpha$  e  $\beta$ , le grandezze estensive specifiche risultano dalla media pesata sulle masse dei valori delle grandezze estensive specifiche delle singole fasi.

$$m = m_\alpha + m_\beta$$

$$E = E_\alpha + E_\beta$$

$$\frac{E}{m} = e = \frac{m_\alpha}{m} e_\alpha + \frac{m_\beta}{m} e_\beta$$

dove,  $e$ ,  $e_\alpha$ ,  $e_\beta$  sono grandezze estensive riferite all'unità di massa specifica.

##### 10.1.1 Frazione massica

Data  $m = m_\alpha + m_\beta$ , si definisce la frazione massica per i due stati  $\alpha$  e  $\beta$ :

$$x_\alpha = \frac{m_\alpha}{m}$$

$$x_\beta = \frac{m_\beta}{m}$$

$$e = x_\alpha e_\alpha + x_\beta e_\beta$$

$$x_\alpha + x_\beta = 1$$

quindi:

$$e = (1 - x_\beta) e_\alpha + x_\beta e_\beta$$

## 10.2 Regola di Gibbs per i sistemi bifase

Ricordando la regola di Gibbs  $V = C + 2 - F$ , dove:

- $V$  = n° di variabili **intensive** atte a descrivere il sistema
- $C$  = n° di componenti
- $F$  = n° di fasi

Per il sistema monocomponente bifase si ha che  $V = 1$ .

Pressione e temperatura non sono variabili indipendenti durante una transizione di fase.

**Transizione di fase** passaggio da uno stato di aggregazione a un altro  $dh = \delta q + v dP$ . La transizione di fase avviene a  $P$  costante, quindi:  $dh = \delta q$ , dove  $\delta q$  è il calore latente di ebollizione.

## 10.3 Sistema eterogeneo monocomponente

### 10.3.1 Stati monofasi

- Solido
- Liquido
- Aeriforme (Gas)
  - Vapore (è quasi sempre impossibile trattarlo come gas perfetto)

### 10.3.2 Stati bifasi

- Coesistenza di solido e liquido
- Coesistenza di solido e aeriforme (vapore)
- Coesistenza di liquido e aeriforme (vapore)

### 10.3.3 Stati tripli

- Coesistenza di solido, liquido e aeriforme (vapore)

### 10.3.4 Tipi di sistemi eterogenei monocomponente

**Liquido sottoraffreddato** Liquido non in procinto di evaporare.

**Liquido saturo** Liquido in procinto di evaporare.

**Miscela satura liquido-vapore** Contemporanea presenza di liquido e vapore.

**Vapore saturo** Vapore in condizioni di incipiente condensazione.

**Vapore surriscaldato** Vapore non in procinto di condensare (si trova a temperatura superiore a quella di ebollizione).

**Temperatura di saturazione** Temperatura alla quale una sostanza pura comincia ad evaporare, fissata la pressione.

### 10.3.5 Diagrammi $P, v, T$

Figure 25: Diagramma  $P, v, T$

#### Sostanza monocomponente

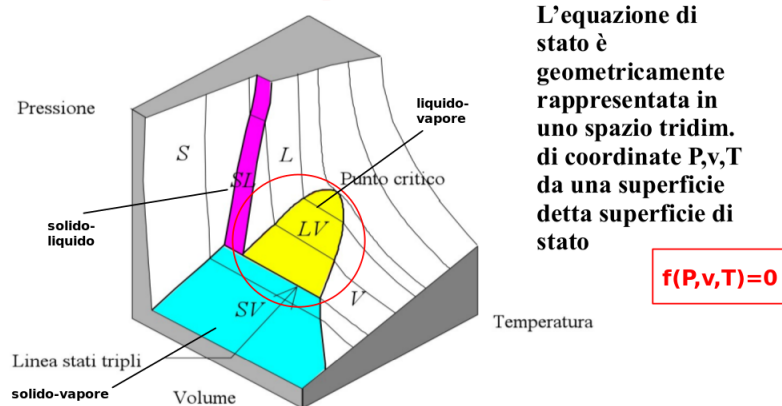


Figure 26: *Punto critico*

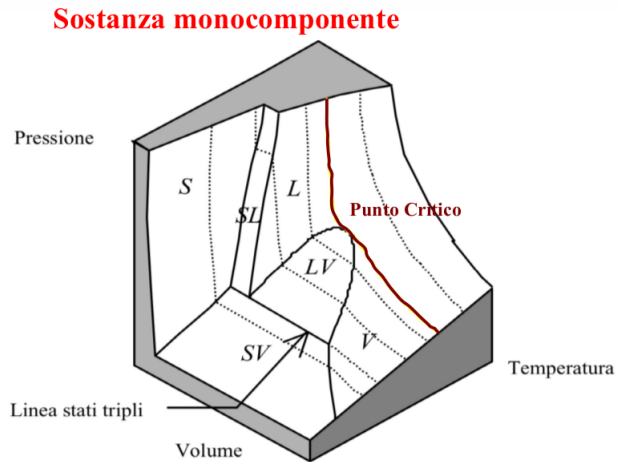


Figure 27: *Curva di saturazione*

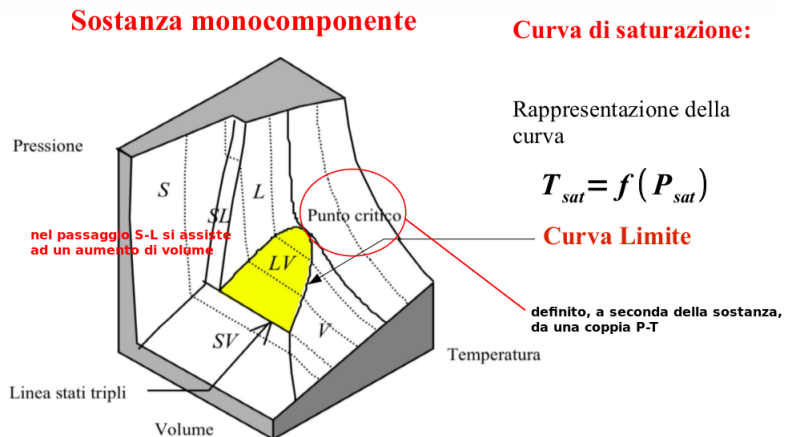
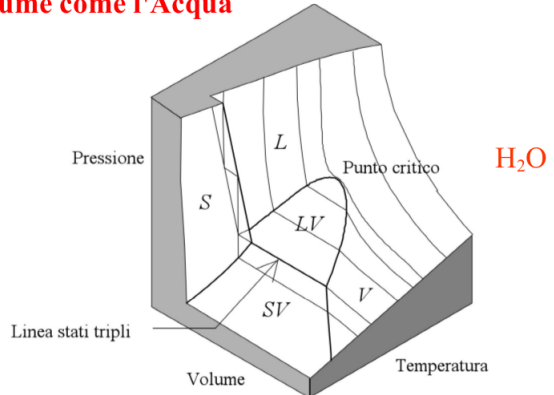


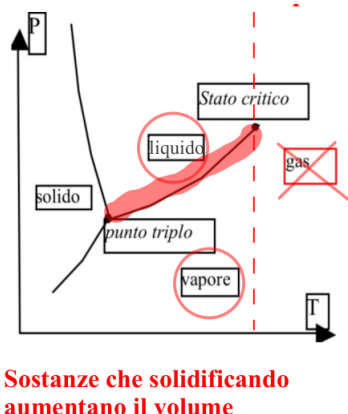
Figure 28: *Aumento di volume ( $H_2O$ )*

**Sostanza monocomponente che solidificando aumenta il volume come l'Acqua**



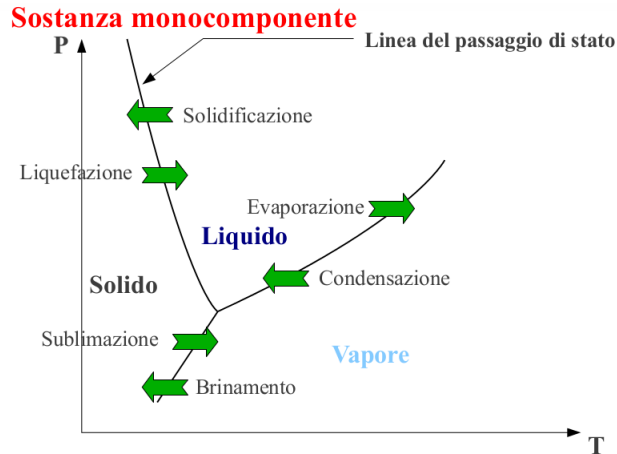
#### 10.3.6 Diagrammi $P, T$

Figure 29: *Aumento di volume per sostanze che solidificano*



**Sostanze che solidificando  
aumentano il volume**

Figure 30: Passaggi di stato



#### 10.4 Entalpia (calore) di transizione di fase

$$h_{solido} < h_{liquido} < h_{vapore}$$

Table 5: Entalpia: transizioni di fase

fase	formula
entalpia di liquefazione	$h_{liquido} - h_{solido} > 0$
entalpia di solidificazione	$h_{solido} - h_{liquido} < 0$
entalpia di evaporazione	$h_{vapore} - h_{liquido} > 0$
entalpia di condensazione	$h_{liquido} - h_{vapore} < 0$
entalpia di sublimazione	$h_{vapore} - h_{solido} > 0$
entalpia di brinamento	$h_{solido} - h_{vapore} < 0$

## 10.5 Proprietà termodinamiche dei sistemi bifase

### Liquido-Vapore

**Titolo di vapore**  $x = x_v = \frac{m_v}{m}$ ; il titolo di vapore è detto anche fase massica in vapore.

**Titolo di liquido**  $x_l = \frac{m_l}{m} = 1 - x$ ; il titolo di liquido è detto anche fase massica in liquido.

$$x_v + x_l = 1$$

#### 10.5.1 Volume specifico

$$v = (1 - x) v_l + x v_v = v_l + x v_{lv}$$

#### 10.5.2 Energia interna

$$u = (1 - x) u_l + x u_v = u_l + x u_{lv}$$

#### 10.5.3 Entropia

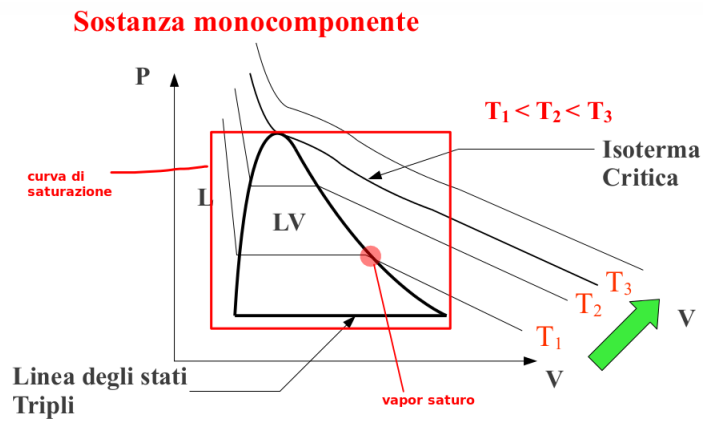
$$s = (1 - x) s_l + x s_v = s_l + x s_{lv}$$

#### 10.5.4 Entalpia

$$h = (1 - x) h_l + x h_v = h_l + x h_{lv}$$

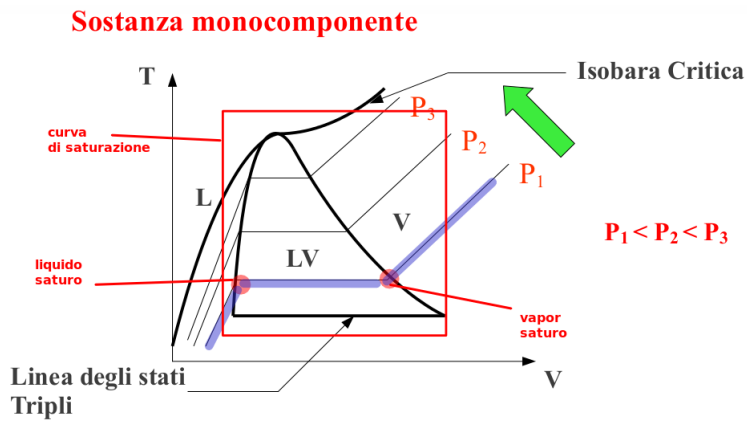
### 10.5.5 Diagramma $P, v$

Figure 31: Diagramma  $P, v$



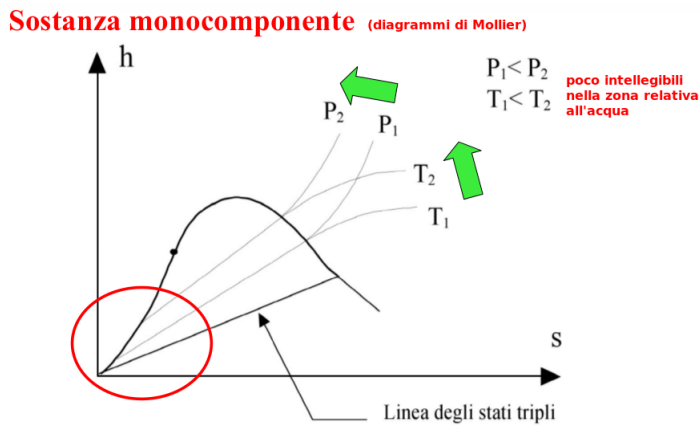
### 10.5.6 Diagramma $T, v$

Figure 32: Diagramma  $T, v$



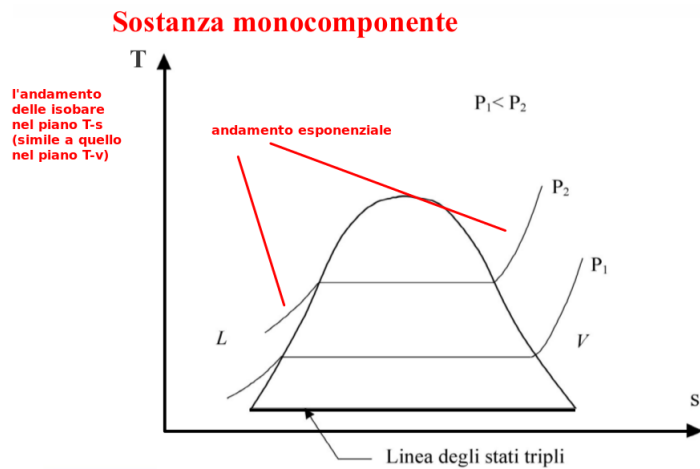
### 10.5.7 Diagramma $h, s$

Figure 33: Diagramma  $h, s$



### 10.5.8 Diagramma $T, s$

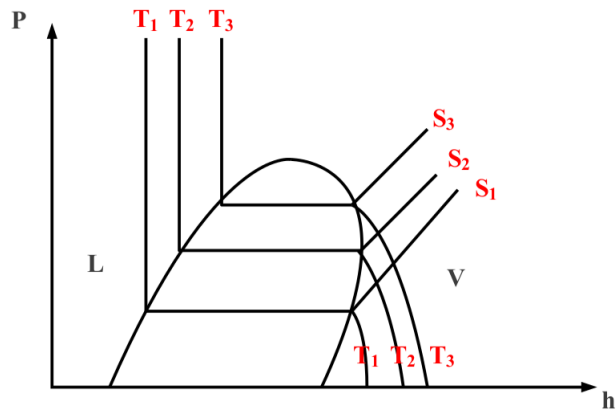
Figure 34: Diagramma  $T, s$



### 10.5.9 Diagramma $P, h$

Figure 35: Diagramma  $P, h$

**Sostanza monocomponente**



### 10.5.10 Tabella di saturazione dell'Acqua

Table 6: Saturazione dell'acqua

permette di conoscere i parametri lungo la curva di saturazione

T (°C)	P (kPa)	volume specifico		entalpia specifica		entropia specifica				
		$v_l \cdot 10^3$	$v_{lv}$	$v_v$	$h_l$	$h_{lv}$	$s_l$	$s_{lv}$	$s_v$	
50	12.335	1.0121	12.045	12.046	209.26	2382.9	2592.2	0.7035	7.3741	8.0776
55	15.741	1.0145	9.578	9.579	230.17	2370.8	2601.0	0.7677	7.2249	7.9926
60	19.920	1.0171	7.678	7.679	251.09	2358.6	2609.7	0.8310	7.0798	7.9108
65	25.009	1.0199	6.201	6.202	272.02	2346.3	2618.4	0.8933	6.9389	7.8322
70	31.160	1.0228	5.045	5.046	292.97	2334.0	2626.9	0.9548	6.8017	7.7565
75	38.549	1.0259	4.133	4.134	313.94	2321.5	2635.4	1.0154	6.6681	7.6835
80	47.360	1.0292	3.408	3.409	334.92	2308.8	2643.8	1.0753	6.5379	7.6132
85	57.810	1.0326	2.828	2.829	355.92	2296.1	2652.0	1.1343	6.4111	7.5454
90	70.110	1.0361	2.3603	2.3613	376.94	2283.2	2660.1	1.1925	6.2874	7.4799

### 10.5.11 Tabella del vapore surriscaldato dell'acqua (da inserire)

## 10.6 Interpolazione dei dati tabulati

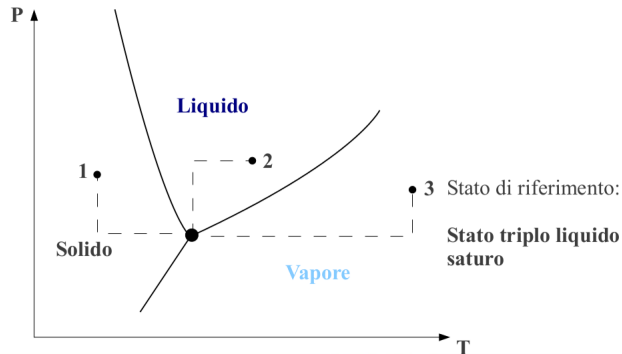
### 10.6.1 Interpolazione lineare

$$\frac{X - X_1}{X_2 - X_1} = \frac{T - T_1}{T_2 - T_1}$$

$$\frac{X - X_1}{X_2 - X_1} = \frac{P - P_1}{P_2 - P_1}$$

## 10.7 Enthalpia ed Entropia specifica

Figure 36: Espressioni approssimate per il calcolo di Entropia ed Enthalpia specifica



### 10.7.1 Espressioni approssimate per il calcolo di Enthalpia ed Entropia specifica per l'acqua

Stato solido (1)

$$h = h_0 + h_{l_{st}} + c_s (T - T_0) + v (P - P_0)$$

$$s = s_0 + s_{l_{st}} + c_s \ln \frac{T}{T_0} = s_0 + \frac{h_{l_{st}}}{T_0} + c_s \ln \frac{T}{T_0}$$

### Stato liquido (2)

$$h = h_0 + c_l (T - T_0) + v (P - P_0)$$

$$s = s_0 + c_l \ln \frac{T}{T_0}$$

### 10.8 Proprietà termodinamiche dell'acqua

- Stato triplo

$$T_t = 273,16K$$

$$P_t = 611,2Pa$$

- Stato critico

$$T_{cr} = 647,29K$$

$$P_{cr} = 220,9Pa$$

Calore specifico del ghiaccio  $c_s = 2093 \frac{J}{kg \cdot K}$

Calore specifico del liquido  $c_l = 4186 \frac{J}{kg \cdot K}$

Calore specifico medio a pressione costante del vapore  $c_{Pv} = 2009 \frac{J}{kg \cdot K}$

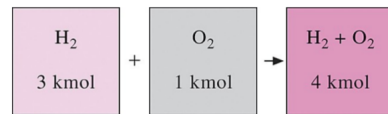
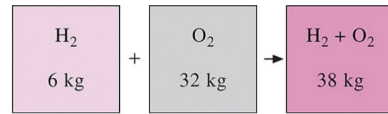
Entalpia di solidificazione allo stato triplo  $h_{l_{st}} = -333 \frac{kJ}{kg \cdot K}$

Entalpia di evaporazione allo stato triplo  $h_{l_{vt}} = 2501,6 \frac{kJ}{kg \cdot K}$

### 10.9 Miscele di gas ideali

Per determinare le proprietà di una miscela è necessario conoscere la natura dei suoi componenti.

Figure 37: Esempi di miscele di gas ideali



$$m_m = \sum_{i=1}^k m_i$$

$$N_m = \sum_{i=1}^k N_i$$

- Frazione in massa

$$mf_i = \frac{m_i}{m_m}$$

- Frazione molare

$$y_i = \frac{N_i}{N_m}$$

#### 10.9.1 Massa molare apparente di una miscela

$$M_m = \frac{m_m}{N_m} = \frac{\sum_{i=1}^k m_i}{N_m} = \frac{\sum_{i=1}^k N_i M_i}{N_m} = \sum_{i=1}^k y_i M_i$$

La somma delle frazioni in massa e delle frazioni molari di una miscela è pari a 1:

$$\sum_{i=1}^k mf_i = 1 \text{ e } \sum_{i=1}^k y_i = 1$$

Ricordando che:  $R^* = \frac{R}{M}$  e ponendo  $m = NM$  costante apparente del gas, si ha:

$$M_m = \frac{m_m}{N_m} = \frac{m_m}{\sum_{i=1}^k \frac{m_i}{M_i}} = \frac{1}{\sum_{i=1}^k \frac{m_i}{m_m M_i}} = \frac{1}{\sum_{i=1}^k \frac{mf_i}{M_i}}$$

Frazione in massa e frazione molare di una miscela sono in relazione fra loro:

$$mf_i = \frac{m_i}{m_m} = \frac{N_i M_i}{N_m M_m} = y_i \frac{M_i}{M_m}$$

Figure 38: *Frazione molare di idrogeno e ossigeno*

$$\begin{aligned} & \text{H}_2 + \text{O}_2 \\ & y_{\text{H}_2} = 0.75 \\ & y_{\text{O}_2} = \frac{0.25}{1.00} \end{aligned}$$

#### 10.9.2 Comportamento $P, v, T$ di una miscela di gas

**Legge di Dalton** La pressione di una miscela di gas è uguale alla somma delle pressioni che ognuno dei gas avrebbe se fosse da solo nelle stesse condizioni di temperatura e volume della miscela.

$$P_m = \sum_{i=1}^k P_i (T_m, V_m)$$

**Legge di Amagat** Il volume di una miscela di gas è uguale alla somma dei volumi che ognuno dei gas occuperebbe se fosse da solo nelle stesse condizioni di temperatura e pressione della miscela.

$$V_m = \sum_{i=1}^k V_i (T_m, P_m)$$

Le leggi di Dalton e Amagat sono esatte per i gas ideali, approssimate per i gas reali. Per i gas ideali le due leggi portano ai medesimi risultati.

Figure 39: *Gas mixture*

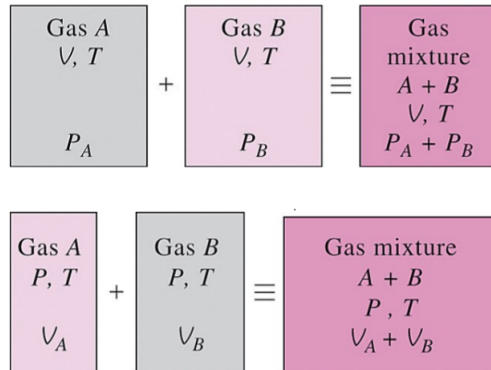
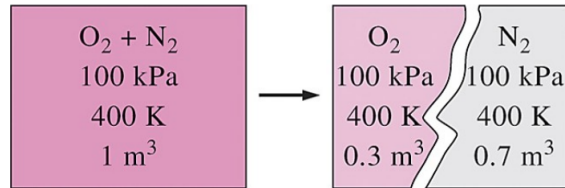


Figure 40: *Gas mixture example*



Indicando con:

- $P_i$  pressione parziale
- $\frac{P_i}{P_m}$  rapporto in pressione
- $V_i$  volume parziale
- $\frac{V_i}{V_m}$  rapporto in volume

Si può scrivere:

$$\frac{P_i(T_m, V_m)}{P_m} = \frac{\frac{N_i R_u T_m}{V_m}}{\frac{N_m R_u T_m}{V_m}} = \frac{N_i}{N_m} = y_i$$

$$\frac{V_i(T_m, P_m)}{V_m} = \frac{\frac{N_i R_u T_m}{P_m}}{\frac{N_m R_u T_m}{P_m}} = \frac{N_i}{N_m} = y_i$$

E da queste quindi si ottiene:

$$\frac{P_i}{P_m} = \frac{V_i}{V_m} = \frac{N_i}{N_m} = y_i$$

Questa equazione è valida solo per le miscele di gas ideali ed è ottenuta ipotizzando un comportamento ideale per ogni gas che compone la miscela e per la miscela stessa.

La quantità  $P_i = y_i P_m$  è chiamata pressione parziale, e la quantità  $V_i = y_i V_m$  è chiamata volume parziale.

Da notare che, per la miscela ideale, la frazione molare, il rapporto in pressione e il rapporto in volume sono identici.

La composizione di una miscela ideale è spesso determinata con un'analisi volumetrica.

**Le proprietà di una miscela per unità di massa** Le proprietà per unità di massa coinvolgono le frazioni in massa.

- $u_m = \sum_{i=1}^k m f_i u_i \left[ \frac{\text{kJ}}{\text{kg}} \right]$
- $h_m = \sum_{i=1}^k m f_i h_i \left[ \frac{\text{kJ}}{\text{kg}} \right]$
- $s_m = \sum_{i=1}^k m f_i s_i \left[ \frac{\text{kJ}}{\text{kg}\cdot\text{K}} \right]$
- $c_{v,m} = \sum_{i=1}^k m f_i c_{v,i} \left[ \frac{\text{kJ}}{\text{kg}\cdot\text{K}} \right]$
- $c_{p,m} = \sum_{i=1}^k m f_i c_{p,i} \left[ \frac{\text{kJ}}{\text{kg}\cdot\text{K}} \right]$

**Le proprietà estensive specifiche di una miscela** Le proprietà estensive specifiche di una miscela sono determinate attraverso la media pesata.

- $\dot{u}_m = \sum_{i=0}^k y_i \dot{u}_i \left[ \frac{\text{kJ}}{\text{kmol}} \right]$
- $\dot{h}_m = \sum_{i=0}^k y_i \dot{h}_i \left[ \frac{\text{kJ}}{\text{kmol}} \right]$
- $\dot{s}_m = \sum_{i=0}^k y_i \dot{s}_i \left[ \frac{\text{kJ}}{\text{kmol}\cdot\text{K}} \right]$
- $\dot{c}_{v,m} = \sum_{i=0}^k y_i \dot{c}_{v,i} \left[ \frac{\text{kJ}}{\text{kmol}\cdot\text{K}} \right]$
- $\dot{c}_{p,m} = \sum_{i=0}^k y_i \dot{c}_{p,i} \left[ \frac{\text{kJ}}{\text{kmol}\cdot\text{K}} \right]$

### 10.9.3 Legge di Gibbs-Dalton

Per un gas ideale le proprietà di un componente non sono influenzate dalla presenza di altri gas e tale componente si comporta come se fosse da solo alla  $T_m$  e al volume  $V_m$  della miscela. Inoltre  $h$ ,  $u$ ,  $c_v$ , e  $c_p$  dipendono solo dalla temperatura e sono indipendenti da pressione e volume della miscela.

$$\Delta s_i^o = s_{i,2}^o - s_{i,1}^o - R_i \ln \frac{P_{i,2}}{P_{i,1}}$$

Dove:

- $P_{i,2} = y_{i,2} P_{m,2}$  è la pressione parziale del componente i-esimo allo stato 2
- $P_{i,1} = y_{i,1} P_{m,1}$  è la pressione parziale del componente i-esimo allo stato 1

$$\Delta s_i = s_{i,2}^o - s_{i,1} - R_i \ln \frac{P_{i,2}}{P_{i,1}} \simeq c_{p,i} \ln \frac{T_{i,2}}{T_{i,1}} - R_i \ln \frac{P_{i,2}}{P_{i,1}}$$

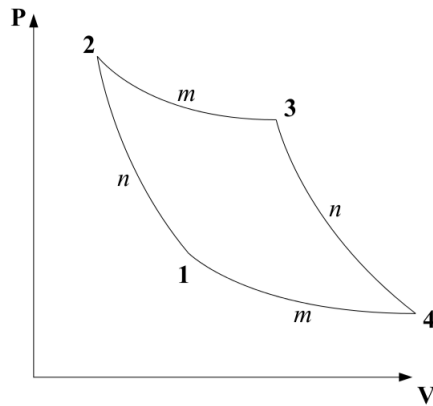
$$\Delta \dot{s}_i = \dot{s}_{i,2}^o - \dot{s}_{i,1} - R_i \ln \frac{P_{i,2}}{P_{i,1}} \simeq \dot{c}_{p,i} \ln \frac{T_{i,2}}{T_{i,1}} - R_i \ln \frac{P_{i,2}}{P_{i,1}}$$

## Part IV

### Cicli termodinamici a gas

#### 11 Proprietà dei cicli simmetrici

Figure 41: Ciclo simmetrico



Per un ciclo simmetrico si possono scrivere le seguenti equazioni:

- $v_1v_3 = v_2v_4$
- $P_1P_3 = P_2P_4$
- $T_1T_3 = T_2T_4$

Inoltre:

- $P_1v_1^n = P_2v_2^n$
- $P_2v_2^m = P_3v_3^m$
- $P_3v_3^n = P_4v_4^n$
- $P_4v_4^m = P_1v_1^m$

Moltiplicando membro a membro le equazioni di pari indice si ottiene:

$$P_1P_3(v_1v_3)^n = P_2P_4(v_2v_4)^n \quad (8)$$

$$P_3P_1(v_3v_1)^m = P_2P_4(v_2v_4)^m \quad (9)$$

Dividendo membro a membro:

$$v_1v_3 = v_2v_4$$

che inserita nella formula (8) e con l'equazione dei gas perfetti si ottiene:

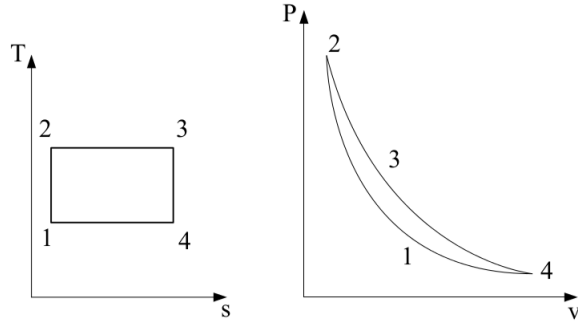
$$P_1P_3 = P_2P_4$$

$$T_1T_3 = T_2T_4$$

## 12 Ciclo di Carnot

Il ciclo di Carnot è un ciclo simmetrico costituito da due isoentropiche e due isoterme.

Figure 42: Ciclo di Carnot



**Rendimento del ciclo**  $\eta = \frac{L}{Q_c} = 1 - \frac{Q_f}{Q_c} = 1 - \frac{T_1}{T_3} = 1 - \frac{T_1}{T_2}$  essendo isoterme le trasformazioni lungo le quali si scambia calore.

Possibili fonti di irriversibilità per una macchina termodinamica:

- *irreversibilità esterna* ( $T_1 > T_F$  e  $T_2 < T_C$ )

$$\eta_{rev} = 1 - \frac{T_F}{T_C} > \eta_{Ciclo} = 1 - \frac{T_1}{T_3}$$

**Bilancio entropico su tutta la macchina termica**  $-\frac{Q_C}{T_C} + \frac{Q_F}{T_F} = S_{irr}$

Per il ciclo di Carnot vale  $\frac{Q_C}{T_3} = \frac{Q_F}{T_1} = \Delta S$

che risulta rispetto a  $Q_F$   $Q_C \left( \frac{1}{T_F} \frac{T_1}{T_3} - \frac{1}{T_C} \right) = S_{irr}$  e  $Q_C \left( \frac{T_C T_1 - T_F T_3}{T_3 T_C T_F} \right) = S_{irr} > 0$

- *irreversibilità interna* ( $s_1 < s_2$  e  $s_3 < s_4$ )

**Bilancio entropico su tutta la macchina termica**  $-\frac{Q_C}{T_C} + \frac{Q_F}{T_F} = S_{irr}$

$$\frac{Q_C}{T_C} = S_3 - S_2$$

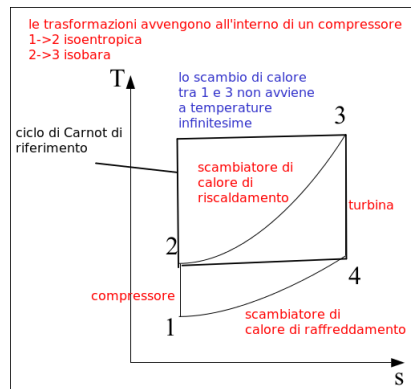
$$\frac{Q_F}{T_F} = S_4 - S_1$$

$$S_2 - S_3 + S_4 - S_1 = S_{irr} > 0$$

## 13 Ciclo Joule-Brayton

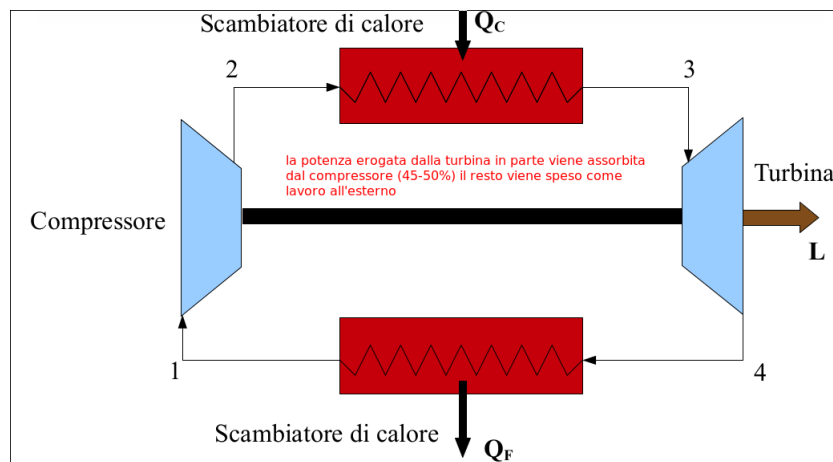
Il ciclo Joule-Brayton è un ciclo costituito da due isoentropiche e due isobare.

Figure 43: *Joule-Brayton*



Nella Figura 44 si può osservare il ciclo di Joule-Brayton che coinvolge una turbina, un compressore e due scambiatori di calore (caldo e freddo).

Figure 44: *Ciclo JB*



**Rendimento termodinamico del ciclo JB (gas perfetti, ciclo ideale simmetrico)**

Il rendimento di JB è inferiore del rendimento di Carnot. Il calore addotto, considerando una trasformazione isobara, vale:

$$\dot{Q}_{in} = \dot{m} (h_3 - h_2)$$

Ritenendo costante il calore specifico nel range di temperatura ipotizzabile si ha:

$$\dot{Q}_{in} = \dot{m} (h_3 - h_2) = \dot{m} c_P (T_3 - T_2)$$

Analogamente l'espressione del calore sottratto vale:

$$\dot{Q}_{out} = \dot{m} (h_4 - h_1) = \dot{m} c_P (T_4 - T_1)$$

Il rendimento termodinamico del ciclo vale:

$$\eta_{JB} = \frac{(\dot{Q}_{in} - \dot{Q}_{out})}{\dot{Q}_{in}} = 1 - \frac{\dot{Q}_{out}}{\dot{Q}_{in}} = 1 - \frac{T_4 - T_1}{T_3 - T_2} = 1 - \frac{T_1 \left( \frac{T_4}{T_1} - 1 \right)}{T_2 \left( \frac{T_3}{T_2} - 1 \right)} = 1 - \frac{T_1}{T_2}$$

**Rendimento del ciclo**  $\eta_{JB} = \frac{\dot{L}}{\dot{Q}_C} = 1 - \frac{\dot{Q}_F}{\dot{Q}_C} = 1 - \frac{T_1}{T_2}$  (inserendo il bilancio di entropia fra 1 e 2 per i gas perfetti)

$$\Delta s_{1-2} = c_P \ln \frac{T_2}{T_1} - R^* \ln \frac{P_2}{P_1} = 0$$

$$\left( \frac{T_2}{T_1} \right)^{c_P} = \left( \frac{P_2}{P_1} \right)^{R^*}$$

$$\left( \frac{T_2}{T_1} \right) = \left( \frac{P_2}{P_1} \right)^{\frac{R^*}{c_P}} = r^{\frac{R^*}{c_P}} = r^{\frac{k-1}{k}}$$

dove r è il rapporto di compressione  $\left( \frac{P_2}{P_1} \right)$ .

Il rendimento si può esprimere quindi come:

$$\eta_{JB} = 1 - \frac{1}{r^{\frac{k-1}{k}}}$$

Il rendimento del ciclo di Joule-Brayton è funzione del solo rapporto di compressione e presenta un minimo quando la pressione  $P_2$  tende alla pressione  $P_1$ :

$$r_{P_{min}} = 1$$

E un valore massimo quando  $T_2$  tende a  $T_3$ :

$$r_{Pmax} = \left( \frac{T_3}{T_1} \right)^{\frac{k}{k-1}}$$

Anche il lavoro netto prodotto dal ciclo JB ideale è funzione del solo rapporto di compressione:

$$\begin{aligned} l &= l_T - l_C = c_P (T_3 - T_4) - c_P (T_2 - T_1) = c_P T_3 \left( 1 - \frac{T_4}{T_3} \right) - c_P T_1 \left( \frac{T_2}{T_1} - 1 \right) = \\ &= c_P T_3 \left( 1 - \frac{1}{r_P^{\frac{k-1}{k}}} \right) - c_P T_1 \left( r_P^{\frac{k-1}{k}} - 1 \right) \end{aligned}$$

Si ha il massimo lavoro in corrispondenza del rapporto di compressione:

$$r_{Pop} = \left( \frac{T_3}{T_1} \right)^{\frac{k}{2(k-1)}} = \sqrt{r_{Pmax}}$$

Ricordando poi che in una turbina isoentropica si ha:

$$\frac{T_3}{T_4} = \left( \frac{P_3}{P_4} \right)^{\frac{R}{c_P}} = \left( \frac{P_3}{P_4} \right)^{\frac{k-1}{k}}$$

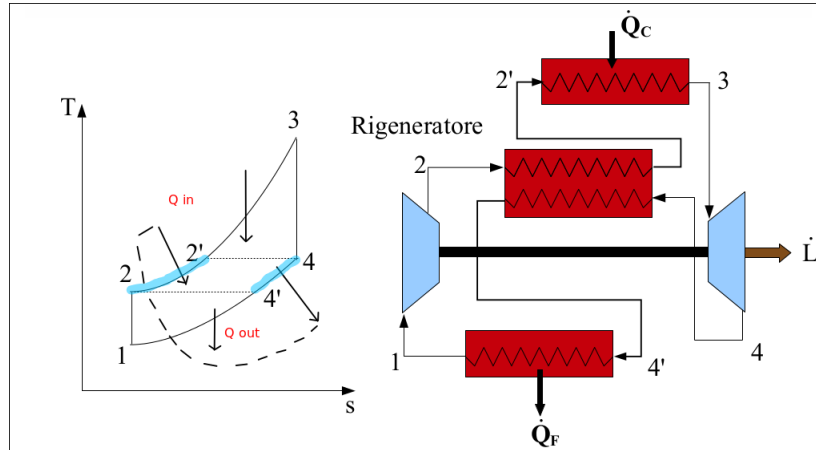
E inserendo in questa espressione al posto di  $\frac{P_3}{P_4}$  (pari a  $\frac{P_2}{P_1}$ ) il valore di  $r_{Pop}$  e sfruttando le proprietà dei cicli simmetrici si ottiene:

$$T_4 = T_2 = \sqrt{T_1 T_3}$$

Cioè il lavoro specifico è massimo nel ciclo in cui la temperatura di fine espansione coincide con quella di fine compressione.

### 13.1 Ciclo Joule-Brayton con Rigenerazione

Figure 45: *JB con Rigenerazione*

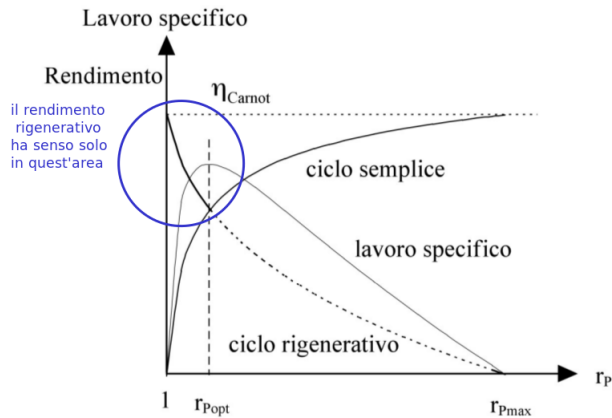


**Rendimento del ciclo rigenerato** ( $T_{2'} = T_4$ , gas perfetti e ciclo ideale simmetrico)

$$\eta_{rig} = 1 - \frac{\dot{L}}{\dot{Q}} = \frac{\dot{L}_t - \dot{L}_c}{\dot{Q}} = \frac{(T_3 - T_4) - (T_2 - T_1)}{(T_3 - T_4)} 1 - \frac{T_2 - T_1}{T_3 - T_4}$$

$$\eta_{rig} = 1 - \frac{T_2}{T_3} = 1 - \frac{T_2 T_1}{T_3 T_1} = 1 - \frac{T_1}{T_3} r_P^{\frac{k-1}{k}}$$

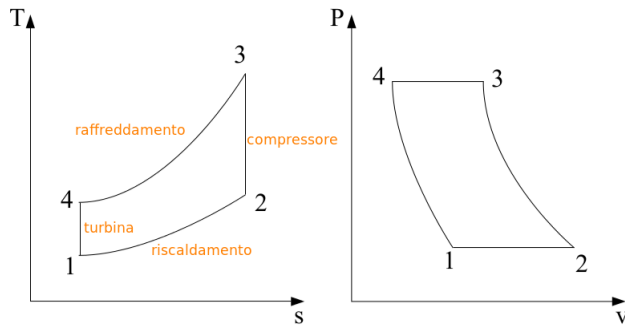
Figure 46: *Rendimento JB*



### 13.2 Ciclo Joule-Brayton inverso

Il ciclo Joule-Brayton inverso è un ciclo frigorifero costituito da due isoentropiche e due isobare.

Figure 47: *Joule-Brayton inverso*



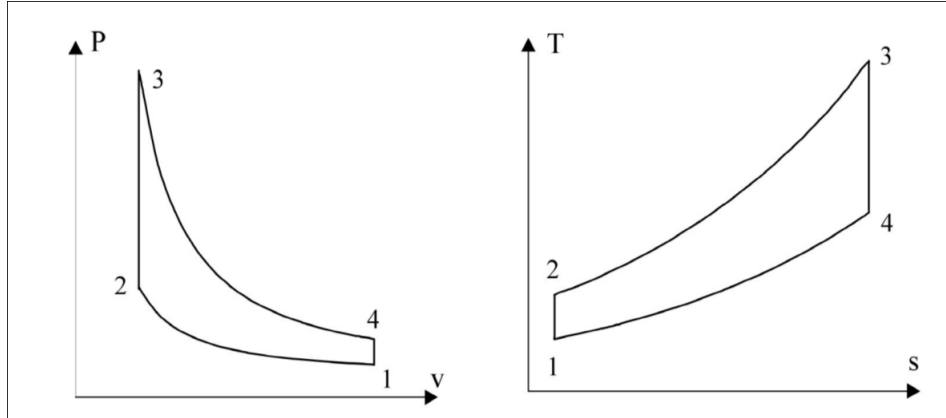
**Coefficiente di effetto utile** solo per cicli simmetrici

$$\epsilon = \frac{\dot{Q}_F}{\dot{Q}_C - \dot{Q}_F} = \left( \frac{T_2 - T_1}{(T_3 - T_4) - (T_2 - T_1)} \right) = \frac{T_2}{T_3 - T_2} = \frac{T_1}{T_4 - T_1} = \left( \frac{1}{r^{\frac{k-1}{k}} - 1} \right)$$

### 14 Ciclo Otto

Il ciclo Otto è un ciclo simmetrico costituito da due isoentropiche e due isocore.

Figure 48: Ciclo Otto



Il ciclo Otto ideale è costituito da quattro trasformazioni interamente reversibili:

1. compressione isoentropica
2. adduzione di calore a volume costante
3. espansione isoentropica
4. sottrazione di calore a volume costante.

#### Rendimento termodinamico del ciclo Otto (gas perfetti, ciclo ideale simmetrico)

Il calore addotto, considerando una trasformazione isocora, vale:

$$q_{in} = u_3 - u_2$$

Ritenendo costante il calore specifico nel range di temperatura ipotizzabile si ha:

$$q_{in} = u_3 - u_2 = c_v (T_3 - T_2)$$

Analogamente l'espressione del calore sottratto vale:

$$q_{out} = u_4 - u_1 = c_v (T_4 - T_1)$$

Il rendimento termodinamico del ciclo vale:

$$\eta_{th} = \frac{(q_{in} - q_{out})}{q_{in}} = 1 - \frac{q_{out}}{q_{in}} = 1 - \frac{T_4 - T_1}{T_3 - T_2} = 1 - \frac{T_1 \left( \frac{T_4}{T_1} - 1 \right)}{T_2 \left( \frac{T_3}{T_2} - 1 \right)} = 1 - \frac{T_1}{T_2}$$

$$\Delta s_{1-2} = c_v \ln \frac{T_2}{T_1} + R^* \ln \frac{V_2}{V_1} = 0$$

da cui:

$$\begin{aligned} \left( \frac{T_2}{T_1} \right)^{c_v} &= \left( \frac{V_1}{V_2} \right)^{R^*} \\ \left( \frac{T_2}{T_1} \right) &= \left( \frac{V_1}{V_2} \right)^{\frac{R^*}{c_v}} = r_{vol}^{\frac{R^*}{c_v}} = r_{vol}^{k-1} \end{aligned}$$

$$\eta_{otto} = 1 - r_{vol}^{1-k}$$

dove  $r_{vol}$  è il rapporto di compressione volumetrico  $\left( \frac{V_1}{V_2} \right)$ .

Ricordando che sia la compressione sia l'espansione sono assunte isoen-tropiche, si ha:

$$\frac{T_1}{T_2} = \left( \frac{v_2}{v_1} \right)^{k-1} = \left( \frac{v_3}{v_4} \right)^{k-1} = \frac{T_4}{T_3}$$

quindi:

$$\frac{T_4}{T_1} = \frac{T_3}{T_2}$$

e infine:

$$\eta_{th} = 1 - r^{1-k}$$

Ricapitolando:

- $r_{vol} = \frac{V_1}{V_2}$
- $\eta = \frac{L}{Q_C} = 1 - \frac{T_1}{T_2}$
- $\eta = 1 - \frac{1}{r_{vol}^{k-1}}$

Per quanto riguarda il lavoro specifico prodotto nel ciclo Otto si ha:

$$l = c_v (T_3 - T_4) - c_v (T_2 - T_1)$$

$$l = c_v T_3 \left( 1 - \frac{T_4}{T_3} \right) - c_v T_1 \left( \frac{T_2}{T_1} - 1 \right)$$

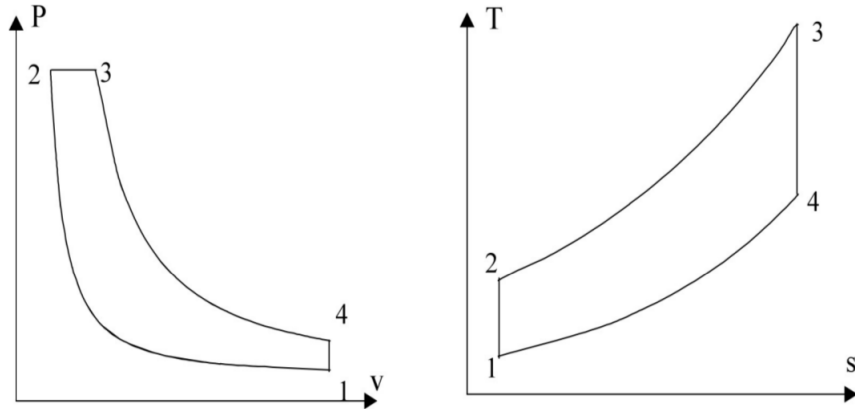
$$l = c_v T_3 \left( 1 - \frac{1}{r_v^{k-1}} \right) - c_v T_1 (r_v^{k-1} - 1)$$

## 15 Ciclo Diesel

Il ciclo Diesel è difficile da trattare; non è possibile applicare alcuni principi della simmetria del grafico. Per questo ciclo il parametro che ritorna utile è il rapporto tra volume iniziale e volume finale.

Il ciclo è costituito da due isoentropiche, una isocora e una isobara.

Figure 49: *Ciclo Diesel*



**Rendimento del ciclo (gas perfetto, ciclo ideale)**

$$\eta_{Diesel} = \frac{L}{Q_C} = 1 - \frac{c_v (T_4 - T_1)}{c_P (T_3 - T_2)} = 1 - \frac{c_v T_1 \left( \frac{T_4}{T_1} - 1 \right)}{c_P T_2 \left( \frac{T_3}{T_2} - 1 \right)}$$

ponendo  $r = \frac{V_1}{V_2}$  rapporto di compressione volumetrico, e  $z = \frac{V_3}{V_2}$  rapporto di combustione:

$$\eta_{Diesel} = 1 - \frac{1}{r^{k-1}} \frac{1}{k} \frac{(z^k - 1)}{z - 1}$$

Durante la trasformazione 1 – 2 isoentropica si ha:

$$\frac{T_1}{T_2} = \left( \frac{v_2}{v_1} \right)^{k-1} = r^{k-1}$$

Durante la trasformazione 2 – 3 isobara si ha:

$$z = \frac{V_3}{V_2} = \frac{T_3}{T_2}$$

$$|\Delta s_{2-3}| = |\Delta s_{4-1}| \left( \frac{T_3}{T_2} \right)^{c_p} = \left( \frac{T_4}{T_1} \right)^{c_v}$$

$$\frac{T_4}{T_1} = \left( \frac{T_3}{T_2} \right)^{\frac{c_p}{c_v}} = \left( \frac{T_4}{T_1} \right)^{c_v}$$

$$\frac{T_4}{T_1} = \left( \frac{T_3}{T_2} \right)^{\frac{c_p}{c_v}} = \left( \frac{V_3}{V_2} \right)^{\frac{c_p}{c_v}} = z^k$$

## 16 Ciclo Stirling

Il ciclo Stirling è costituito da due isoterme e due isocore.

## 17 Ciclo Ericson

Il ciclo Ericson è costituito da due isoterme e due isobare.

## Part V

## Cicli termodinamici a vapore

## 18 Caratteristiche del fluido di lavoro

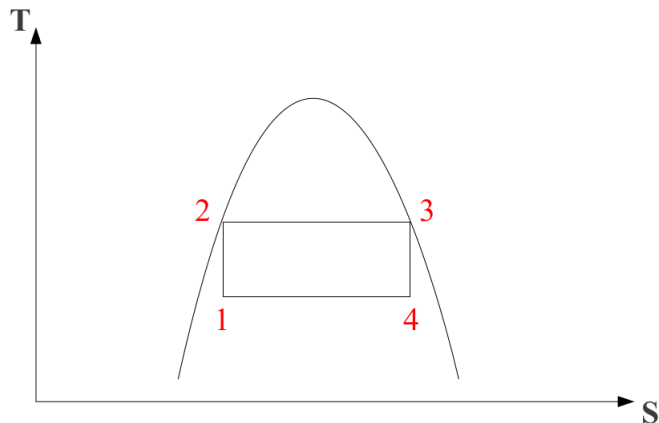
- Elevata massa volumica
- Elevata entalpia di transizione di fase
- Elevata temperatura critica

- Temperatura dello stato triplo inferiore alla temperatura minima del ciclo
- Fluido non corrosivo e non tossico
- Fluido chimicamente stabile
- Fluido facilmente reperibile e di basso costo
- Elevata pendenza nel piano  $T - S$  della curva limite superiore
- Pressione di condensazione superiore alla pressione atmosferica

## 18.1 Ciclo Motore a Vapore

### 18.1.1 Ciclo di Carnot

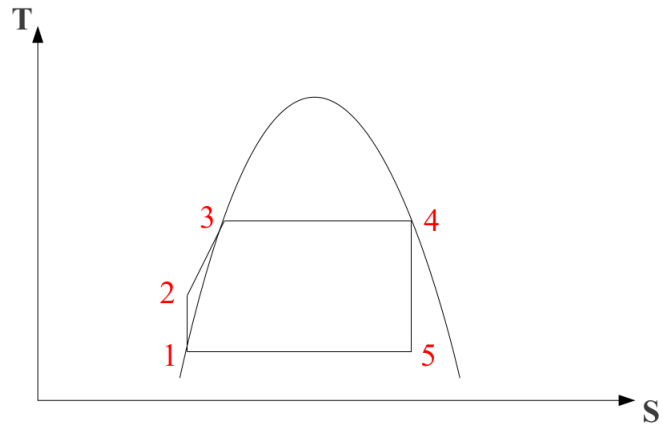
Figure 50: *Ciclo di Carnot*



Si potrebbe pensare di realizzare un ciclo di Carnot all'interno della curva di saturazione, il problema è però sulle isoentropiche. Le turbine che si potrebbe utilizzare si deteriorerebbero velocemente, questo per via dell'alta percentuale di vapore, ad esempio nel punto 4 in Figura 50.

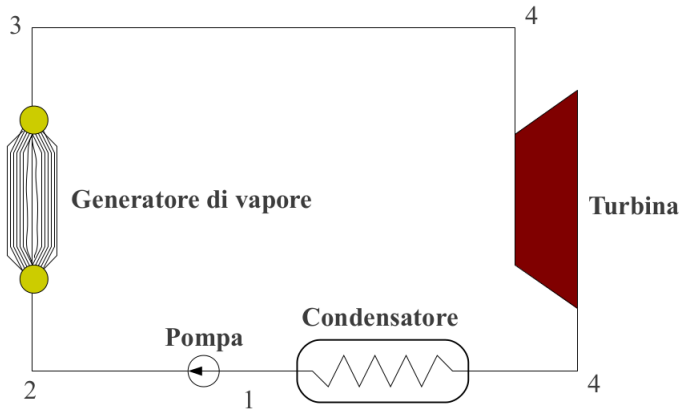
### 18.1.2 Ciclo Rankine semplice

Figure 51: *Ciclo Rankine semplice*



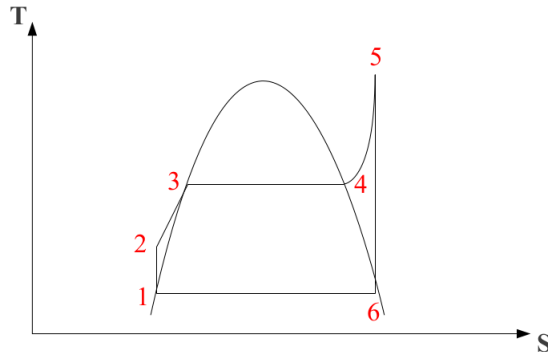
- $1 \rightarrow 2$ : applico una **pompa** e porto in pressione il liquido
- $2 \rightarrow 3$ : **scaldo** il materiale per passare da liquido sottoraffreddato a liquido saturo
- $3 \rightarrow 4$ : continuando a fornire **calore** raggiungo le condizioni di calore saturo
- $4 \rightarrow 5$ : in questo modo arrivo al punto 5 con il titolo molto minore del 100%

Figure 52: *Rankine*



### 18.1.3 Ciclo Rankine con surriscaldamento

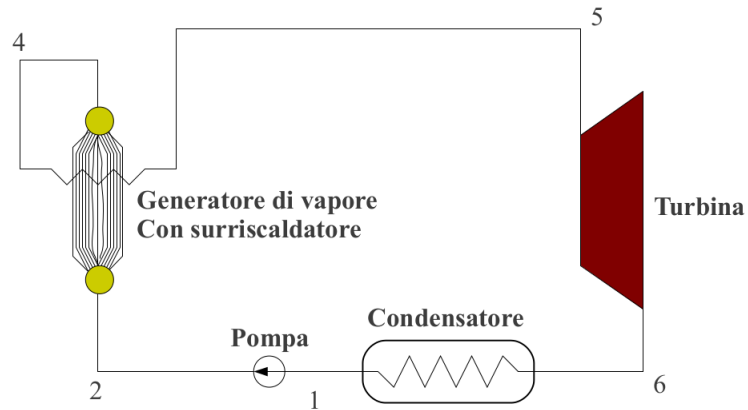
Figure 53: *Rankine surriscaldamento*



Nel Rankine con surriscaldamento i punti interessanti sono 1, 2, 5, 6. I punti 3 e 4 sono discontinuità grafiche ma in realtà fanno parte del processo di riscaldamento dal punto 2 al punto 5.

- nel tratto 4 → 5 continuo a scaldare e porto il sistema in condizioni di vapore surriscaldato
- nel tratto 5 → 6 espando (turbina) e riesco ad avvicinarmi ad un titolo del 100%

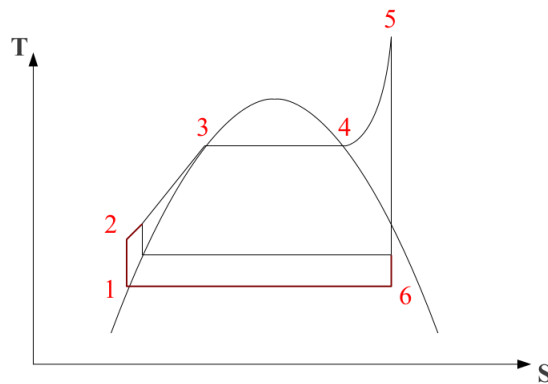
Figure 54: *Surriscaldamento*



#### Soluzioni per il miglioramento termodinamico del ciclo Rankine

- Riduzione della pressione di condensazione

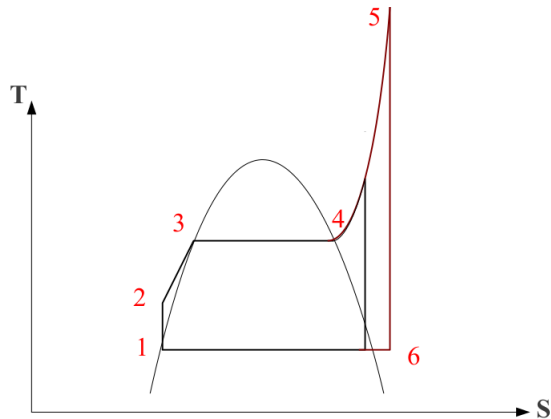
Figure 55: *Riduzione della pressione di condensazione*



Per migliorare il rendimento del ciclo bisogna aumentare l'area. Non bisogna scendere sotto la pressione atmosferica altrimenti entra aria. Inoltre si avrebbe un titolo più basso.

- Aumento della temperatura finale di surriscaldamento

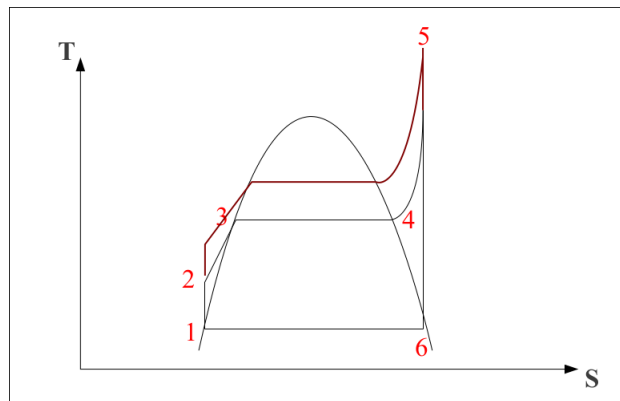
Figure 56: *Aumento della temperatura finale di surriscaldamento*



In questo caso surriscaldando fino al tratto in rosso da  $5 \rightarrow 6$  si rischia di rovinare i materiali.

- Aumento della pressione di vaporizzazione

Figure 57: *Aumento della pressione di vaporizzazione*



Poiché i riscaldamenti sono isobari:

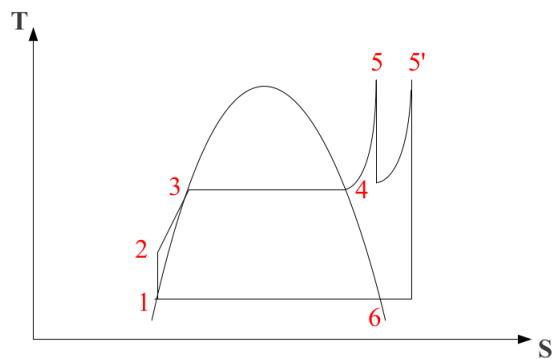
1.  $P_2 = P_3 = P_5$
2.  $P_4 = P_{5'}$

Al punto 5 si raggiunge la temperatura massima poi si espande fino ad una certa pressione ma anziché raggiungere la pressione di condensazione ricomincia a scaldare.

In realtà al punto 6 si espande fino a raggiungere la curva di saturazione.

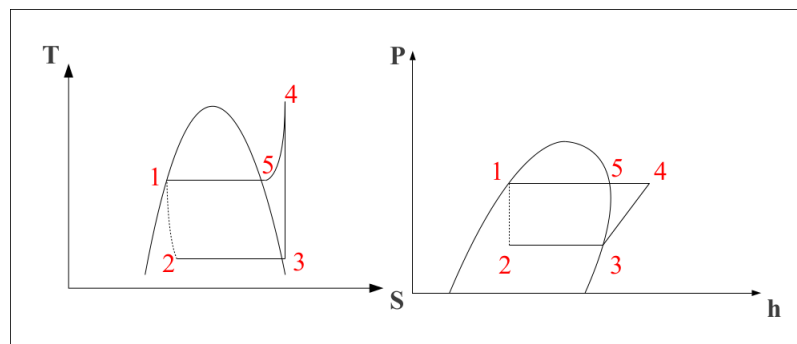
- Surriscaldamenti ripetuti

Figure 58: *Surriscaldamenti ripetuti*



#### 18.1.4 Ciclo frigorifero a vapore

Figure 59: *Ciclo frigorifero a vapore*



- $1 \rightarrow 2$  processo isoentralpico
- $2 \rightarrow 3$  evaporazione dino a raggiungere vapor saturo
- $3 \rightarrow 4$  compressione fino a vapore surriscaldato
- $5 \rightarrow 1$  raffreddamento

Figure 60: Schematizzazione

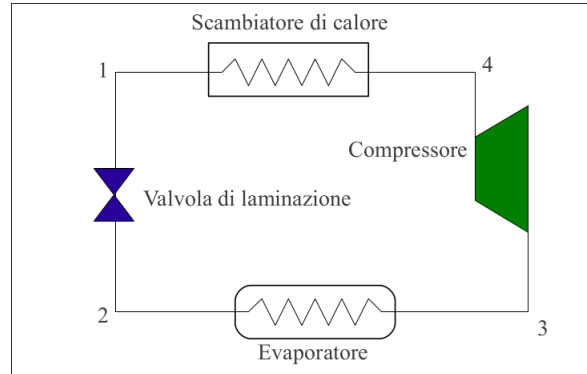
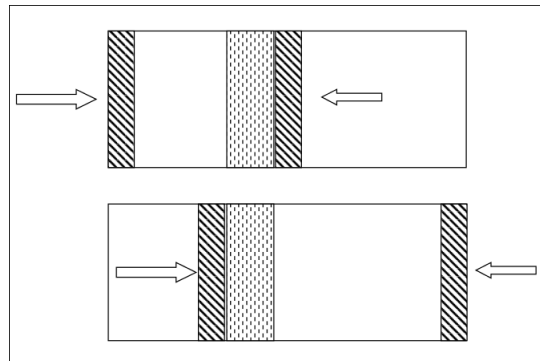


Figure 61: Effetto Joule-Thomson



### Effetto Joule Thomson

$$Q - L = \Delta U$$

$$-(-P_1V_1 + P_2V_2) = U_2 - U_1$$

$$U_1 + P_1V_1 = U_2 + P_2V_2$$

$$H_1 = H_2$$

$$\delta q + v dP = dh$$

$$\delta q_{rev} + Tds_{irr} + v dP = dh$$

$$Tds_{irr} + v dP = dh$$

$$ds_{irr} > 0, \quad dP < 0, \quad P_2 < P_1$$

La proprietà misurata nel corso dell'esperimento è il rapporto tra la variazione di temperatura e quella della pressione, ad  $H$  costante. Se passiamo al limite  $\Delta P$  che tende a zero otteniamo il coefficiente di Joule Thomson.

$$\mu_{JT} = \left( \frac{\partial T}{\partial P} \right)_H$$

Ossia la derivata parziale della temperatura in funzione della pressione in condizioni isentalpiche. Per il gas perfetto  $\mu = 0$  ciò vuol dire che l'espansione secondo Joule-Thomson non ne modifica la temperatura. I gas reali presentano coefficienti di Joule-Thomson non nulli. Il coefficiente di Joule Thomson è positivo quando si osserva il raffreddamento del gas infatti  $dP$  è sempre negativa. È negativo quando il gas si scalda a seguito dell'espansione poichè  $dT$  diviene una quantità positiva. I gas presentano una temperatura di inversione alla quale  $\mu$  cambia segno.

### Spiegazione fisica

Quando un gas si espande la distanza media tra le sue molecole aumenta. Data la presenza di forze attrattive intermolecolari, l'espansione causa un aumento di energia potenziale del gas. Se non viene estratto lavoro dal sistema durante il processo di espansione ("espansione libera") e non viene trasferito calore, l'energia totale del gas rimane la stessa per la conservazione dell'energia. L'aumento di energia potenziale produce quindi una diminuzione dell'energia cinetica e quindi una diminuzione di temperatura del gas. Un altro meccanismo ha invece effetti opposti: durante le collisioni tra le molecole del gas, l'energia cinetica viene temporaneamente convertita in energia potenziale. Mentre la distanza intermolecolare media aumenta, c'è una diminuzione del numero di collisioni per unità di tempo, che causa a sua volta una diminuzione dell'energia potenziale media. Dato che l'energia totale viene conservata questo comporta un aumento dell'energia cinetica (e quindi della temperatura). Se domina il primo effetto (lavoro interno fatto contro le forze attrattive intermolecolari) l'espansione libera causa una diminuzione della temperatura. Se domina il secondo effetto (diminuzione dell'energia potenziale associata alle collisioni) l'espansione libera provoca un aumento di temperatura.

## Part VI

# Trasmissione del calore

Il calore  $Q$  (come del resto il lavoro) non è una proprietà del sistema, ma una forma di energia in transito. Si può quindi dire che un sistema possiede energia (ad esempio energia interna  $U$ , energia cinetica  $E_c$  o energia potenziale  $E_p$ ), ma si deve dire che un sistema scambia energia sotto forma di calore con un altro sistema. Questa quantità di calore scambiata può essere quantificata.

### Quando avviene uno scambio di calore?

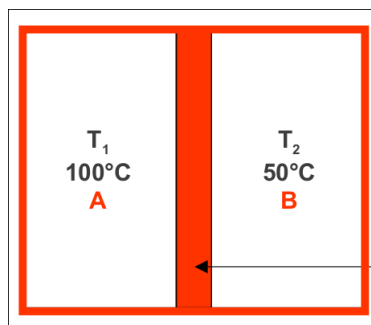
Il passaggio di calore da un sistema ad un altro può avvenire se sono soddisfatte le seguenti condizioni:

- I due sistemi si devono trovare a temperature diverse
- Non devono essere separati da una parete adiabatica

### Come avviene uno scambio di calore?

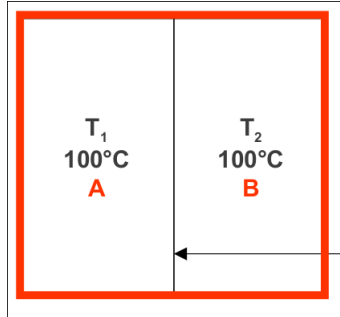
- Per il primo principio la quantità di calore trasferito ad un sistema (se  $L = 0$ ) egualgia l'entità dell'incremento di energia del sistema stesso.
- Per il secondo principio il calore si propaga nella direzione delle temperature decrescenti, da una regione ad alta temperatura ad una regione a bassa temperatura.

Figure 62: Parete e contorno adiabatici



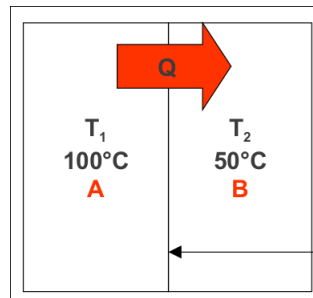
Nella Figura 62 il sistema A ed il sistema B rimarranno alla stessa temperatura  $Q_{AB} = 0$ . Il sistema A è isolato termicamente dal sistema B.

Figure 63: Parete diatermica



Nella Figura 63  $Q_{AB} = 0$ . I sistemi, pur non essendo termicamente isolati, si trovano alla stessa temperatura.

Figure 64: Parete diatermica



Nella Figura 64  $Q_{AB} > 0$ . Se non interverranno altri fattori, dopo un certo periodo di tempo,  $T_1 = T_2$ , dopo di che  $Q_{AB} = 0$ .

La trasmissione del calore focalizza l'indagine sugli scambi sotto forma di  $Q$ , si trascurano gli effetti degli scambi energetici in lavoro. Nei problemi pratici quello che interessa maggiormente è la **rapidità con cui avviene lo scambio**, piuttosto che la quantità di calore scambiata.

**Esempio del thermos** Dopo quanto tempo il caffè che si trova inizialmente a  $90^\circ\text{C}$  raggiunge gli  $80^\circ\text{C}$ ?

- L'analisi termodinamica ci consente di valutare la quantità di calore scambiato ma non il tempo
- La trasmissione del calore ci consente di valutarne anche il tempo

**Oggetto della trasmissione del calore** La determinazione della velocità di propagazione del calore verso o da un sistema e quindi i tempi di raf-

freddamento e di riscaldamento, così come la variazione di temperatura costituiscono l'oggetto della trasmissione del calore.

Considerando che il calore non si distribuisce istantaneamente in tutti i punti del sistema, può accadere che:

- All'interno di un sistema possono stabilizzarsi condizioni diverse di temperatura da un punto ad un altro e di conseguenza può permanere un flusso di calore da un punto ad un altro
- In un sistema la temperatura in un punto può variare nel tempo o rimanere costante e cioè il sistema può essere in regime variabile o permanente

**Trasmissione del calore** La trasmissione del calore si occupa dello studio dell'insieme di leggi che governano il passaggio di calore da un sistema ad un altro o da un punto ad un altro di uno stesso sistema, dei dispositivi coinvolti negli scambi di calore e delle leggi che danno la distribuzione di temperatura all'interno di un sistema in funzione dello spazio e del tempo.

## 19 Trasmissione del calore: generalità

Quando si conosce la potenza scambiata  $\dot{Q}$ , la quantità totale di calore scambiato  $Q$  durante un intervallo di tempo  $\Delta\tau$  si può determinare con la relazione:

$$Q = \int_0^\tau \dot{Q} d\tau$$

**Flusso termico** Si definisce flusso termico la potenza riferita ad una superficie di aria unitaria. Il flusso termico medio (**flusso termico areico**) su una superficie si esprime:

Nel caso particolare in cui  $\dot{Q}$  sia costante:  

$$Q = \dot{Q} \cdot \Delta\tau$$

$$\Phi \left[ \frac{W}{m^2} \right] = \frac{\dot{Q}}{A}$$

**Flusso di calore** Il flusso di calore può essere definito dalla relazione:

$$\varphi = f(\text{parametro}, \Delta T)$$

**parametro** coefficiente che tiene conto della maggiore o minore facilità, con la quale, a parità di  $\Delta T$ , ha luogo il trasferimento di calore;  $\Delta T$ : differenza di temperatura.

## 19.1 La conduzione: in breve

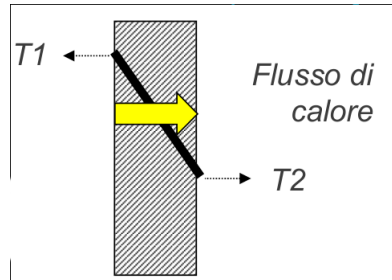
**Conduzione** La conduzione è il trasferimento di energia che si verifica per effetto dell'interazione delle particelle di una sostanza dotata di maggiore energia con quelle adiacenti dotate di minore energia. Può avvenire:

- nei liquidi
- nei solidi
- nei gas

$$\vec{q} = -k \nabla T$$

- Nei liquidi e nei gas la conduzione è dovuta alla collisione delle molecole nel loro moto caotico
- Nei solidi è dovuta alla vibrazione delle molecole all'interno del reticolo e al trasporto di energia da parte degli elettroni liberi

Figure 65: *Conduzione*



**Ad esempio** La potenza termica trasmessa per conduzione attraverso una lastra piana indefinita di spessore costante è data da:

$$\dot{Q}_{COND} = -kA \frac{\Delta T}{\Delta x}$$

dove:

- $\dot{Q}_{COND}$  è la potenza termica trasmessa per conduzione [W]
  - $k$  è la costante di proporzionalità o conducibilità termica del materiale  $\left[\frac{W}{mK}\right]$
  - $A$  è la superficie normale alla direzione di trasmissione del calore [ $m^2$ ]
  - $\Delta x$  è lo spessore [m]
  - $\Delta T$  è la differenza di temperatura [K] o °C

## 19.2 La convezione: in breve

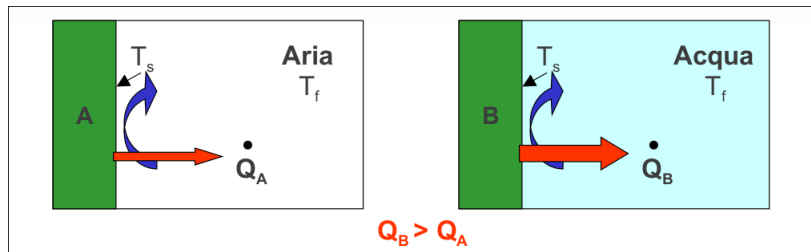
**La convezione** La convezione è il trasferimento di energia tra una superficie solida e un fluido adiacente in movimento.

- Implica gli effetti combinati di conduzione e trasporto di massa
- Il calore trasmesso per convezione aumenta con la velocità del fluido

**Convezione forzata** Avviene quando il fluido è forzato a scorrere su una superficie da mezzi esterni (ad esempio un ventilatore).

**Convezione naturale ( o libera )** Avviene quando il moto del fluido è causato da forze ascensionali che sono indotte dalle differenze di densità dovute alla variazione di temperatura del fluido in un campo gravitazionale.

Figure 66: *Convezione*



La potenza termica trasmessa per convezione è espressa dalla relazione (Legge di Newton):

$$\dot{Q}_{CONV} = hA(T_s - T_f)$$

dove:

- $h$  è il coefficiente di scambio termico convettivo  $\left[\frac{W}{m^2 K}\right]$
- $A$  è la superficie normale al flusso  $[m^2]$
- $T_s$  è la temperatura solido  $[K]$
- $T_f$  è la temperatura fluido  $[K]$

## 19.3 L'irraggiamento: in breve

**Irraggiamento** L'irraggiamento è il trasferimento di energia che avviene attraverso le onde elettromagnetiche (o fotoni) prodotte da variazioni nelle configurazioni elettroniche degli atomi e delle molecole.

- Non richiede la presenza di un mezzo interposto (quindi avviene anche nel vuoto)
- Avviene alla velocità della luce
- Tutti i corpi a temperatura superiore allo zero termico emettono radiazione termica

La potenza massima termica trasmessa per irraggiamento da una superficie a temperatura assoluta  $T_s$  è data dalla Legge di *Stefan Boltzmann*.

### 19.3.1 Legge di Stefan Boltzmann

La legge di Stefan Boltzmann afferma che la potenza trasmessa da un'area  $A$  di un corpo ideale (detto **corpo nero**) è:

$$\dot{Q}_{e_{max}} = \sigma A (T_s)^4$$

**Potenza emessa per irraggiamento** La potenza emessa per irraggiamento da una qualsiasi superficie reale è invece data dalla relazione:

$$\dot{Q}_{emiss} = \epsilon \sigma A (T_s)^4$$

dove:

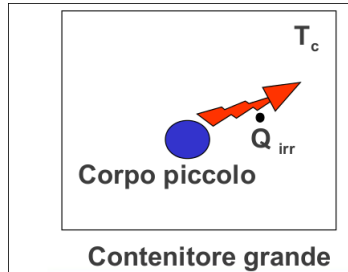
- $\epsilon$  è l'emissività della superficie il cui valore, compreso tra 0 e 1, è la misura di quanto il comportamento di una superficie si approssima a quella del corpo nero, per il quale  $\epsilon = 1$

### 19.3.2 Potenza termica netta

**Potenza termica netta** Poiché nei corpi reali non tutta la radiazione elettromagnetica incidente viene riflessa si definisce potenza termica netta per irraggiamento la differenza tra la potenza termica radiante emessa e quella assorbita da una superficie. La determinazione della potenza termica netta scambiata è complessa in quanto dipende da numerosi fattori quali:

- Proprietà delle superfici
- Orientamento relativo
- Caratteristiche del mezzo tra le due superfici che irraggiano

Figure 67: *Irraggiamento*



Il caso di una superficie piccola è semplice:

$$\dot{Q}_{IRR} = \epsilon \sigma A (T_s^4 - T_c^4)$$

## 20 Conduzione

**Definizione** Per conduzione termica si intende la trasmissione di calore per contatto molecolare diretto. Il principio alla base della conduzione è diverso a seconda della struttura fisica del corpo: se la conduzione termica avviene nei gas è dovuta alla diffusione atomica e molecolare, se invece avviene nei liquidi e nei solidi è a causa di onde elastiche; nei materiali metallici il fenomeno è principalmente dovuto alla diffusione degli elettroni liberi dato che è trascurabile il contributo dell'oscillazione elastica del reticolo cristallino.

### 20.1 Equazione di Fourier

$$\bar{\nabla} = \vec{i} \frac{\partial}{\partial x} + \vec{j} \frac{\partial}{\partial y} + \vec{k} \frac{\partial}{\partial z}$$

$$\bar{\nabla} T = grad T = \vec{i} \frac{\partial T}{\partial x} + \vec{j} \frac{\partial T}{\partial y} + \vec{k} \frac{\partial T}{\partial z}$$

$$\bar{\nabla} \cdot \vec{v} = div \vec{v}$$

$$\bar{\nabla} \times \vec{v} = rot \vec{v}$$

$$\begin{aligned}
(\bar{\nabla} \cdot \bar{\nabla}) T &= \text{laplaciano di } T = \\
&= \left( \vec{i} \frac{\partial}{\partial x} + \vec{j} \frac{\partial}{\partial y} + \vec{k} \frac{\partial}{\partial z} \right) \cdot \left( \vec{i} \frac{\partial T}{\partial x} + \vec{j} \frac{\partial T}{\partial y} + \vec{k} \frac{\partial T}{\partial z} \right) = \\
&= \frac{\partial^2 T}{\partial x^2} + \frac{\partial^2 T}{\partial y^2} + \frac{\partial^2 T}{\partial z^2}
\end{aligned}$$

Definendo:

- $\vec{q}$  = vettore flusso di calore  $[\frac{W}{m^2}]$
- $k$  = conduttività termica  $[\frac{W}{mK}]$
- $\sigma$  = potenza generata nell'unità di volume  $[\frac{W}{m^3}]$

Si può scrivere:

$$\begin{aligned}
\frac{d}{dt} \int_v u dm &= \sum \dot{Q}^\leftarrow + \dot{Q}_{gen} = \\
&= \frac{d}{dt} \int_v c_v T \rho dV = \\
&= - \int_S \vec{q} \cdot \vec{n} dS + \int_v \sigma dV
\end{aligned}$$

Per il teorema della divergenza:

$$\frac{d}{dt} \int_v c_v T \rho dV = - \int_v \operatorname{div} \vec{q} dV + \int_v \sigma dV$$

Ed essendo, per il postulato di Fourier:

$$\vec{q} = -k \operatorname{grad} T$$

$$\frac{d}{dt} \int_v c_v T \rho dV = - \int_v \operatorname{div} (-k \operatorname{grad} T) dV + \int_v \sigma dV$$

Poiché  $V$  non è funzione di  $T$  e ipotizzando che  $k$  non dipenda dalla posizione:

$$\begin{aligned}
\int_v \frac{\partial}{\partial t} c_v \rho T dV - \int_v k \nabla^2 T dV - \int_v \sigma dV &= 0 \\
\int_v \left( \frac{\partial}{\partial t} c_v \rho T - k \nabla^2 T - \sigma \right) dV &= 0
\end{aligned}$$

Deve valere per ogni  $dV$ :

$$\frac{\partial}{\partial t} (c_v \rho T) = k \nabla^2 T + \sigma$$

Ed infine si ricava l'**equazione di Fourier**:

$$\frac{\rho c_v}{k} \frac{\partial T}{\partial t} = \nabla^2 T + \frac{\sigma}{k}$$

L'equazione di bilancio energetico (equazione di Fourier) è una equazione differenziale alle derivate parziali, lineare in  $T = (x, y, z, t)$  del 2° ordine rispetto a  $x, y, z$  e del 1° ordine rispetto a  $t$ .

### 20.1.1 Casi particolari dell'equazione di Fourier

1. Assenza di generazione di potenza

$$\sigma = 0 \rightarrow \nabla^2 T = \frac{\rho c_v}{k} \frac{\partial T}{\partial t}$$

2. Regime stazionario (e prende il nome di **equazione di Poisson**)

$$\frac{\partial T}{\partial t} = 0 \rightarrow \nabla^2 T + \frac{\sigma}{k} = 0$$

3. **Equazione di Laplace**

$$\sigma = 0; \frac{\partial T}{\partial t} = 0 \rightarrow \nabla^2 T = 0$$

## 20.2 Sistemi di coordinate

Nell'impostare il problema differenziale è importante scegliere il sistema di coordinate che permetta di eliminare una o più variabili indipendenti.

### 20.2.1 Coordinate cartesiane

$$\frac{\partial^2 T}{\partial x^2} + \frac{\partial^2 T}{\partial y^2} + \frac{\partial^2 T}{\partial z^2} + \frac{\sigma(x, y, z, t)}{k} = \frac{\rho c_v}{k} \frac{\partial T}{\partial t}$$

**Caso particolare dotato di simmetria (geometria + condizioni al contorno)**

Parete piana infinita secondo le direzioni  $y$  e  $z$ ,  $T = T(x)$

$$\frac{\partial^2 T}{\partial x^2} + \frac{\sigma(x, t)}{k} = \frac{\rho c_v}{k} \frac{\partial T}{\partial t}$$

Che in caso di regime stazionario diventa:

$$\frac{\partial^2 T}{\partial x^2} + \frac{\sigma}{k} = 0 \rightarrow \int dx \frac{\partial T}{\partial x} = -\frac{\sigma}{k} \cdot x + A$$

$$T = -\frac{\sigma}{2k}x^2 + Ax + B$$

$$\dot{q} = -k \cdot \frac{\partial T}{\partial x} = -k \left( -\frac{\sigma}{k} \cdot x - A \right) = \sigma \cdot x - A \cdot k$$

**Lastra piana monostrato senza generazione di potenza** In assenza di generazione di potenza, ponendo le seguenti condizioni al contorno:

$$\begin{cases} T = T_1 & x = 0 \\ T = T_2 & x = s \end{cases}$$

Quindi:

$$T_1 = B$$

$$T_2 = A \cdot s + T_1$$

Ricavando  $A$ :

$$A = \frac{T_2 - T_1}{s}$$

Si ottiene:

$$T = A \cdot x + B = \frac{T_2 - T_1}{s} \cdot x + T_1$$

$$\dot{q} = -k \cdot \frac{\partial T}{\partial x} = -k \cdot \left( \frac{T_2 - T_1}{s} \right) = -\frac{\Delta T}{R}$$

### 20.2.2 Coordinate cilindriche

$$\frac{\partial^2 T}{\partial r^2} + \frac{1}{r} \frac{\partial T}{\partial r} + \frac{1}{r^2} \frac{\partial^2 T}{\partial \phi^2} + \frac{\partial^2 T}{\partial z^2} + \frac{\sigma(r, \phi, z, t)}{k} = \frac{\rho c_v}{k} \frac{\partial T}{\partial t}$$

**Caso particolare dotato di simmetria (geometria + condizioni al contorno)**

**Cilindro pieno o cavo di altezza infinita,**  $T = T(r)$

$$\frac{\partial^2 T}{\partial r^2} + \frac{1}{r} \frac{\partial T}{\partial r} + \frac{\sigma(r, t)}{k} = \frac{\rho c_V}{k} \frac{\partial T}{\partial t}$$

Che in caso di regime stazionario diventa:

$$T = -\frac{\sigma}{4k} r^2 + A \ln \frac{r}{B} = -\frac{\sigma}{4k} r^2 + A \ln r + C$$

#### Cilindro indefinito

Il flusso termico dipende solo dal flusso radiale:

$$\frac{\partial^2 T}{\partial r^2} + \frac{1}{r} \cdot \frac{\partial T}{\partial r} + \frac{\sigma}{k} = 0$$

$$\frac{1}{r} \cdot \frac{\partial (\frac{\partial T}{\partial r} \cdot r)}{\partial r} = -\frac{\sigma}{k}$$

$$\rightarrow \frac{\partial (\frac{\partial T}{\partial r} \cdot r)}{\partial r} = -\frac{\sigma}{k} \cdot r$$

$$\rightarrow \int dx \ r \cdot \left( \frac{\partial T}{\partial r} \right) = -\frac{\sigma}{2k} \cdot r^2 + C$$

$$\left( \frac{\partial T}{\partial r} \right) = -\frac{\sigma}{2k} \cdot r + \frac{C}{r} \rightarrow \int dx \ T = -\frac{\sigma}{4k} \cdot r^2 + C \cdot \ln(r) + D$$

$$\dot{q} = -k \frac{\partial T}{\partial r} = -k \left( -\frac{\sigma}{2k} \cdot r + \frac{C}{r} \right) = \frac{\sigma}{2} \cdot r - \frac{k}{r} \cdot C$$

### Barra cilindrica piena (con generazione di potenza)

Ponendo le seguenti condizioni al contorno:

$$T = -\frac{\sigma}{4k} \cdot r^2 + C \cdot \ln(r) + D \rightarrow \frac{\partial}{\partial r} \frac{\partial T}{\partial r} = -\frac{\sigma}{2k} \cdot r + \frac{C}{r}$$

$$\begin{cases} \frac{\partial T}{\partial r} = 0 & r = 0 \\ T = T_2 & r = R \end{cases}$$

Quindi:

$$\frac{\partial T}{\partial r} \Big|_{r=0} = 0 \rightarrow C = 0$$

$$T = -\frac{\sigma}{4k} \cdot (R^2 - r^2) + T_2 \rightarrow \frac{\partial}{\partial r} \frac{\partial T}{\partial r} = -\frac{\sigma}{2k} \cdot r$$

$$\dot{q}_{areico} = -k \frac{\partial T}{\partial r} = \frac{\sigma}{2} \cdot r$$

$$\dot{q}_{per\ unità\ di\ lunghezza} = \pi r^2 \sigma$$

$$\dot{Q} = \dot{q} \cdot area\ scambio\ termico = \frac{\sigma}{2} r \cdot 2\pi r L = \pi r^2 L \sigma = V \sigma$$

### Cilindro cavo (senza generazione di potenza)

Ponendo le seguenti condizioni al contorno:

$$\begin{cases} T = T_i & r = R_i \\ T = T_e & r = R_e \end{cases}$$

Quindi si ha:

$$\begin{cases} T_i = C \ln(R_i) + D \\ T_e = C \ln(R_e) + D \end{cases}$$

Facendo la differenza tra  $T_e$  e  $T_i$ :

$$T_e - T_i = C (\ln(R_e) - \ln(R_i))$$

Quindi si ricava  $T$ :

$$\begin{aligned} T &= C \cdot \ln(r) + D = \frac{T_e - T_i}{\ln\left(\frac{R_e}{R_i}\right)} \cdot \ln(r) + T_i - \frac{T_e - T_i}{\ln\left(\frac{R_e}{R_i}\right)} \cdot \ln(R_i) = \\ &= T_i + \frac{T_e - T_i}{\ln\left(\frac{R_e}{R_i}\right)} \cdot \ln\left(\frac{r}{R_i}\right) \end{aligned}$$

Per  $\dot{q}_{areico}$ :

$$\dot{q}_{areico} = -k \frac{\partial T}{\partial r} = k \frac{(T_i - T_e)}{\ln\frac{R_e}{R_i}} \cdot \frac{1}{r}$$

Per  $\dot{q}_{per\, unità\, di\, lunghezza}$ :

$$\dot{q}_{per\, unità\, di\, lunghezza} = \frac{2\pi k}{\ln\frac{R_e}{R_i}} (T_i - T_e)$$

E infine:

$$\dot{Q} = k \frac{T_i - T_e}{\ln\frac{R_e}{R_i}} \cdot \frac{1}{r} \cdot 2\pi r L = k \frac{T_i - T_e}{\ln\frac{R_e}{R_i}} 2\pi L = cost$$

### 20.2.3 Coordinate sferiche

$$\frac{\partial T}{\partial r^2} + \frac{2}{r} \frac{\partial T}{\partial r} + \frac{1}{r^2} \frac{\partial^2 T}{\partial \theta^2} + \frac{\coth \theta}{r^2} \frac{\partial T}{\partial \theta} + \frac{1}{r^2 \sin^2 \theta} \frac{\partial^2 T}{\partial \phi^2} + \frac{\sigma(r, \theta, \phi, t)}{k} = \frac{\rho c_v}{k} \frac{\partial T}{\partial t}$$

**Caso particolare dotato di simmetria (geometria + condizioni al contorno)**

**Sfera piena o cava,  $T = T(r)$**

$$\frac{\partial T}{\partial r^2} + \frac{2}{r} \frac{\partial T}{\partial r} + \frac{\sigma(r, t)}{k} = \frac{\rho c_v}{k} \frac{\partial T}{\partial t}$$

Che in caso di regime stazionario:

$$T = -\frac{\sigma}{6k}r^2 + \frac{A}{r} + B$$

### 20.3 Conduzione attraverso una parete

Considerando costanti le temperature dell'aria all'interno e all'esterno dell'edificio, la trasmissione del calore per Conduzione attraverso una parete di un edificio può essere considerata:

- Stazionaria
- Mono dimensionale

Se non vi è alcuna generazione interna di calore, per il primo principio:

- Pot. Termica entrante - Pot. Termica Uscente = Pot. Termica acc ovvero:

$$\dot{Q}_e - \dot{Q}_u = \frac{dE_{parete}}{dt} \text{ Condizione al contorno}$$

Poiché in condizioni stazionarie la potenza termica accumulata deve essere nulla, il flusso termico attraverso la parete deve essere costante.

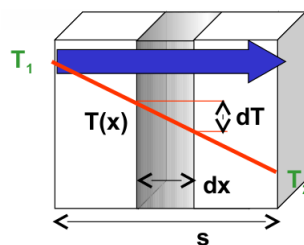
$$\dot{Q}_{cond} = cost$$

in quanto il flusso termico entrante deve uguagliare il flusso termico uscente.

In condizioni stazionarie e in assenza di generazione interna, la distribuzione di temperatura in una parete piana è una linea retta:

$$T = Ax + B$$

Figure 68: *Conduzione attraverso una parete*



Separando le variabili nell'equazione di Fourier e integrando da  $x = 0$  dove  $T(0) = T_1$  a  $x = s$  dove  $T(s) = T_2$ , si ottiene:

$$\int_{x=0}^s \dot{Q}_{cond} dx = - \int_{T=T_1}^{T_2} k A dT$$

$$\dot{Q}_{cond} = - \frac{kA}{s} \Delta T$$

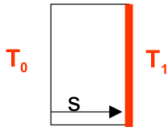
Dove:

- $\frac{k}{s}$  = conduttanza della parete  $\left[ \frac{W}{m^2 K} \right]$
- $\frac{s}{k}$  = resistenza termica specifica della parete al passaggio del calore  $\left[ \frac{m^2 K}{W} \right]$  (resistenza termica specifica=resistenza termica, d'ora in avanti)

La proporzionalità diretta tra la quantità di calore e l'incremento di temperatura a parità di spessore è dimostrabile dalla seguente esperienza.

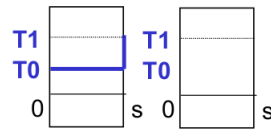
Si porta istantaneamente la faccia destra di una lastra ad una temperatura  $T_1 > T_0$

Figure 69: Conduzione (1)



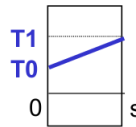
Durante il transitorio  $T$  è funzione, oltre che della coordinata  $s$  anche del tempo  $\tau$ . Non si è quindi in regime stazionario o permanente

Figure 70: Conduzione (2)



Nella condizione a regime l'andamento del profilo delle temperature è lineare

Figure 71: Conduzione (3)



La relazione  $\dot{Q}_{cond} = -\frac{kA}{s}\Delta T$ , avendo posto  $\frac{s}{k} = R_c$  resistenza termica, può anche essere espressa nella forma:

$$\dot{Q}_{cond} = -\frac{1}{R_c}A\Delta T$$

dalla quale si evidenzia come  $\dot{Q}_{cond}$  sia inversamente proporzionale alla resistenza termica del materiale.

La resistenza termica a sua volta è:

- direttamente proporzionale allo spessore della parete
- inversamente proporzionale alla conducibilità  $\lambda$  della parete

A parità di spessore, offriranno una maggiore resistenza termica al passaggio di calore le pareti costituite da materiali con  $\lambda$  più piccola.

### 20.3.1 Parete piana monostrato

Abbiamo esaminato il fenomeno della trasmissione del calore per Conduzione ed abbiamo appreso che, considerando che in una parete piana:

- il flusso di calore sia mono direzionale, ossia normale alla superficie della parete
- non vi sia alcuna generazione interna di calore
- il regime sia stazionario, ossia che sia superata la fase transitoria e che la distribuzione delle temperature all'interno della parete non risenta del tempo  $t$ .

La quantità di calore che attraversa la parete nell'unità di tempo, (la potenza termica) integrando la relazione di Fourier, risulta:

$$\dot{Q}_{cond} = -\frac{kA}{s}\Delta T$$

$$\dot{Q}_{cond} = -\frac{1}{R_{tot}}A\Delta T$$

$$R_{tot} = \sum \frac{s_n}{k_n}$$

$R_T$  è la resistenza termica totale, ossia la sommatoria delle resistenze di ogni singolo strato di materiale considerato isotropo.

La resistenza al passaggio di calore per conduzione è direttamente proporzionale allo spessore  $S$  ed inversamente proporzionale alla conducibilità termica  $k$ .

### 20.3.2 Modellizzazione parete cilindrica Indefinita

Ipotizzando che la trasmissione di calore avvenga in direzione radiale e stazionariamente

$$\dot{Q} = -kA \frac{dT}{dr}$$

$$\vec{q} = -kgradT$$

Separando le variabili nell'equazione di Fourier, ricordando che l'area attraverso la quale viene scambiato il calore è quella laterale del cilindro, e integrando da  $r = r_1$  dove  $T(r_1) = T_1$  a  $r = r_2$  dove  $T(r_2) = T_2$ , si ottiene:

$$\begin{aligned} \int_{r_1}^{r_2} \frac{\dot{Q}}{A} &= - \int_{T_1}^{T_2} k \frac{dT}{dr} \\ \frac{\dot{Q}}{2\pi L} \int_{r_1}^{r_2} \frac{dr}{r} &= -k \int_{T_1}^{T_2} dT \\ \dot{Q} &= \frac{-2\pi L k}{\ln \frac{r_2}{r_1}} \Delta T \\ \dot{Q}_{cond} &= -\frac{1}{R_{tot}} \Delta T \\ R_{cilindro} &= \frac{\ln \frac{r_2}{r_1}}{2\pi L k} \end{aligned}$$

### 20.3.3 Modellizzazione per sfere

Con procedimento analogo ai cilindri, per le sfere ( $A = 4\pi r^2$ ) si ottiene:

$$\dot{Q} = 4\pi r_1 r_2 k \frac{(T_1 - T_2)}{(r_2 - r_1)}$$

## 21 Convezione

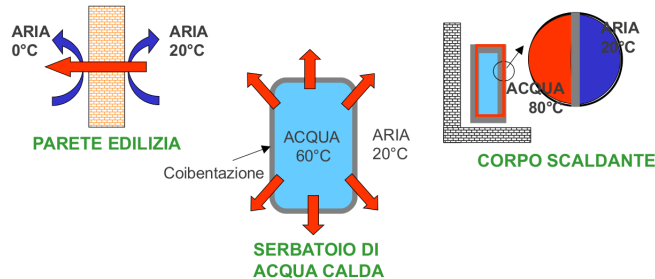
### Definizione

La convezione identifica il trasporto di energia associato al moto macroscopico del sistema: è quindi un processo che si verifica tra la superficie di un corpo ed un fluido in moto relativo. Si può classificare in due tipologie:

- CONVEZIONE FORZATA: il moto del fluido è imposto da un agente esterno
- CONVEZIONE NATURALE: il moto del fluido è causato dal processo di trasmissione del calore

In una parete piana che separa due ambienti nei quali sono presenti due fluidi (ad esempio aria - aria, aria - acqua, acqua - acqua) la trasmissione del calore deve tenere conto non solo della conduzione, ma anche della convezione.

Figure 72: *Convezione*



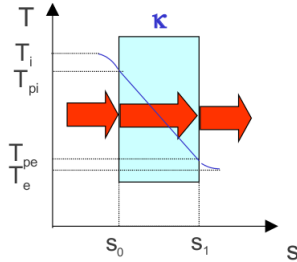
### 21.1 Trasmittanza

In una parete edilizia è necessario eseguire una analisi completa della trasmissione del calore e quindi tenere conto che il calore si trasmette:

- per CONVEZIONE tra l'aria interna del locale e la superficie interna della parete
- per CONDUZIONE attraverso la parete costituita da uno o più strati
- per CONVEZIONE tra la faccia esterna della parete e l'aria esterna

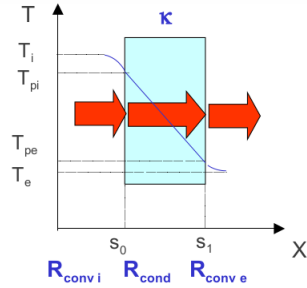
In una parete costituita da un solo strato le resistenze termiche non sono una, ma tre (2 per la convezione e 1 per la conduzione).

Figure 73: Trasmittanza (1)



- $T_i$  = temperatura interna
- $T_{pi}$  = temperatura parete interna
- $T_{pe}$  = temperatura parete esterna
- $T_e$  = temperatura esterna

Figure 74: Trasmittanza (2)



$$R_{tot} = R_{conv\ i} + R_{cond} + R_{conv\ e}$$

$$R_{tot} = \frac{1}{h_i} + \frac{s}{k} + \frac{1}{h_e}$$

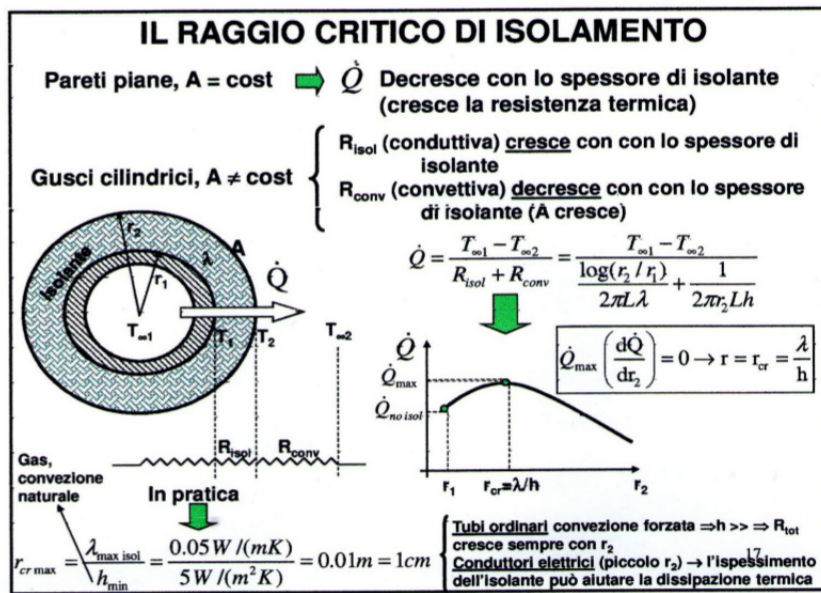
$$\dot{Q}_{tot} = \frac{1}{R_{tot}} A (T_i - T_e)$$

$\frac{1}{R_{tot}}$  è la  
trasmittanza  
della parete

Le resistenze  $R_{conv\ i}$  e  $R_{conv\ e}$  si calcolano, noti i coefficienti  $h_i$  e  $h_e$  dal loro reciproco. L'analisi del fenomeno convettivo si riduce alla definizione di  $h_i$  e  $h_e$ .

## 21.2 Raggio critico di isolamento

Figure 75: *Raggio critico di isolamento*



## 21.3 Esempio di convezione

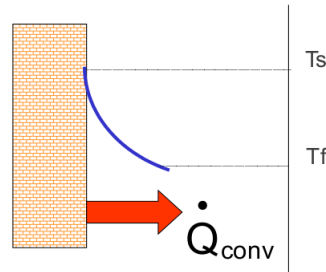
Consideriamo la parete di un corpo solido lambita da un fluido in moto. Se tra la temperatura della superficie del corpo  $T_s$  e quella del fluido  $T_f$  vi è una differenza tra parete e fluido si instaura un flusso di potenza termica secondo la già citata legge:

$$\dot{q} = h (T_s - T_f)$$

dove  $h$  è un coefficiente di proporzionalità che prende il nome di coefficiente convettivo o conduttanza convettiva e dipende da:

- proprietà fisiche del liquido
- dinamica del flusso
- geometria della superficie della parete

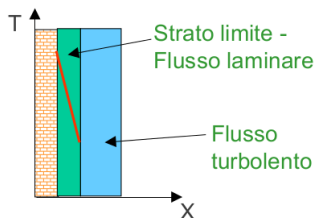
Figure 76: Convezione esempio



#### 21.4 Convezione: note

La trasmissione del calore per convezione viene trattata diversamente secondo che questa sia forzata o naturale. Il flusso del fluido può essere laminare o turbolento. Nel primo caso, non essendovi rimescolamento, lo scambio di calore avviene per conduzione. Nel secondo caso si verifica, in prossimità della parete, una situazione come quella schematizzata:

Figure 77: Convezione bis



In prossimità della parete si incontra uno strato in moto laminare (strato limite) attraverso il quale il calore passa per conduzione. Allontanandosi dalla parete si incontra il moto turbolento, forte rimescolamento del fluido ed elevato trasporto di calore. La maggiore resistenza al passaggio di calore è offerta dallo strato limite.

#### 21.5 Il coefficiente convettivo $h$

Il coefficiente di proporzionalità  $h$  dipende:

- dalle caratteristiche del fluido: densità ( $\rho$ ), viscosità ( $\mu$ ), calore specifico a pressione costante ( $c_p$ ), conduttività ( $k$ )
- dalle condizioni di moto del fluido ( $v$ )

- dalla geometria della parete: diametro equivalente ( $D$ )

$$h_f = h(\rho, \mu, k, c_p, v, D)$$

N.B.  $h$  non è  
una proprietà  
della materia

## 21.6 Legge di Newton

La soluzione del problema si riduce alla valutazione del coefficiente convettivo  $h$ :

$$\dot{q} = h(T_s - T_f)$$

## 21.7 Convezione forzata

$$h = h(D, \rho, w, m, c_p, k)$$

Si hanno:

- $n = 7$  grandezze fisiche ( $h, D, \rho, w, \mu, c_p, k$ )
- $m = 4$  grandezze fondamentali ( $L, M, t, T$ )

Si dovrà avere un legame tra  $k = n - m = 3$  gruppi adimensionali.

### 21.7.1 Gruppi adimensionali per convezione forzata: Numero di Nusselt

$$Nu = \frac{hD}{k}$$

Può essere interpretato come rapporto tra la potenza termica scambiata con moti macroscopici (convezione) e la potenza termica scambiata per conduzione nello strato limite:

$$Nu = \frac{h\Delta T}{\frac{k}{D}\Delta T}$$

Si può ottenere dividendo il flusso di calore per convezione ( $h\Delta T$ ) per il flusso di calore per conduzione ( $\frac{k}{D}\Delta T$ ); esso confronta i due sistemi di trasporto del calore.

$$N_{Nu} = cost \cdot N_{Re}^3 \cdot N_{Pr}^b$$

### 21.7.2 Gruppi adimensionali per convezione forzata: Numero di Reynolds

$$Re = \frac{\rho D w}{\mu}$$

Può essere interpretato come rapporto tra la risultante delle forze di inerzia e la risultante delle forze viscose.

Indica se il moto è in regime laminare o turbolento.

$$Re = \frac{\rho w \frac{dw}{dx}}{\mu \frac{d^2 w}{dx^2}} = \frac{f_{inerzia}}{f_{viscosa}}$$

### 21.7.3 Gruppi adimensionali per convezione forzata: Numero di Prandtl

$$Pr = \frac{c_p \mu}{k}$$

Può essere interpretato come rapporto tra la viscosità cinematica  $\nu$  (da cui dipende la diffusione della quantità di moto) e la diffusività termica del fluido  $a$  (da cui dipende la diffusione molecolare della potenza termica).

$$Pr = \frac{\rho c_p}{k} \frac{\mu}{\rho}$$

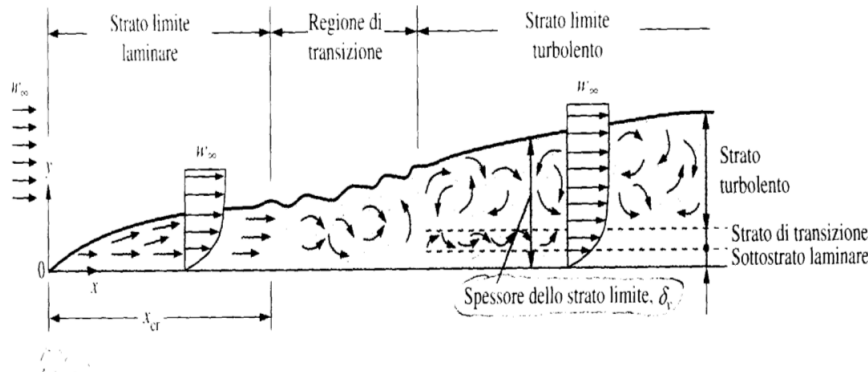
si ottiene dividendo  $\frac{\mu}{\rho}$  per  $\frac{k}{\rho c_p}$ , ossia il coefficiente di diffusione della quantità di moto per il coefficiente di diffusione del calore; esso confronta le due diffusività molecolari.

Table 7: Valori di  $Pr$

mezzo di trasmissione	valore
gas ideali	0.7
acqua	2 – 10
metalli liquidi	0.005 – 0.03

## 21.8 Flusso su lastra piana

Figure 78: *Flusso su lastra piana*



## 21.9 Flusso all'interno di tubi

- In ogni sezione \$w\$ varia da una valore pari a zero sulla parete a un valore massimo sull'asse del tubo
- In ogni sezione \$T\$ varia da una valore pari a quello che si rileva sulla parete a un valore maggiore o inferiore (a seconda che il processo sia di raffreddamento o di riscaldamento) sull'asse del tubo.

\$T\$ e \$w\$ si assumono comunque costanti per ogni sezione e pari al loro valor medio. Ovviamente questi valori medi possono variare lungo l'asse del tubo.

- La velocità media si determina col principio di conservazione della massa

$$\dot{m} = \rho \cdot w_m \cdot A_t$$

$$A_t = \pi \frac{D^2}{4}$$

- La temperatura media si determina col principio di conservazione dell'energia

$$\dot{E} = \dot{m} c_p T_m = \int_{\dot{m}} c_p T \partial \dot{m} = \int_{A_t} c_p T (\rho w dA_t)$$

Le condizioni termiche sulla superficie di un tubo possono essere approssimate con buona precisione ritenendo costante la temperatura superficiale:

$$T = \text{cost}$$

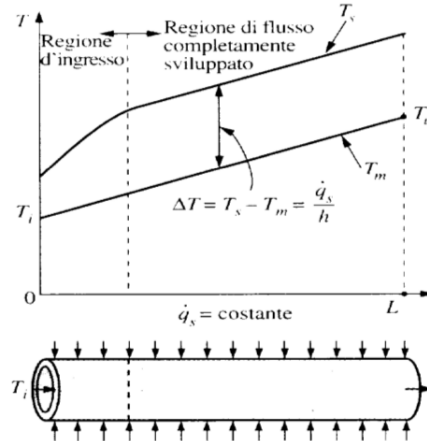
Oppure il flusso termico superficiale:

$$\dot{q} = \text{cost}$$

Non possono essere contemporaneamente presenti ambedue le condizioni:

$$\dot{q} = h(T_s - T_m)$$

Figure 79: *Flusso termico superficiale costante*



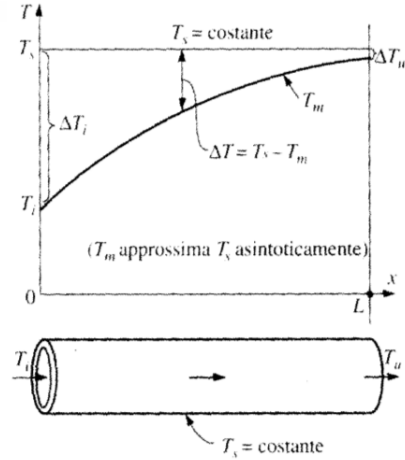
**FIGURA 12.28**  
Variazione della temperatura della *superficie del tubo* e di quella *media del fluido* lungo un tubo nel caso di flusso termico superficiale costante.

$$\dot{Q} = \dot{q}_s A = \dot{m} c_p (T_u - T_i)$$

$$T_u = T_i + \frac{\dot{q}_s A}{\dot{m} c_p}$$

$$\dot{q} = h(T_s - T_m)$$

Figure 80: *Temperatura superficiale costante*



**FIGURA 12.30**  
Variazione della temperatura *media del fluido* lungo un tubo nel caso di temperatura superficiale costante.

$$T_s = \text{cost}$$

$$\dot{Q} = hA\Delta T_{\text{media}} = hA(T_s - T_m)_{\text{media}}$$

$$\dot{m}c_p dT_m = h(T_s - T_m) dA$$

$$\begin{cases} dA = pdx \\ dT_m = -d(T_s - T_m) \end{cases}$$

$$\frac{d(T_s - T_m)}{T_s - T_m} = -\frac{hp}{\dot{m}c_p} dx$$

Integrando da  $x = 0$  ( $T_m = T_i$ ) a  $x = L$  ( $T_m = T_u$ ) si ottiene:

$$\ln \frac{T_s - T_u}{T_s - T_i} = -\frac{hA}{\dot{m}c_p}$$

$$\dot{m}c_p = -\frac{hA}{\ln \frac{T_s-T_u}{T_s-T_i}}$$

$$\dot{Q} = \dot{m}c_p (T_u - T_i)$$

$$\dot{Q} = hA\Delta T_{\ln}$$

$$\Delta T_{\ln} = -\frac{T_u - T_i}{\ln \frac{T_s-T_u}{T_s-T_i}} = \frac{\Delta T_u - \Delta T_i}{\ln \left( \frac{\Delta T_u}{\Delta T_i} \right)}$$

## 21.10 Deduzione dei gruppi dimensionali

Dall'analisi dimensionale si deducono i gruppi adimensionali che consentono di descrivere compiutamente un fenomeno. Nel caso della convezione forzata e naturale si avranno pertanto:

- Convezione forzata

$$Nu = Nu(Re, Pr)$$

- Convezione naturale

$$Nu = Nu(Gr, Pr)$$

La forma assunta da queste relazioni è ben approssimata da una forma **monomia**.

## 21.11 Forme monomie

- Convezione forzata

$$Nu = A \cdot Re^\alpha Pr^\beta$$

- Convezione naturale

$$Nu = B \cdot Gr^\gamma Pr^\delta$$

I coefficienti  $A, B, \alpha, \beta, \gamma$  e  $\delta$  devono essere determinati attraverso l'interpolazione di risultati di prove sperimentali.

I numeri adimensionali dipendono da parametri termofisici che normalmente a loro volta dipendono dalla temperatura (e talvolta anche dalla pressione) alla quale avviene il fenomeno di convezione. Diventa quindi importante stabilire a quale temperatura devono essere valutati i suddetti parametri.

## 21.12 Proprietà termofisiche

Le proprietà termofisiche si possono valutare in condizioni differenti:

- alla temperatura di parete  $T_p$
- alla temperatura asintotica  $T_\infty$
- alla temperatura di film  $T_{film}$
- alla temperatura di miscelamento adiabatico  $T_m$

### 21.12.1 Convezione in un corpo immerso

- Temperatura asintotica

$$J = h(T_p - T_f)$$

$$T_f = T_\infty$$

- Temperatura di film

$$T_{film} = \frac{T_p + T_\infty}{2}$$

### 21.12.2 Convezione forzata in un condotto

- Temperatura di miscelamento adiabatico

$$\dot{q} = h(T_p - T_f)$$

$$T_f = \frac{\int_A \rho w c_p T dA}{\int_A \rho w c_p dA}$$

## 21.13 Convezione naturale

$$h = h(D, \rho, g\beta DT, m, C_p, k)$$

Si hanno:

- $n = 7$  grandezze fisiche ( $h, D, \rho, g\beta\Delta T, \mu, c_p, k$ )
- $m = 4$  grandezze fondamentali ( $L, M, t, T$ )

Si dovrà avere un legame tra  $k = n - m = 3$  gruppi adimensionali.

### 21.13.1 Gruppi adimensionali per convezione naturale: Numero di Nusselt

$$Nu = \frac{hD}{k}$$

### 21.13.2 Gruppi adimensionali per convezione naturale: Numero di Grashoff

$$Gr = \frac{\rho^2 g \beta \Delta T D^3}{\mu^2}$$

Può essere interpretato come rapporto tra il prodotto delle forze di galleggiamento ed il quadrato della risultante delle forze viscose:

$$Gr = \frac{(\rho g \beta \Delta T) (\rho w \frac{dw}{dx})}{(\mu \frac{d^2 w}{dx^2})^2} = \frac{f_{galleggiamento} f_{inerzia}}{(f_{viscose})^2}$$

<b>Moto lungo una superficie verticale (<math>lung = L</math>)</b>	
$Gr_L < 10^9$	moto laminare
$Gr_L > 10^9$	moto turbolento

### 21.13.3 Gruppi adimensionali per convezione naturale: Numero di Prandtl

$$Pr = \frac{c_p \mu}{k}$$

## 21.14 Altri gruppi adimensionali

### 21.14.1 Convezione forzata: Peclet

$$Pe = Re \cdot Pr = \frac{wD}{a}$$

### 21.14.2 Convezione naturale: Rayleigh

$$Ra = Gr \cdot Pr = \frac{g \beta \Delta T D^3}{av}$$

## 21.15 Considerazioni sul coefficiente $h$ per la convezione naturale

Il coefficiente  $h$  dipende:

- dalle caratteristiche del fluido: come nel caso della convezione forzata, ma in più: il coefficiente di dilatazione isobara  $\alpha$  da cui dipende il cambiamento di densità
- dalle condizioni di moto del fluido: queste, non essendo più il moto imposto, dipendono ancora da  $\alpha$ , dalla densità media  $\rho$ , dalla differenza di temperatura tra parete e fluido e dall'accelerazione di gravità, ossia da  $\rho g \alpha (T_p - T_f)$
- dalla geometria della parete: come nel caso precedente ma con la necessità di conoscere la posizione della parete rispetto al campo gravitazionale

### 21.15.1 Analisi dimensionale

$$\frac{hD}{k} = \text{cost} \cdot \left( \frac{D^3 \rho (\rho g \alpha (T_p - T_f))}{\mu^2} \right)^c \cdot \left( \frac{c_p \mu}{k} \right)^d$$

$N_{Gr}$  è un indice del contributo dei moti convettivi allo scambio termico.  $D$  è una dimensione lineare caratteristica del corpo. Anche in questo caso la relazione generale può essere semplificata:

$$N_{Nu} = \text{cost} \cdot N_{Gr}^c \cdot N_{Pr}^d$$

---

#### Parete piana verticale

---

$$N_{uL} = 0,59 Ra^{0.25} \quad \text{moto laminare } Ra < 10^9$$

$$N_{uL} = 0,10 Ra^{0.33} \quad \text{moto turbolento } Ra > 10^9$$


---

---

#### Cilindro indefinito orizzontale

---

$$N_{uD} = \left\{ 0,60 + \frac{0,387 Ra^{\frac{1}{6}}}{\left[ 1 + \left( \frac{0,559}{Pr} \right)^{\frac{9}{16}} \right]^{\frac{8}{27}}} \right\}^2$$


---

Relazione di Churchill-Chu:  $10^{-5} < Ra < 10^{12}$ . Le proprietà termofisiche sono valutate alla temperatura di film.

## 22 Irraggiamento

**Definizione** L'irraggiamento è il trasferimento di energia che avviene mediante onde elettromagnetiche (o fotoni) prodotte da variazioni nelle configurazioni elettroniche degli atomi e delle molecole.

### 22.1 Notazioni varie

- Nel 1887 H. Hertz dimostrò sperimentalmente l'esistenza delle onde elettromagnetiche.
- La radiazione si propaga nel vuoto o in un mezzo di trasmissione trasparente alla radiazione alla velocità della luce.
- Le onde elettromagnetiche sono caratterizzate da:
  - Frequenza  $u$ 
    - \* Numero di oscillazioni al secondo
    - \* Dipende solo dalla sorgente
  - Lunghezza d'onda  $l = \frac{c}{u}$ 
    - \*  $c$  è la velocità della luce nel mezzo di trasmissione
    - \*  $l$  dipende dalla sorgente e dal mezzo di propagazione

Figure 81: Fenomeno volumetrico (es. gas, vetro, mezzi trasparenti)

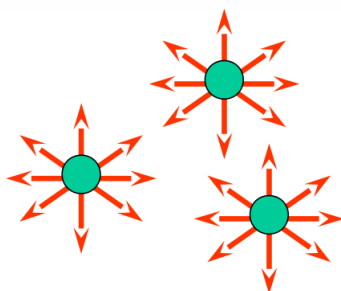


Figure 82: *Fenomeno superficiale (es. solidi, mezzi non trasparenti)*



È possibile una doppia interpretazione:

- Radiazione come propagazione di onde elettromagnetiche
- Radiazione come propagazione di quanti di energia (fotoni)

## 22.2 Radiazione termica e trasmissione del calore

- Nello studio della trasmissione del calore, poiché interessa solo l'energia emessa dai corpi a causa della loro temperatura, si considera esclusivamente la componente di radiazione responsabile di questo fenomeno
- La parte di radiazione responsabile delle variazioni di temperatura prende il nome di "radiazione termica". La sua componente spettrale è compresa tra  $0,1\mu m < \lambda < 100\mu m$
- La radiazione termica è dovuta ai moti vibratori e rotatori delle molecole, atomi ed elettroni che compongono le diverse sostanze
- Per la sua natura fisica la radiazione termica è caratterizzabile per una distribuzione spettrale ed una distribuzione direzionale
- Poiché la temperatura è una misura dell'intensità di questi processi, all'aumentare della temperatura, aumenta l'emissione di radiazione termica
- La radiazione termica è emessa continuamente da tutta la materia che si trova a temperatura superiore allo zero assoluto

### Le componenti della radiazione termica

**Radiazione visibile** Si tratta della componente visibile dello spettro elettromagnetico ed è compresa tra:

$$0,40\mu m < \lambda < 0,76\mu m$$

**Radiazione infrarossa** Si tratta della componente di radiazione termica dei corpi a bassa temperatura e ricopre lo spettro compreso tra:

$$0,76\mu m < \lambda < 100\mu m$$

**Radiazione ultravioletta** Si tratta della componente di radiazione a bassa lunghezza d'onda della radiazione termica ed è compresa tra:

$$0,01\mu m < \lambda < 0,40\mu m$$

### 22.3 Radiazione visibile

La radiazione visibile è completamente inglobata dalla radiazione termica.

- Spettro compreso tra  $0,1\mu m < \lambda < 0,76\mu m$

La radiazione visibile viene emessa dai corpi ad alta temperatura e viene in parte assorbita ed in parte riflessa dalla superficie sulla quale incide. A seconda della componente spettrale che viene riflessa l'occhio umano percepisce i colori:

- Violetto: componente spettrale riflessa compresa tra  $0,40 - 0,44\mu m$
- Blu: componente spettrale riflessa compresa tra  $0,44 - 0,49\mu m$
- Verde: componente spettrale riflessa compresa tra  $0,49 - 0,54\mu m$
- Giallo: componente spettrale riflessa compresa tra  $0,54 - 0,60\mu m$
- Arancio: componente spettrale riflessa compresa tra  $0,60 - 0,63\mu m$
- Rosso: componente spettrale riflessa compresa tra  $0,63 - 0,76\mu m$
- Nero: luce incidente completamente assorbita
- Bianco: luce incidente completamente riflessa

### 22.4 Radiazione infrarossa

La radiazione infrarossa è completamente inglobata dalla radiazione termica.

- Spettro compreso tra  $0,76\mu m < \lambda < 100\mu m$
- La radiazione infrarossa è la radiazione emessa dai corpi che si trovano a bassa temperatura. Solo a temperature superiori agli  $800K$  i corpi iniziano ad emettere radiazione visibile apprezzabile. Nella lampadina ad incandescenza, il filamento di tungsteno, per diventare luminoso, deve essere riscaldato a  $2000K$ .
- L'occhio umano non è in grado di percepirla ma quello di altre specie animali è in grado di farlo (ad es. alcuni serpenti).

## 22.5 Radiazione ultravioletta

La radiazione ultravioletta è parzialmente inglobata dalla radiazione termica.

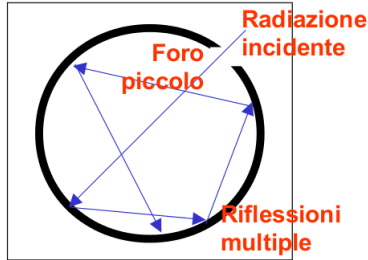
- Spettro compreso tra  $0,01\mu m < \lambda < 0,40\mu m$
- I raggi ultravioletti sono da evitare perché dannosi agli organismi viventi.
- Circa il 12% della radiazione solare al di fuori dell'atmosfera è nel campo ultravioletto.
- Lo strato di ozono  $O_3$  dell'atmosfera fa da scudo protettivo assorbendo la maggior parte della radiazione ultravioletta extratmosferica.
- La relativa recente scoperta di "buchi" nello strato di ozono hanno costretto la comunità internazionale a bandire l'uso di sostanze chimiche che distruggono l'ozono (CFC, refrigerante freon 12, ecc.).
- L'occhio umano non è in grado di percepirla. Quello di altre specie animali è in grado di farlo (es. Api)

### 22.5.1 Corpo nero

**Definizione: Corpo nero** Il corpo nero è un perfetto emettitore di radiazioni poiché emette la massima radiazione ad ogni temperatura e lunghezza d'onda e assorbe tutta la radiazione incidente indipendentemente da direzione e lunghezza d'onda.

**Approssimazione reale del corpo nero** Poiché la radiazione termica occupa una banda molto ristretta dello spettro, non si può giudicare se una superficie approssima il comportamento del corpo nero sulla base della sola osservazione visiva. Un corpo che approssima il comportamento del corpo nero è una cavità con una piccola apertura. L'energia che giunge sull'apertura entra nella cavità. Se le pareti di questa non sono nere, un raggio incidente verrà in parte assorbito e in parte riflesso. Attraverso riflessioni multiple, la frazione riflessa si attenuerà, così da permettere che tutta l'energia venga assorbita, salvo una quantità inapprezzabile.

Figure 83: *Corpo nero*



### Potenza radiante del corpo nero

La potenza radiante totale emessa da un corpo nero per unità di area superficiale è detta anche potere emissivo del corpo nero ed è espressa dalla relazione di Stefan- Boltzmann:

$$E_n = \sigma T^4 \left[ \frac{W}{m^2} \right]$$

dove:

- $\sigma = 5,67 \cdot 10^{-8} \left[ \frac{W}{m^2 K^4} \right]$  è la costante di Stefan-Boltzmann
  - Il potere emissivo del corpo nero è proporzionale alla quarta potenza della temperatura assoluta

### Potere emissivo monocromatico o spettrale del corpo nero

Il potere emissivo monocromatico o spettrale del corpo nero fornisce la potenza emessa, in funzione della temperatura e della lunghezza d'onda e si definisce come:

- Potenza radiante emessa dal corpo nero alla temperatura assoluta  $T$ , per unità di area superficiale e per unità di lunghezza d'onda, nell'intorno della lunghezza d'onda  $\lambda$ .

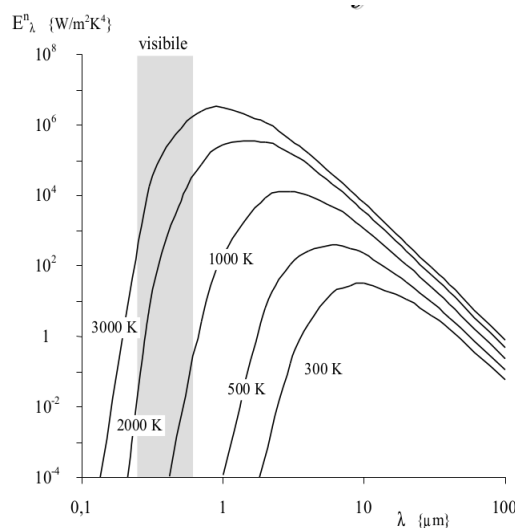
Per effettuare un calcolo quantitativo è necessario ricorrere ad una relazione note come “legge della distribuzione di Planck”.

## Variazione del potere emissivo di un corpo nero

### Variazione in funzione della temperatura

- La radiazione emessa è funzione continua della lunghezza d'onda
- La radiazione emessa dal sole, considerato un corpo nero, raggiunge il suo picco nella zona visibile
- Superfici a  $T < 800K$  emettono invece qualsiasi radiazione interamente nella regione infrarossa e pertanto non sono visibili all'occhio umano

Figure 84: *Potere emissivo*



## 22.6 Legge della distribuzione di Planck

$$E_{n\lambda} = \frac{C_1}{\lambda^5 \left[ \exp \left( \frac{C_2}{\lambda T} \right) - 1 \right]} \quad \left[ \frac{W}{m^2 \cdot \mu m} \right]$$

dove:

- $C_1 = 3,742 \left[ \frac{W \cdot \mu m^4}{m^2} \right]$
- $C_2 = 1,439 \cdot 10^4 [\mu m \cdot K]$
- $T$  = temperatura assoluta [K]
- $\lambda$  = lunghezza d'onda della radiazione emessa

L'integrale della potenza radiante emessa per una lunghezza d'onda da zero ad infinito definisce il potere emissivo del corpo nero alla temperatura  $T$ :

$$\int_{\lambda=0}^{\infty} E_{n\lambda}(T) = E_n = \sigma T^4$$

## 22.7 Legge dello spostamento o di Wien

Osservando il grafico in Figura 84, si può notare che i picchi corrispondenti al massimo valore di  $E$  giacciono in un particolare intorno di lunghezze d'onda.

La legge che regola i picchi di potere emissivo di un corpo nero è la legge di Wien (detta anche legge dello spostamento) ed afferma che:

$$(\lambda T)_{max\ potenza} = 2897,8 \ [\mu m \cdot K]$$

## 22.8 Emissività

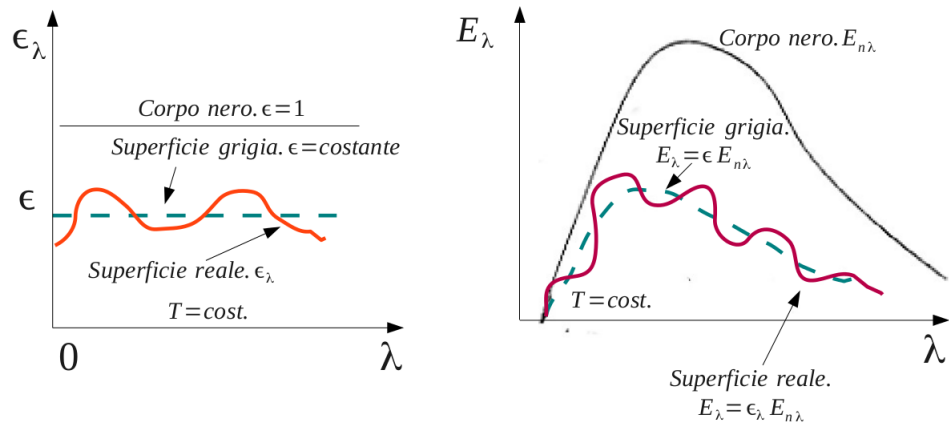
L'emissività di una superficie è il rapporto tra la radiazione emessa dalla superficie stessa e la radiazione del corpo nero alla medesima temperatura

$$\epsilon(T) = \frac{E(T)}{E_n(T)} = \frac{E(T)}{\sigma \cdot T^4}$$

dalla quale ovviamente segue che  $E(T) = \epsilon(T) \cdot \sigma T^4 \left[ \frac{W}{m^2} \right]$ .

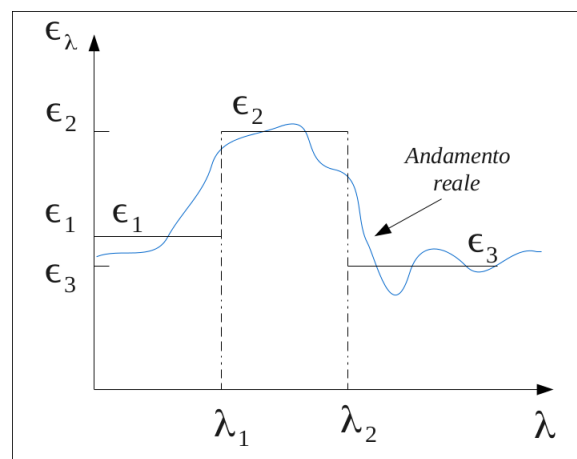
### 22.8.1 Grafici emissività

Figure 85: Emissività



Approssimazione con una funzione a gradino della variazione dell'emissività con la lunghezza d'onda:

Figure 86: Emissività<sub>2</sub>



### 22.8.2 Superfici emissive particolari

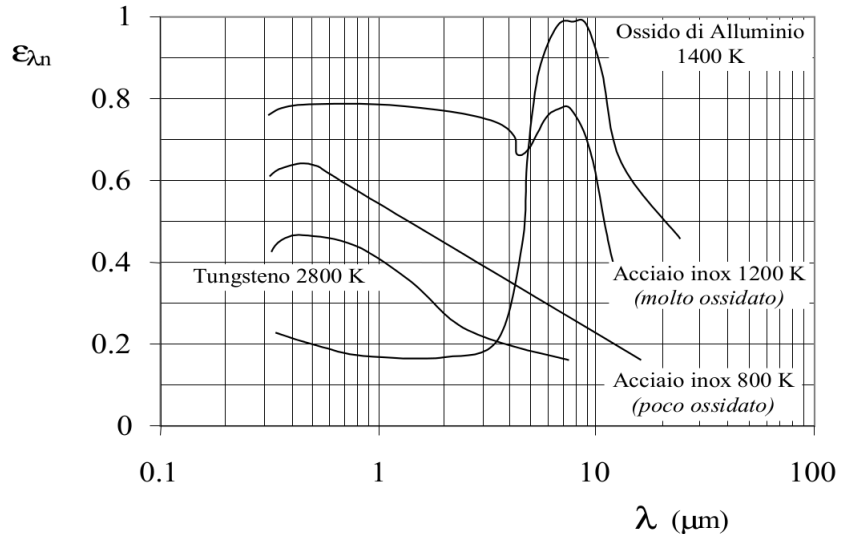
- *Superficie diffondente:* Le sue proprietà risultano indipendenti dalla direzione
- *Superficie grigia:* Le sue proprietà risultano indipendenti dalla lunghezza d'onda

### 22.8.3 Emissività di superfici reali

Figure 87: *Emissività superfici reali*

<i>Metallo lappato</i>	0.01	-	0.02
<i>Metallo lucidato</i>	0.05	-	0.13
<i>Metallo</i>	0.1	-	0.4
<i>Metallo ossidato</i>	0.22	-	0.7
<i>Ceramica</i>	0.4	-	0.8
<i>Grafite</i>	0.75	-	0.95
<i>Vetro</i>	0.8	-	0.95
<i>Acqua, pelle</i>	0.9	-	0.97
<i>Vernice speciale</i>	0.92	-	0.99

Figure 88: Emissività superfici reali<sub>2</sub>

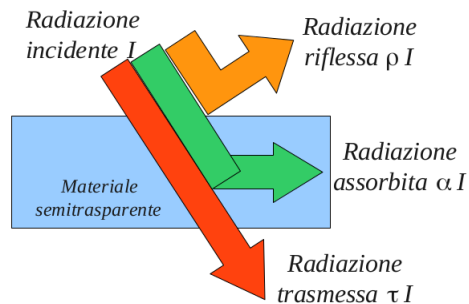


## 22.9 Coefficienti

Tutti i corpi emettono continuamente radiazione in relazione alla loro emissività.

Quando la radiazione colpisce una superficie, parte di essa è **assorbita**, parte è **riflessa** e la restante parte, se presente, viene **trasmessa**.

Figure 89: Coefficienti



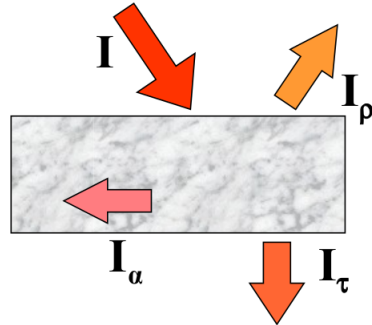
- Coefficiente di assorbimento  $\alpha = \frac{I_{assorbita}}{I_{incidente}} = \frac{I_{ass}}{I}$
- Coefficiente di riflessione  $\rho = \frac{I_{riflessa}}{I_{incidente}} = \frac{I_{rifl}}{I}$
- Coefficiente di trasmissione  $\tau = \frac{I_{trasmessa}}{I_{incidente}} = \frac{I_{ass}}{I}$

Sussistono inoltre le seguenti relazioni:

- $\alpha + \rho + \tau = 1$  per superfici trasparenti
- $\alpha + \rho = 1$  per superfici opache

### 22.9.1 Analisi di una superficie esposta

Figure 90: *Superficie esposta*



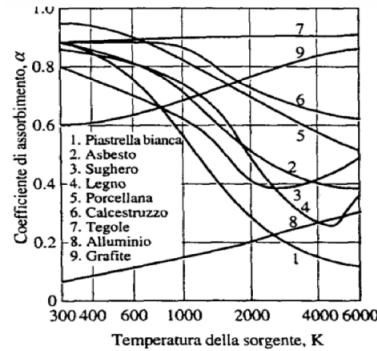
$$\begin{cases} I = I\rho + I\tau + I\alpha \\ 1 = \frac{I\rho}{I} + \frac{I\tau}{I} + \frac{I\alpha}{I} \\ 1 = \rho + \tau + \alpha \end{cases}$$

- corpo opaco:  $\tau = 0$
- corpo trasparente:  $\tau = 1$
- superficie speculare:  $\rho = 1$

### 22.9.2 Coefficiente di assorbimento

Contrariamente all'emissività, il coefficiente di assorbimento di un materiale risulta praticamente indipendente dalla temperatura della superficie, ma dipendente dalla temperatura della sorgente.

Figure 91: *Coefficiente di assorbimento*



**Legge di Kirchoff** Coefficiente di assorbimento ed emissività tendono a uguagliarsi quando la differenza di temperatura fra emettitore e ricevente tende ad annullarsi

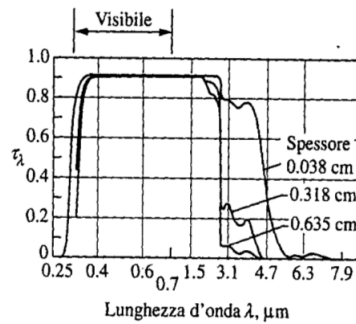
$$\alpha = \epsilon$$

da ritenersi valida quando la differenza di temperatura non supera i  $100K$ .

### 22.9.3 Coefficiente di trasmissione ad effetto serra

All'interno di una serra, in presenza di una radiazione solare diretta, in inverno si raggiungono delle temperature superiori rispetto a quelle dell'ambiente esterno. La serra si comporta come una trappola di calore.

Figure 92: *Effetto serra*



La spiegazione di questo fenomeno, meglio noto come "effetto serra", sta nell'andamento della curva del coefficiente di trasmissione del vetro. Il vetro

trasmette il 90% di radiazione nel campo del visibile e risulta praticamente opaco alla radiazione nella regione infrarossa dello spettro elettromagnetico. L'effetto serra si verifica pure su scala più vasta sulla terra.

#### 22.9.4 Radiazione solare atmosferica

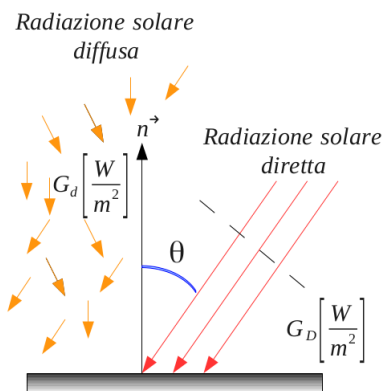
Il sole è la sorgente primaria di energia. L'energia proveniente dal sole, detta energia solare, raggiunge il suolo sotto forma di onde elettromagnetiche dopo aver attraversato l'atmosfera che funge da filtro.

- **T superficie solare:**  $6000K$  (considerando il sole un corpo nero)
- **Costante solare:** Rappresenta la potenza della radiazione solare che incide su di una superficie normale ai raggi solari all'esterno dell'atmosfera quando la terra è alla sua distanza media dal sole  $I_s$ :  $1353 \frac{W}{m^2}$

#### Nota Bene

- La radiazione solare disponibile al suolo in una giornata serena si riduce a meno di  $1000 \frac{W}{m^2}$
- L'energia solare che raggiunge la terra (superficie terrestre) ha lunghezza d'onda quasi tutta compresa tra  $0,3$  e  $2,5\mu m$

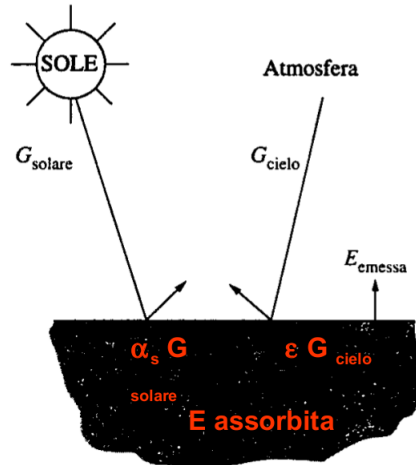
Figure 93: *Radiazione solare atmosferica*



Passando attraverso l'atmosfera, la radiazione solare si attenua, si **diffonde** ed è parzialmente **riflessa**.

Sia la radiazione diretta che quella diffusa quando incidono sulla superficie di un corpo vengono in parte riflesse, in parte assorbite e in parte trasmesse.

Figure 94: Radiazione solare atmosferica<sub>2</sub>



$$\dot{q}_{netta,irr} = \alpha_s \cdot G_{solare} + \alpha_s \cdot G_{cielo} - \epsilon \cdot \sigma \cdot T_s^4$$

$$\dot{q}_{netta,irr} = \alpha_s \cdot G_{solare} + \epsilon \cdot \sigma \cdot (T_{cielo}^4 - T_s^4)$$

Confronto tra il coefficiente di assorbimento solare  $\alpha_s$  e l'emissività  $\epsilon$  a temperatura ambiente:

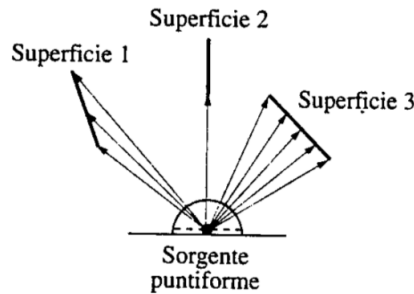
Figure 95: Confronto tra  $\alpha_s$  e  $\epsilon$

	$\alpha_s$	$\epsilon$
Alluminio lucido	0,09	0,03
Alluminio anodizzato	0,14	0,84
Alluminio in foglio	0,15	0,05
Rame lucido	0,18	0,03
Rame anodizzato	0,65	0,75
Acciaio inox lucido	0,37	0,60
Acciaio inox opaco	0,50	0,21
Calcestruzzo	0,60	0,88
Marmo bianco	0,46	0,95
Laterizio rosso	0,63	0,93
Asfalto	0,90	0,90
Vernice nera	0,97	0,97
Vernice bianca	0,14	0,93
Neve	0,28	0,97
Pelle umana	0,62	0,97

## 22.10 Il fattore di vista

La trasmissione di calore per irraggiamento tra superfici dipende dall'orientazione relativa delle superfici, dalle loro proprietà radiative, dalle loro temperature.

Figure 96: *Scambio termico per irraggiamento tra superfici, in funzione del fattore di vista che tiene conto dell'orientamento reciproco delle superfici*



Per tenere conto dell'orientamento si definisce un nuovo parametro detto fattore di vista (o di forma, o di configurazione o di angolo). Il fattore di vista tra una superficie  $i$  e una superficie  $j$  si indica  $F_{i \rightarrow j}$  e si definisce “Frazione della radiazione emessa dalla superficie  $i$  che incide direttamente sulla superficie  $j$ ”.

- $F_{i \rightarrow j} = 0$  le superfici  $i$  e  $j$  non sono in vista tra loro
- $F_{i \rightarrow j} = 1$  la superficie  $j$  circonda completamente la  $i$ , per cui tutta la radiazione emessa da  $i$  è intercettata da  $j$

### 22.10.1 Regole del fattore di vista

- *Regola di reciprocità:* i fattori di vista  $F_{i \rightarrow j}$  e  $F_{j \rightarrow i}$  sono uguali solo se le aree delle superfici cui si riferiscono sono uguali
  - $F_{i \rightarrow j} = F_{j \rightarrow i}$  quando  $A_i = A_j$
  - $F_{i \rightarrow j} \neq F_{j \rightarrow i}$  quando  $A_i \neq A_j$
  - $A_i F_{i \rightarrow j} = A_j F_{j \rightarrow i}$
- *Regola della somma:* per il principio di conservazione dell'energia, poiché tutta la radiazione emessa dalla superficie  $i$  di una cavità deve essere intercettata dalle superfici della cavità stessa, si ha che la somma dei fattori di vista della superficie  $i$  di una cavità verso tutte le superfici della cavità è uguale a 1:

$$\sum_{j=1}^n F_{i \rightarrow j} = 1$$

## 22.11 Scambio termico tra superfici

- Ipotesi adottate

- radiatori diffusi
- radiazione incidente diffusa
- corpi neri o grigi

- Convenzioni addottate

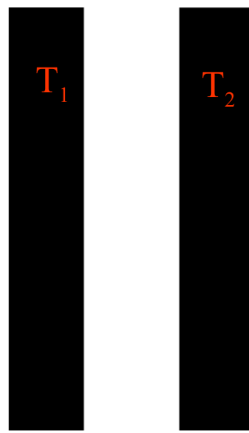
- $q_{1 \rightarrow 2}$  potenza termica per unità di superficie emessa dalla superficie 1 che incide sulla superficie 2
- $q_{1-2}$  potenza termica per unità di superficie emessa dalla superficie 1 che viene assorbita dalla superficie 2
- $q_{1,2}$  potenza termica netta per unità di superficie scambiata tra la superficie 1 e la superficie 2
  - \*  $q_{1-2} = \alpha \cdot q_{1 \rightarrow 2}$
  - \*  $q_{1,2} = q_{1-2} - q_{2-1} = -q_{2,1}$

## 22.12 Irraggiamento

L'irraggiamento è lo scambio termico tra superfici.

### 22.12.1 Caso A: superfici piane parallele indefinite nere

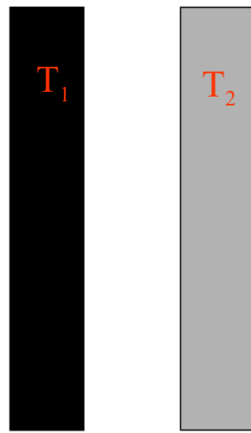
Figure 97: *Caso A*



- $q_{1,2} = \sigma_0 (T_1^4 - T_2^4)$  potenza termica netta per unità di superficie scambiata tra la superficie 1 e la superficie 2

### 22.12.2 Caso B: superfici piane parallele indefinite nera-grigia

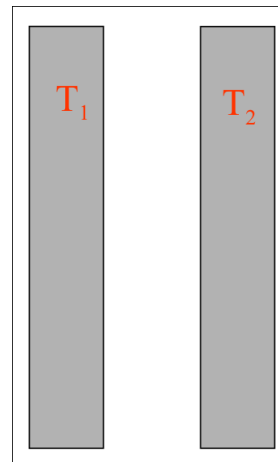
Figure 98: *Caso B*



- $q_{1,2} = \epsilon_2 \sigma_0 (T_1^4 - T_2^4)$  potenza termica netta per unità di superficie scambiata tra la superficie 1 e la superficie 2

### 22.12.3 Caso C: superfici piane parallele indefinite grigia-grigia

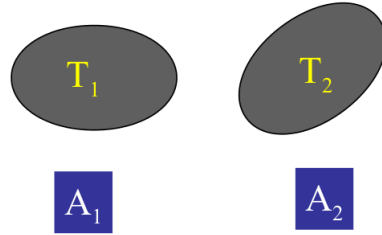
Figure 99: *Caso C*



- $q_{1,2} = \frac{\sigma_0(T_1^4 - T_2^4)}{\frac{1}{\epsilon_1} + \frac{1}{\epsilon_2} - 1}$  potenza termica netta per unità di superficie scambiata tra la superficie 1 e la superficie 2

#### 22.12.4 Caso D: superfici nere

Figure 100: *Caso D*



- $\dot{Q}_{1,2} = A_1 F_{12} \sigma_0 (T_1^4 - T_2^4)$  potenza termica netta scambiata tra la superficie 1 e la superficie 2
- $\dot{Q}_{1,2} = A_1 F_{12} \sigma_0 T_1^4 - A_2 F_{21} \sigma_0 T_2^4$
- $A_1 F_{12} = A_2 F_{21}$  (regola di reciprocità)

#### 22.12.5 Bilancio termico di superficie grigia opaca

$$J_i = E_i + \rho I_i$$

$$J_i = \epsilon_i E_{in} + (1 - \epsilon_i) I_i$$

dove:

- $J_i$  è la radiosità
- $E_i$  è la radiazione emessa
- $I_i$  è la radiazione riflessa

inoltre:

- $\epsilon = \alpha$
- $\alpha + \rho = 1$

### 22.12.6 Potenza termica netta uscente dalla superficie $i$

$$\dot{Q}_i = A_i (J_i - I_i)$$

dove:

- $J_i$  è la radiazione che abbandona  $i$
- $I_i$  è la radiazione incidente su  $i$

### 22.12.7 Bilancio termico di superficie grigia

$$\dot{Q}_i = A_i \left( J_i - \frac{J_i - \epsilon_i E_{in}}{1 - \epsilon_i} \right) = \frac{E_{in} - J_i}{\frac{1 - \epsilon_i}{\epsilon_i A_i}}$$

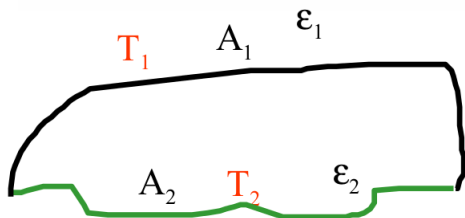
Figure 101: *Bilancio superficie grigia*



- $\frac{1 - \epsilon_i}{\epsilon_i A_i}$  resistenza *superficiale* all'irraggiamento

### 22.12.8 Superfici grigie formanti una cavità

Figure 102: *Superfici grigie formanti una cavità*

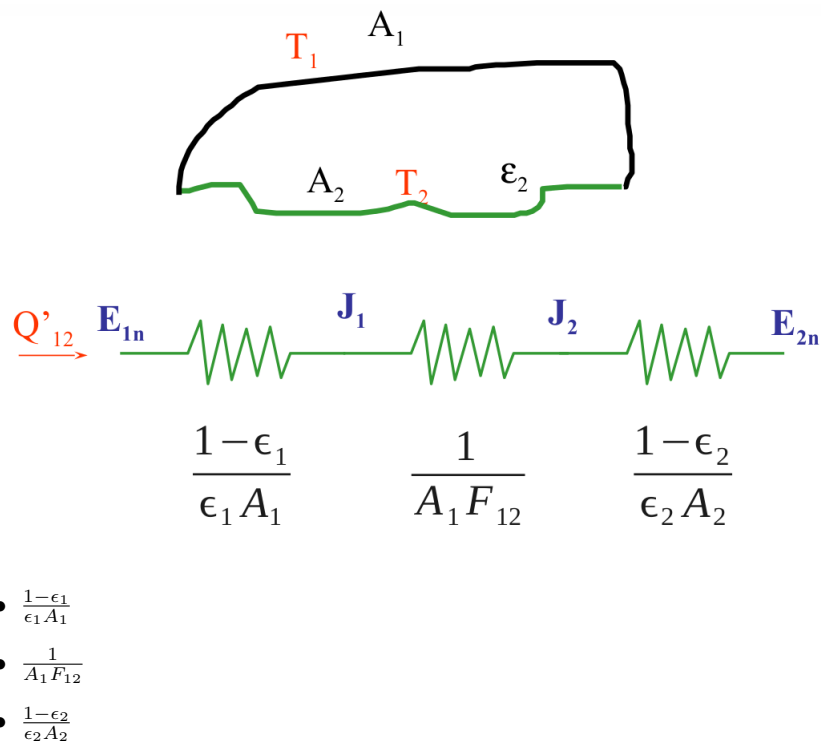


$$\dot{Q}_{1,2} = \frac{\sigma_0 (T_1^4 - T_2^4)}{\frac{1-\epsilon_1}{\epsilon_1 A_1} + \frac{1}{A_1 F_{12}} + \frac{1-\epsilon_2}{\epsilon_2 A_2}}$$

- $\frac{1}{A_i F_{12}}$  resistenza *spaziale* alla radiazione

#### 22.12.9 Analogia elettricità

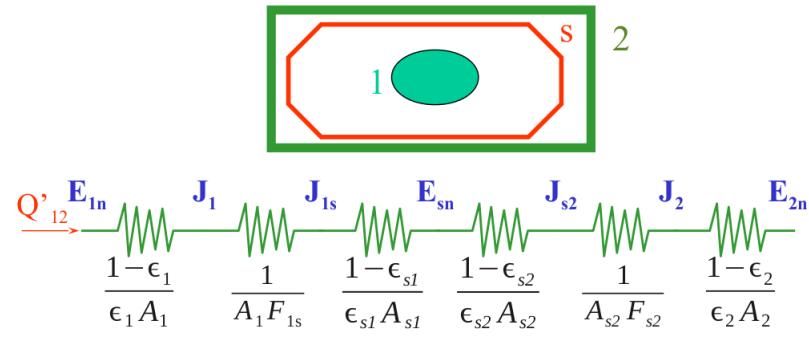
Figure 103: *Elettricità*



- $\frac{1-\epsilon_1}{\epsilon_1 A_1}$
- $\frac{1}{A_1 F_{12}}$
- $\frac{1-\epsilon_2}{\epsilon_2 A_2}$

## Esempio

Figure 104: *Esempio*



$$\dot{Q}_{1,2} = \frac{\sigma_0 (T_1^4 - T_2^4)}{\frac{1-\epsilon_1}{\epsilon_1 A_1} + \frac{1}{A_1 F_{1s}} + \frac{1-\epsilon_{s1}}{\epsilon_{s1} A_{s1}} + \frac{1-\epsilon_{s2}}{\epsilon_{s2} A_{s2}} + \frac{1}{A_{s2} F_{s2}} + \frac{1-\epsilon_2}{\epsilon_2 A_2}}$$